

به نام

## دانای آشکار و نهان



فصلنامه علمی-پژوهشی علوم و مهندسی خورдگی،  
چاپ انجمن خوردگی ایران،  
از کلیه اندیشمندان، صاحبینظران، پژوهشگران و دانشجویان گرامی  
برای ارسال نتایج مطالعات خود دعوت به عمل می‌آورد.



# مجله علمی- پژوهشی

## علوم و مهندسی خوردگی

سال دوم، شماره ۱، بهار ۱۳۹۱، شماره پیاپی ۳، ISSN: ۲۲۵۱-۶۴۱۷



این نشریه با مجوز شماره ۹۰/۱/۱۰۰۴ از وزارت علوم، تحقیقات و فناوری  
با درجه علمی- پژوهشی به چاپ رسید.

صاحب امتیاز: انجمن خوردگی ایران

مدیر مسئول: دکتر جابر نشاطی

سردبیر: دکتر میرقاسم حسینی

هیئت تحریریه (به ترتیب حروف الفبا):

دکتر حبیب اشعثی سرخابی، استاد دانشکده شیمی دانشگاه تبریز

دکتر میرقاسم حسینی، دانشیار دانشکده شیمی دانشگاه تبریز

دکتر ابراهیم حشمت دهکردی، دانشیار پژوهشگاه علوم و فنون هسته‌ای ایران

دکتر چنگیز دهقانیان، استاد دانشکده مواد و متالورژی دانشگاه تهران

دکتر احمد ساعتچی، استاد دانشکده علم و مهندسی مواد دانشگاه صنعتی اصفهان

دکتر روح‌اکسرای کرمانشاهی، استاد دانشکده میکروبیولوژی دانشگاه الزهرا(س)

دکتر جابر نشاطی، استادیار پژوهشگاه صنعت نفت

مشاورین (به ترتیب حروف الفبا):

دکتر علی اصغر سرابی، مهندس سیامک سیف، مهندس علی فضلی نژاد، مهندس محمود کثیریها، مهندس

کاظم کوزه کنانی، مهندس داریوش ماسوری، مهندس محمد رضا نفری

سرپرست اجرایی و ویراستار: مهدی محمدی ثابت

طراح جلد: حجت عباسیان

همکاران اجرایی:

ناهید آموزگار، حبیب‌الله افشاری، فرزانه اکوان، نجمه سخنور، مجید شاه‌میرزاو، نجمه عظیم زاده،

بهاره منصوری

سیاستهای فصلنامه:

فصلنامه علمی- پژوهشی علوم و مهندسی خوردگی همواره از دریافت  
مقالات اساتید، صاحب‌نظران و دانشجویان استقبال کرده و به ارتفاع سطح  
دانش و فناوری مهندسی خوردگی در کشور می‌اندیشد. مقالات ارسالی  
برای فصلنامه باید قبل از نشریه ای چاپ شده و یا در حال بررسی برای  
چاپ باشد.

فصلنامه در ویرایش علمی و ادبی مقالات آزاد است. نظرات و دیدگاه‌های  
مطرح شده در مقالات لزوماً به معنای تایید آنها از سوی انجمن خوردگی  
ایران نخواهد بود. اقتباس و نقل مطالب مندرج در فصلنامه با ذکر مأخذ  
بلامانع است.

نشانی دفتر فصلنامه: تهران، خیابان

انقلاب، خیابان شهید عباس

موسوی (فرصت)، کوچه بهبهان،

پلاک ۱۱، واحد ۳

تلفن: ۸۸۳۴۴۲۸۷-۸ و ۸۸۳۲۷۳۲۴

نماخت: ۸۸۳۴۷۷۴۹

پایگاه اینترنتی: [www.jcse.ica.ir](http://www.jcse.ica.ir)

پست الکترونیک: [corrosionengineering@ica.ir](mailto:corrosionengineering@ica.ir)

شمارگان: ۵۰۰ نسخه

قیمت: ۲۵۰۰۰ ریال



# مجله علمی- پژوهشی

## علوم و مهندسی خوردگی

سال دوم، شماره ۱، بهار ۱۳۹۱، شماره پیاپی ۳، ISSN: ۲۲۵۱-۶۴۱۷



### صفحه

### عنوانین مقاله‌ها و نویسندهان

- بررسی تاثیر عناصر آلیاژی (قلع، آلومینیوم و مس) بر خوردگی آندهای سرب- اکسیدکبالت تولید شده به روش متالورژی پودر و مقایسه آنها با آند سرب- کلسیم- قلع مجتمع مس سرچشمه نجمه لاری، مریم احتشام زاده
- بررسی روش‌های جدید تشخیص و شمارش باکتری‌های احیا کننده سولفات و ویژگی‌های فیزیولوژیک موثر در شناسایی آنها روحانسری کرمانشاهی، طاهره قشقایی
- مطالعات الکتروشیمیایی خوردگی محلی آهن در محیط‌های کلریدی حاوی اکسیژن و نیتروژن محسن لشگری، پریسا زینل خانی
- اثر غلظت ذرات ساینده بر میزان هم افزایی در رفتگی - خوردگی فولاد زنگ نزن AISI 420 محمدرضا سیاحی، حمیدرضا قاسمی منفرد راد
- تاثیر ترکیب گاز در عملیات نیتراسیون پلاسمایی بر مقاومت به خوردگی فولاد زنگ نزن آستنیتی ۳۰۴ نیتریده شده علیرضا اکبری، صمد وکیلی
- بررسی امکان استفاده از تکنیک پالس گذرای کالوانواستاتیک در خوردگی میلکردهای تیر بتنه علی قدس، محمدرضا سهرابی، محمود میری
- تشخیص ترک‌های تنفسی سولفیدی (SSC) با استفاده از مدل سازی تکنیک آرایه فازی مصطفی مردانی خراط، ابوالفضل متشرک، غلامرضا راشد



# بررسی تاثیر عناصر آلیاژی (قلع، آلمینیوم و مس) بر خوردگی آندهای سرب-اکسید کبالت تولید شده به روش متالورژی پودر و مقایسه آنها با آند سرب-کلسیم-قلع مجتمع مس سرچشمه

نجمه لاری<sup>\*</sup>، مریم احتشام زاده<sup>۱</sup>

<sup>۱</sup>دانشجوی دکترای مهندسی مواد، سازمان پژوهش‌های علمی و صنعتی ایران

<sup>۲</sup>دانشیار بخش مهندسی مواد، دانشگاه شهید باهنر کرمان

نویسنده مسئول: n1lari@yahoo.com

تاریخ دریافت: ۱۳۹۰/۱۰/۲۵ تاریخ پذیرش: ۱۳۹۱/۰۲/۰۳

## چکیده

طی تحقیقات پیشین آند سرب-اکسید کبالت به روش متالورژی پودر تولید گردید. نشان داده شد که آند تولیدی حایگزین بسیار مناسبی برای آند سرب-کلسیم-قلع مجتمع مس سرچشمه در جهت کاهش نرخ خوردگی این آندها می‌باشد. با توجه به این که تولید الکترودهای سه یا چهارتایی با زمینه سربی از طریق افزودن عناصر با خواص میکروساختاری الکتروکاتالیستی مثل قلع، مس، کلسیم، آلمینیوم و... می‌توانند نقش بسزایی در کاهش خوردگی آندهای سربی ایفا کنند و مقدار عناصر آلیاژی گران قیمت را تقلیل دهند، در این تحقیق علاوه بر استفاده از اکسید کبالت در آند سربی از عناصر دیگری مانند قلع، آلمینیوم و مس نیز استفاده گردید و تاثیر این عناصر بر رفتار خوردگی آندهای سربی به روش متالورژی پودر مورد بررسی قرار گرفت. به منظور این بررسی، آندها توسط روش متالورژی پودر تولید و سپس توسط روش پلاریزاسیون پتانسیویدینامیک مقاومت به خوردگی این آندها مورد بررسی قرار گرفت. همچنین به منظور بررسی سطح آند، از میکروسکوپ الکترونی روبشی (SEM) و میکروسکوپ نوری استفاده گردید. نتایج نشان داد که تنها آلمینیوم عنصری موثر در جهت کاهش نرخ خوردگی می‌باشد و عناصری مثل قلع و مس نرخ خوردگی را در مقایسه با آند سرب-اکسید کبالت و در نتیجه آند سرب-کلسیم-قلع افزایش می‌دهند. دلیل مطلوب بودن عنصر آلمینیوم در آند سرب-اکسید کبالت را می‌توان به علت ایجاد لایه محافظ اکسید آلمینیوم بر سطح آند دانست.

**کلمات کلیدی:** آندهای سرب-اکسید کبالت، قلع، مس، آلمینیوم، متالورژی پودر، خوردگی، پتانسیویدینامیک.

# Investigating the Effect of Alloying Elements (Tin, Copper and Aluminum) on Corrosion Behavior of Metallurgy Powder Pb-Co<sub>3</sub>O<sub>4</sub> Anodes and Comparison with Pb-Ca-Sn Anodes of Sarcheshmeh Copper Complex of Iran

Najmeh Lari<sup>\*1</sup>, Maryam Ehteshamzade<sup>2</sup>

<sup>1</sup>. PhD Student, Industrial & Scientific Research Organization of Iran

<sup>2</sup>. Associate Professor, Shahid Bahonar University of Kerman

\* Corresponding Author: n1lari@yahoo.com

Submission: January 15, 2012      Acceptance: April 23, 2012

## Abstract

In our previous research, a new Pb-Co<sub>3</sub>O<sub>4</sub> anodic material was obtained using powder metallurgy method. The electrochemical and corrosion data indicate that the Pb-Co<sub>3</sub>O<sub>4</sub> anode is a good candidate for further testing as a possible replacement for the conventional Pb-Ca-Sn anode. A key consideration is the cost. Cobalt costs have increased. It is observed that Corrosion resistance of lead anodes is improved by alloying with electrochemical-catalytical action or structural effect such as Sn, Cu, Ca, Al, etc. To reduce cost of Pb-Co<sub>3</sub>O<sub>4</sub> anodes, we suggest adding some effective material to replace some of Co<sub>3</sub>O<sub>4</sub> in this anode. In this study, the influence of tin, aluminum and copper on the lead-cobalt oxide was investigated. These anodes were obtained using powder metallurgy. Then, potentiodynamic polarization experiments were recorded to evaluate the corrosion performance of the anodes in copper electrowinning cells. Also, Scanning electron microscopy (SEM) and optical microscopy were used to characterize the surface of anode. The results showed when elements such as tin and copper alloyed with Pb-Co<sub>3</sub>O<sub>4</sub> anodes, the corrosion resistant of these anodes decreased. The aluminum was the only element leading to more resistance corrosion anode. The addition of aluminum in anode can form an outer protective film of aluminum oxide, coating the electrode and preventing the loss of anode.

**Keywords:** Pb-Co<sub>3</sub>O<sub>4</sub> anodes, Sn, Al, Cu, corrosion, powder metallurgy, potentiodynamic polarization.

## ۱- مقدمه

خوردگی بین دانه ای در آند می گردد [۷]. اگرچه افروزن قلع می تواند مقاومت فیلم آندی را کاهش دهد، ولی رشد لایه مقاوم الکتریکی بر آلیاژ سرب-کلسیم به علت حضور کلسیم در آلیاژ نمی تواند بر طرف و متوقف شود. بنابراین آند سرب-کلسیم-قلع نمی تواند به طور رضایت بخشی به کار گرفته شود [۸ و ۹].

به منظور بهبود خواص الکتروشیمیایی آند سرب-کلسیم-قلع، تاثیر افزودن آلمینیوم به این آند بررسی گردید. ملاحظه شد که افزودن آلمینیوم در حالت مذاب می تواند سبب تشکیل فیلم محافظ بیرونی اکسید آلمینیوم بر سطح الکترود گردد. در نتیجه از کم شدن کلسیم در الکترود می کاهد. هرچند که خواص ساختاری این الکترود بهتر از الکترود سرب-کلسیم-قلع می باشد اما آلمینیوم تمایل به جداش و غنی شدن در ساختار دارد. این پدیده به غلظت آلمینیوم در آلیاژ بستگی ندارد و به صورت تصادفی منجر به این حالت می شود [۳]. طی تحقیقات قبل، امکان سنجی تولید آندهای سرب-اکسید کبالت به روش متالورژی پودر بررسی گردید و ملاحظه شد که این آندها مقاومت به خوردگی بسیار بالای در مقایسه با آندهای سرب-کلسیم-قلع مجتمع مس سرچشمه دارا می باشند [۱۰]. در این تحقیق به منظور کاهش مقدار عنصر کبالت در آند از عناصری با خاصیت الکتروکاتالیستی دیگری مانند مس و عناصری با خواص ساختاری مانند آلمینیوم و قلع در کنار اکسید کبالت در آند سربی استفاده شد. همچنین از آنجایی که آلیاژهای چهارتایی ریختگی مقاومت به خوردگی بالایی دارند، در این تحقیق آند سرب-اکسید کبالت-قلع- (آلومینیوم یا مس) نیز تولید و رفتار خوردگی این آندها مورد بررسی قرار گرفت.

## ۲- مواد و روش تحقیق

### ۲-۱- تولید آندهای سرب-اکسید کبالت حاوی قلع، مس و آلمینیوم

آندهای سرب-اکسید کبالت حاوی قلع، مس و آلمینیوم به روش متالورژی پودر تهیه گردید. برای آماده سازی آندها از

استفاده از آلیاژهای سربی به عنوان الکترود آند نامحلول در فرایند الکترووینینگ مس<sup>۱</sup> بسیار متداول است [۱]. این آندها، معمولاً دچار خوردگی می شوند. برای رفع این معضل می توان از دو روش استفاده کرد: الف) به محلول الکترووینینگ ترکیبات مناسبی مانند سولفات کبالت افزود. ب) از عناصر آلیاژی مطلوب در آند سربی بهره برد. تاثیر عناصر بر کمینه شدن سرعت خوردگی آندهای سربی را به سه دسته می توان تقسیم کرد: الف) عناصری با مکانیزم الکتروشیمیایی- کاتالیتیکی نظیر پلاتین، کبالت، نقره و در درجه پایین تر طلا، مس، نیکل و آهن. این عناصر جهت بهبود خواص الکتروکاتالیتیکی به الکترود آند سربی اضافه می شوند. ب) عناصری با اثر ساختاری بر آند مانند تانتالم، ایندیوم، قلع، بیسموت، آنتیموان و غیره. ج) عناصر با نقش اصلاح کننده ای ساختار آلیاژی مانند بسیاری از عناصر گروه ۱۰ جدول تناوبی. بهترین حالت از لحاظ مقاومت به خوردگی هنگامی پیش می آید که آند شامل سه گروه بالا با هم باشد [۲].

Pb-Ca-Sn امروزه در صنعت به طور گسترده‌ای از آندهای استفاده می گردد. افزودن قلع خواص شیمیایی، فیزیکی و مکانیکی آلیاژهای سرب-کلسیم را بهبود می بخشد. همچنین قلع ضخامت اکسید سرب فیلم پسیو را کاهش و خواص هدایتی فیلم پسیو را اصلاح می کند [۳].

قلع با کلسیم و سرب ترکیبات Pb<sub>x</sub>Sn<sub>y</sub>Ca یا Sn<sub>3</sub>Ca تشکیل می دهد. حضور این ترکیبات منجر به مقاومت مکانیکی و شیمیایی این آلیاژ می گردد [۴]. آندهای سرب-کلسیم-قلع محکم، یکنواخت، عاری از ترک و آخال، دارای ساختار ریزدانه و همچنین خوردگی یکنواختی دارند [۵]. گیس<sup>۲</sup> بیان کرد که قلع مانع از تشکیل آلفا دی اکسید سرب از سرب فلزی می گردد. پاولوف<sup>۳</sup> نیز تاثیر قلع را، مشارکت در شبکه کریستالی PbO/PbO<sub>x</sub> دانست [۶]. در ترکیب آند، قلع دارای حد بهینه می باشد که بیشتر از حد بحرانی منجر به

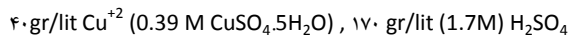
<sup>1</sup> Copper Electrowinning

<sup>2</sup> Giess

<sup>3</sup> Pavlov

## ۲-۲-آماده سازی الکترووینینگ مس

الکتروولیت جهت انجام آزمایش الکترووینینگ مس به فرمول زیر تهیه گردید:



## ۲-۳-روش انجام آزمایش

آزمایش‌های پلاریزاسیون پتانسیوبدینامیک در یک سل شیشه‌ای در دمای ثابت ۲۵ درجه سانتی‌گراد توسط دستگاه AMEL انجام شد. در این روش نمونه‌ها به صورت قطعات  $1 \times 1$  سانتی‌متر مربع مانند شدند. از آندهای تهیه شده به عنوان الکترود کاری، پلاتین به عنوان الکترود کمکی و الکترود کالولمل به عنوان الکترود مرجع استفاده گردید. قبل از انجام هر آزمایشی، به روش مکانیکی الکترودهای کاری تا سنباده ۲۴۰۰ پرداخت سطحی شدند.

## ۳-نتایج و بحث

۱-۳-۱- تاثیر افزودن قلع به آند سرب- اکسید کبالت  
تاثیر عنصر قلع بر رفnar خوردگی آندهای سرب- اکسید کبالت تحت شرایط مختلف بررسی شد. بدین منظور از روش پلاریزاسیون پتانسیوبدینامیک جهت ارزیابی مقاومت به خوردگی و از میکروسکوپ نوری و الکترونی جهت بررسی سطوح استفاده گردید.

۱-۳-۲- ارزیابی رفتار الکتروشیمیایی و مقاومت به خوردگی آندهای سرب- اکسید کبالت- قلع به روش پلاریزاسیون  
منحنی‌های پلاریزاسیون آندهای سرب- اکسید کبالت- قلع و آندهای سرب- اکسید کبالت بدون قلع تحت شرایط مختلف در شکل ۱ نشان داده شده است.  
پارامترهای به دست آمده از منحنی‌های پلاریزاسیون در جداول ۴ و ۵ مشاهده می‌گردد.

پودرهای تجاری سرب، قلع، آلومینیوم و پودر تترالکسیدتری کبالت (Merck) استفاده شد. با استفاده از قالب تهیه شده برای این کار به قطر یک سانتی‌متر، نمونه‌ها توسط دستگاه پرس هیدرولیک یک طرفه ۶۰ تنی آماده گردیدند. سپس قرص‌های تهیه شده زینتر شدند. شرایط آماده‌سازی الکترودها در ادامه بیان شده است.

۲-۱-۱- آند سرب- اکسید کبالت- قلع  
به منظور بررسی تاثیر عنصر قلع بر آندهای سرب- اکسید کبالت، نمونه‌ها تحت شرایط جدول ۱ تولید گردیدند.

۲-۱-۲- آند سرب- اکسید کبالت- آلومینیوم  
تاثیر عنصر آلومینیوم بر آند سرب- اکسید کبالت به روش متالورژی پودر بررسی شد. برای این نمونه‌ها طبق جدول ۲ آماده گردیدند.

۲-۱-۳- آند سرب- اکسید کبالت- مس  
برای بررسی تاثیر خاصیت الکتروکاتالیستی مس در آند سرب- اکسید کبالت، نمونه‌ای حاوی ۱٪ مس و ۳٪ کبالت در دمای ۲۵۰ درجه سانتی‌گراد به مدت ۶ ساعت تف‌جوشی گردید.

۲-۱-۴- آند سرب- اکسید کبالت- قلع- آلومینیوم یا مس  
همان طور که گفته شد، آلیاژهای چهارتایی ریختگی مقاومت به خوردگی بالایی دارند. لذا در این مرحله نمونه‌هایی برای به دست آوردن اثر همزمان آلیاژ چهارتایی آند سرب- اکسید کبالت- قلع- مس و آند سرب- اکسید کبالت- قلع- آلومینیوم به روش متالورژی پودر مطابق جدول ۳ به دست آورده شد. اکسید کبالت و مس هر دو خاصیت مطلوب الکتروکاتالیستیکی دارند و قلع بر ریز ساختار آند تاثیر دارد. آلومینیوم نیز سبب ایجاد فیلم محافظ می‌شود.

**جدول ۱: آندهای سرب-اکسید کبالت-قلع تولید شده به روش متالورژی پودر تحت شرایط متفاوت**

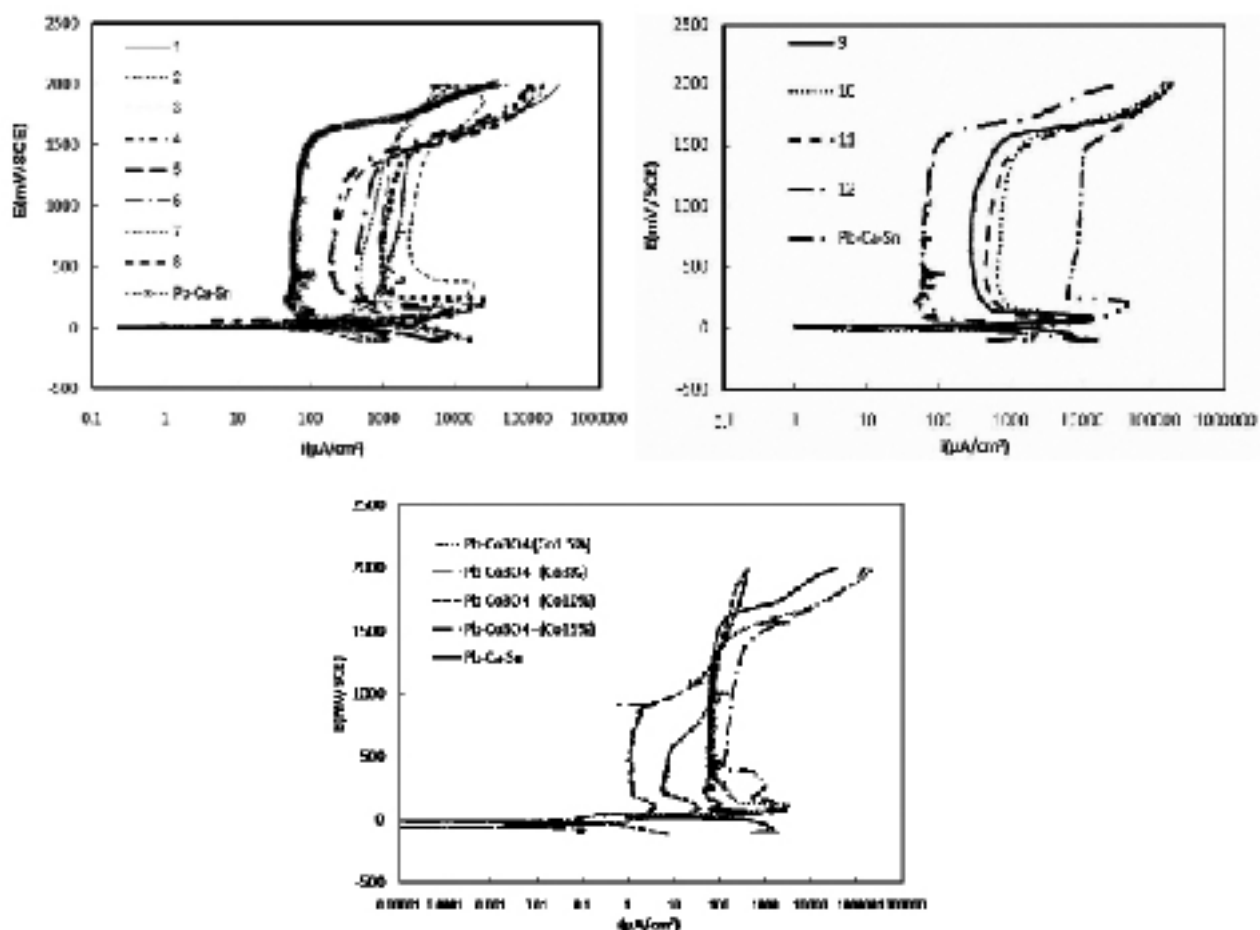
نمونه	آند	فشار پرس (MPa)	دما <sub>تف جوشی (°C)</sub>	مدت زمان <sub>تف جوشی (hr)</sub>
۱	Pb-Co <sub>3</sub> O <sub>4</sub> (Co3%)-Sn1%	۱۲۰۰	۲۵۰	۲
۲	Pb-Co <sub>3</sub> O <sub>4</sub> (Co3%)-Sn2%	۱۲۰۰	۲۵۰	۲
۳	Pb-Co <sub>3</sub> O <sub>4</sub> (Co3%) Sn2.6%	۱۲۰۰	۲۵۰	۲
۴	Pb-Co <sub>3</sub> O <sub>4</sub> (Co3%)-Sn1%	۷۰۰	۲۵۰	۲
۵	Pb-Co <sub>3</sub> O <sub>4</sub> (Co3%)-Sn1%	۷۰۰	۲۵۰	۶
۶	Pb-Co <sub>3</sub> O <sub>4</sub> (Co3%)-Sn2%	۷۰۰	۲۵۰	۶
۷	Pb-Co <sub>3</sub> O <sub>4</sub> (Co3%)- Sn2.6%	۷۰۰	۲۵۰	۶
۸	Pb-Co <sub>3</sub> O <sub>4</sub> (Co3%)-Sn0.5%	۷۰۰	۲۵۰	۶
۹	PbCo <sub>3</sub> O <sub>4</sub> (Co1.5%)Sn0.5%	۱۲۰۰	۳۵۰	۲
۱۰	Pb-Co <sub>3</sub> O <sub>4</sub> (Co3%)-Sn0.5%	۱۲۰۰	۳۵۰	۲
۱۱	Pb-Co <sub>3</sub> O <sub>4</sub> (Co3%)-Sn1%	۱۲۰۰	۳۵۰	۲
۱۲	Pb-Co <sub>3</sub> O <sub>4</sub> (Co10%)-Sn1%	۱۲۰۰	۳۵۰	۲

**جدول ۲: آندهای سرب-اکسید کبالت-آلومینیوم تولید شده به روش متالورژی پودر تحت شرایط متفاوت**

نمونه	آند	فشار پرس (MPa)	دما <sub>تف جوشی (°C)</sub>	مدت زمان <sub>تف جوشی (hr)</sub>
۱	Pb-Co <sub>3</sub> O <sub>4</sub> (3%Co)-Al1%	۷۰۰	۲۵۰	۶
۲	Pb-Co <sub>3</sub> O <sub>4</sub> (5%Co)-Al2%	۱۲۰۰	۳۵۰	۲
۳	Pb-Co <sub>3</sub> O <sub>4</sub> (10%Co)-Al2%	۱۲۰۰	۳۵۰	۲

**جدول ۳: آندهای سرب-اکسید کبالت-قلع-آلومینیوم (مس) تولید شده به روش متالورژی پودر تحت شرایط متفاوت**

نمونه	آند	فشار پرس (MPa)	دما <sub>تف جوشی (°C)</sub>	مدت زمان <sub>تف جوشی (hr)</sub>
۱	Pb-Co <sub>3</sub> O <sub>4</sub> (Co0.5%)-Al0.5%-Sn0.5%	۱۲۰۰	۳۵۰	۲
۲	Pb-Co <sub>3</sub> O <sub>4</sub> (Co3%)-Al1%-Sn1%	۱۲۰۰	۳۵۰	۲
۳	Pb-Co <sub>3</sub> O <sub>4</sub> (Co3%)-Al2%-Sn0.5%	۱۲۰۰	۳۵۰	۲
۴	Pb-Co <sub>3</sub> O <sub>4</sub> (Co5%)-Al1%-Sn1%	۱۲۰۰	۳۵۰	۲
۵	Pb-Co <sub>3</sub> O <sub>4</sub> (Co10%)-Al2%-Sn2%	۱۲۰۰	۳۵۰	۲
۶	Pb-Co <sub>3</sub> O <sub>4</sub> (Co3%)-Sn1%-Cu1%	۷۰۰	۲۵۰	۶
۷	Pb-Co <sub>3</sub> O <sub>4</sub> (Co3%)-Al1%-Sn1%	۷۰۰	۲۵۰	۶



شکل ۱: منحنی های پلاریزاسیون تاثیر افزودن عنصر قلع به آند سرب-اکسید کبالت تحت شرایط مختلف.

جدول ۴: پارامترهای آزمایش خوردگی پلاریزاسیون  
پتانسیو دینامیک آند سرب-اکسید کبالت-قلع در محلول الکترو و بینیگ مس

$E-E_p$	$E_{corr}(mV/SCE)$	$E_p(mV/SCE)$	$i_p(\mu A/cm^2)$	$i_{crit}(\mu A/cm^2)$	شماره آند
۱۲۳۴	۴۹	۱۶۸	۱۰۵۶	۲۰۱۲	۱
۱۱۳۰	۵۳	۲۰۰	۱۰۳۶	۲۰۹۶۵	۲
۱۰۳۷	۲۹	۳۰۲	۲۶۶۷	۱۶۶۷۲	۳
۱۰۰۰	۴	۱۳۷	۲۰۸	۸۴۴۰	۴
۱۰۳۰	-۷	۴۵	۵۰۶	۱۹۵۰	۵
۱۱۱۴	۰	۱۳۸	۷۹۴	۸۰۳۱	۶
۱۱۲۸	-۱	۳۷۲	۱۲۹۳	۱۸۵۷	۷
۱۰۳۰	-۳	۴۰	۲۲۸	۱۹۰۰	۸
۱۳۶۵	۲۰	۸۳	۶۳۶	۱۱۱۴۲	۹
۱۲۰۰	۵	۶۷	۹۲۱	۳۱۷۵	۱۰
۱۲۲۷	-۹	۶۷	۵۱۱	۱۱۶۷	۱۱
۱۱۷۰	-۱۸	۱۳۷	۸۷۹۳	۳۰۴۷۸	۱۲

**جدول ۵: نتایج آزمایش خوردگی پلاریزاسیون پتانسیو-دینامیک آند سرب- اکسید کبالت با درصدهای مختلف و آند سرب- کلسیم- قلع مجتمع مس سرچشم در محلول الکترووینیک مس**

E-E <sub>p</sub>	E <sub>corr</sub> (mV/SCE)	E <sub>p</sub> (mV/SCE)	i <sub>p</sub> (µA/cm <sup>2</sup> )	i <sub>crit</sub> (µA/cm <sup>2</sup> )	آند
۱۳۵۲	۱۵	۴۵	۶۷	۴۴۴	Pb-Ca-Sn
۱۱۱۰	۳۳	۹۹	۶۳	۳۳۴۱	Pb-Co <sub>3</sub> O <sub>4</sub> (1.5%Co)
۹۵۷	۱۷	۸۱	۱۵۳	۳۱۸۶	Pb-Co <sub>3</sub> O <sub>4</sub> (3%Co)
۳۳۲	-۲۸	۹۳	۷	۳۶	Pb-Co <sub>3</sub> O <sub>4</sub> (10%Co)
۶۷۷	-۲۴	۷۱	۲	۳	Pb-Co <sub>3</sub> O <sub>4</sub> (15%Co)

می توان گفت که ذرات سرب با قلع محلول جامدی تشکیل داده که بر مرزدانه ها نفوذ کرده و سبب ایجاد خوردگی مرزدانه ای می شوند. همچنین باید خاطر نشان کرد که نمونه ۴ به وسیله آسیاب گلوله ای هم زده شده است و قلع به خوبی در سرب پخش گردیده است. در اینجا می توان به فرایند موثر مخلوط سازی یکنواخت بر بهبود مقاومت به خوردگی اشاره کرد.

در شرایط یکسان نمونه های ۶، ۵، ۷ و ۸ فقط تفاوت در غلظت قلع موجود در آند، کمترین مقاومت به خوردگی مربوط به آندی است که کمترین میزان قلع یعنی ۰.۰/۵٪ را دارا می باشد. در این موارد همگی با فشار ۷۰۰ مگاپاسکال و در دمای ۲۵۰ درجه به مدت ۶ ساعت تف جوشی شده بودند. با افزایش غلظت قلع در آند تا ۰.۲/۶٪ دانسیته جریان منطقه پسیو افزایش می یابد. وقتی غلظت قلع در آند بالا رود، جدایش در الکترود اتفاق می افتد و سبب تشدید خوردگی می شود. تقریباً می توان گفت که هر چه غلظت قلع کمتر باشد، کمتر خوردگی اتفاق می افتد، اما همان طور که در نتیجه دوم دیده شد، کمترین خوردگی متعلق به غلظت میانی قلع می باشد. با توجه به تفاوت فشار در این دو مورد می توان گفت که غلظت قلع به طور تصادفی موثر است و خوردگی آند سرب- اکسید کبالت- قلع به عوامل شکل دهی در این پژوهش یعنی متالورژی پودر بستگی زیادی دارد.

پتانسیل خوردگی آندهای تقریباً در یک محدوده می باشد. اما نمونه هایی که با فشار ۱۲۰۰ مگاپاسکال پرس شده اند، در مقایسه با فشار ۷۰۰ مگاپاسکال کمی پتانسیل

همانطور که ملاحظه می شود:

► با افزودن قلع به آند سرب- اکسید کبالت در روش متالورژی پودر میزان خوردگی آند نسبت به آند سرب- اکسید کبالت بدون قلع افزایش می یابد.

► در شرایط یکسان نمونه های ۱ و ۲ که به ترتیب دارای ۱، ۰/۶٪ قلع می باشند و تحت فشار ۱۲۰۰ مگاپاسکال و در دمای ۲۵۰ درجه تف جوشی شدن، بهترین نمونه از لحاظ مقاومت به خوردگی نمونه شماره ۲ می باشد. نسبت i<sub>p</sub>/i<sub>crit</sub> در این حالت بیشترین مقدار می باشد. این نسبت نشان دهنده موثر بودن فیلم پسیو در کاهش سرعت انحلال سطح آند می باشد؛ به عبارتی تحت فشار ۱۲۰۰ مگاپاسکال با دمای تف جوشی ۲۵۰ درجه سانتی گراد بهترین غلظت بهینه ۲٪ نقره می باشد.

► نمونه های ۱، ۴، ۵ و ۱۱ که حاوی ۰/۳٪ وزنی کبالت به همراه ۱٪ وزنی قلع می باشند و فقط شرایط آماده سازی چهار آند تغییر کرده است، در این میان کمترین دانسیته جریان پسیو را آند شماره ۴ دارا است. در این حالت فشار پرس، دما و زمان تف جوشی کمتر از بقیه موارد می باشد. با توجه به مدت زمان کم تف جوشی و دمای نه چندان زیاد، اجازه نفوذ قلع به مرزدانه ها کمتر داده می شود. در نتیجه عنصر قلع در آند چندان نمی تواند تجمع و ایجاد جدایش کند. هنگامی که مدت زمان تف جوشی بالا می رود و به ۶ ساعت می رسد، با همان ترکیب، فشار و دمای تف جوشی، نرخ خوردگی افزایش می یابد. علت آن را نفوذ قلع با گذشت زمان و ایجاد جدایش در ترکیب آند می توان دانست. البته

پدیدار می شوند [۲]. در روش متالورژی پودر چنین اثری ملاحظه نشد. پس قلع و اکسید کبالت در روش متالورژی پودر همزمان نمی توانند مانند روش ریخته گری در آلیاژهای سربی مفید واقع شوند. بنابراین این عنصر تاثیر خوبی در آند سرب-اکسید کبالت در روش متالورژی پودر نخواهد داشت. در آزمایش های انجام شده هر چند غلظت قلع در آند فاکتوری مهم می باشد، اما همان طور که مشاهده شد، فشار پرس، دمای پخت، مدت زمان پخت و همچنین میزان اکسید کبالت نیز بر نرخ خوردگی آند سرب-اکسید کبالت-قلع موثرند.

### ۱-۳-۱-۲- بررسی های میکروسکوپی آند سرب- اکسید کبالت - قلع

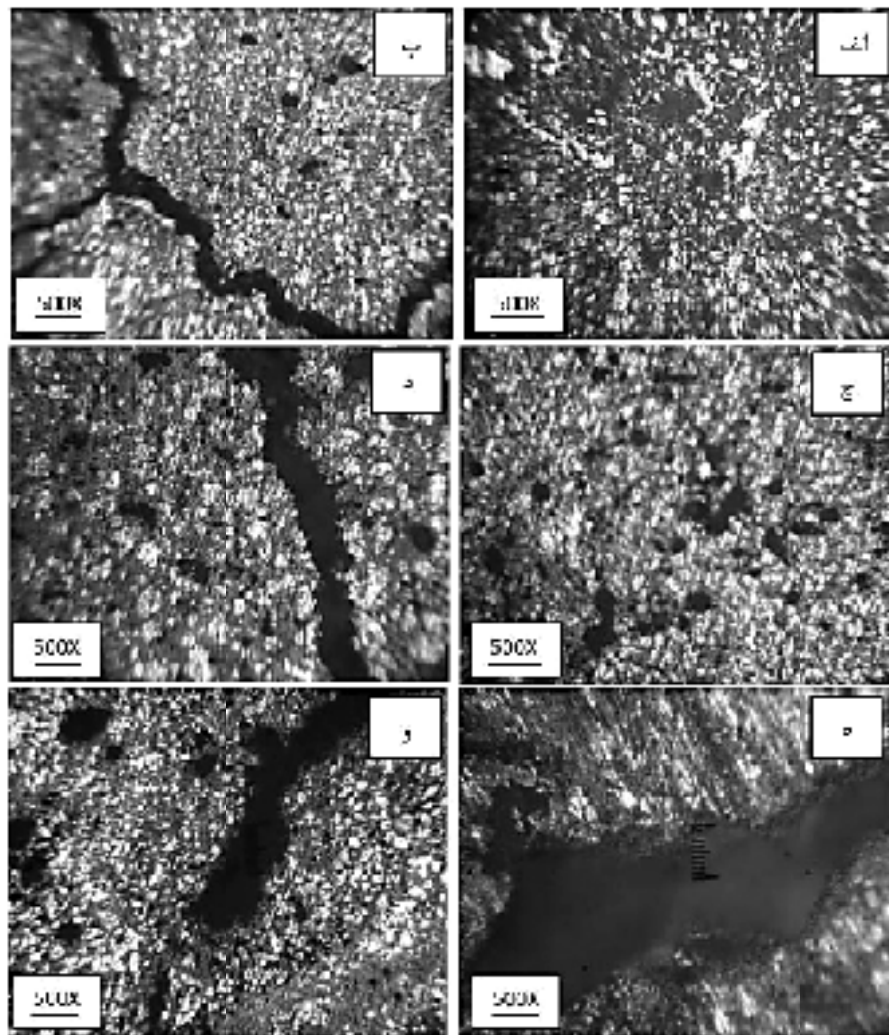
اشکال ۲ و ۳ تصویر میکروسکوپ نوری آند سرب-اکسید کبالت-قلع نمونه های مختلف را قبل و بعد از غوطه وری در محلول نشان می دهد. همچنین به منظور بررسی توزیع عناصر در آند سرب-اکسید کبالت-قلع آنالیز نقشه ای این آند گرفته شد. تصاویر در شکل ۳ قابل رویت است.

تصاویر میکروسکوپ نوری سطح آند نشان می دهد که قبل از غوطه وری در محلول، ترک بر سطح وجود ندارد، اما هنگامی که آند در معرض محلول قرار گرفت، سطح دچار ترک می گردد. همان طور که ملاحظه می شود، سطح آند قبل از غوطه وری دارای تخلخل می باشد. بنابراین محلول از طریق این تخلخل ها وارد بدنکtronod می شود و منجر به بوجود آمدن محصولات خوردگی در بدنکtronod می گردد. محصولات تشکیل شده معمولاً حجمی تر از مواد به کار رفته در بدنکtronod می باشد. در نتیجه محصولات، ایجاد تنفس در قطعه می کنند و منجر به بروز ترک در آند می شوند. همچنین باید توجه داشت که تقریباً افزایش عنصر قلع در آند سبب خوردگی بیشتر نمونه شده است. در نتیجه می توان گفت که این محصولات خوردگی ممکن است بیشتر به دلیل حضور قلع در ماده باشد. به منظور بررسی بیشتر تاثیر نحوه توزیع قلع در ماده آنالیز نقشه ای گرفته شد.

خوردگی بالاتری دارند. شاید بتوان گفت به دلیل کمتر بودن تخلخل در اثر فشار بیشتر میزان خوردگی کمتر شده و پتانسیل خوردگی به سمت مقادیر نجیب تر سوق داده می شود.

﴿نتایج پلاریزاسیون نشان می دهد که اگر اکسید کبالت در نمونه افزایش یابد، سبب افزایش خوردگی در حضور قلع می شود. می توان دلیل آن را حضور همزمان اکسید کبالت و قلع در آند سربی دانست. از آنجایی که اکسید کبالت، ماده سرامیکی با مقاومت به خوردگی بالا می باشد این ماده به خوبی حفظ می شود و قلع خوردده خواهد شد. هنگامی که خوردگی قلع بر سطح آند اتفاق می افتد، باعث ایجاد حفره بر سطح می گردد. حضور این حفرات سبب تشدید واکنش خوردگی می شوند.﴾

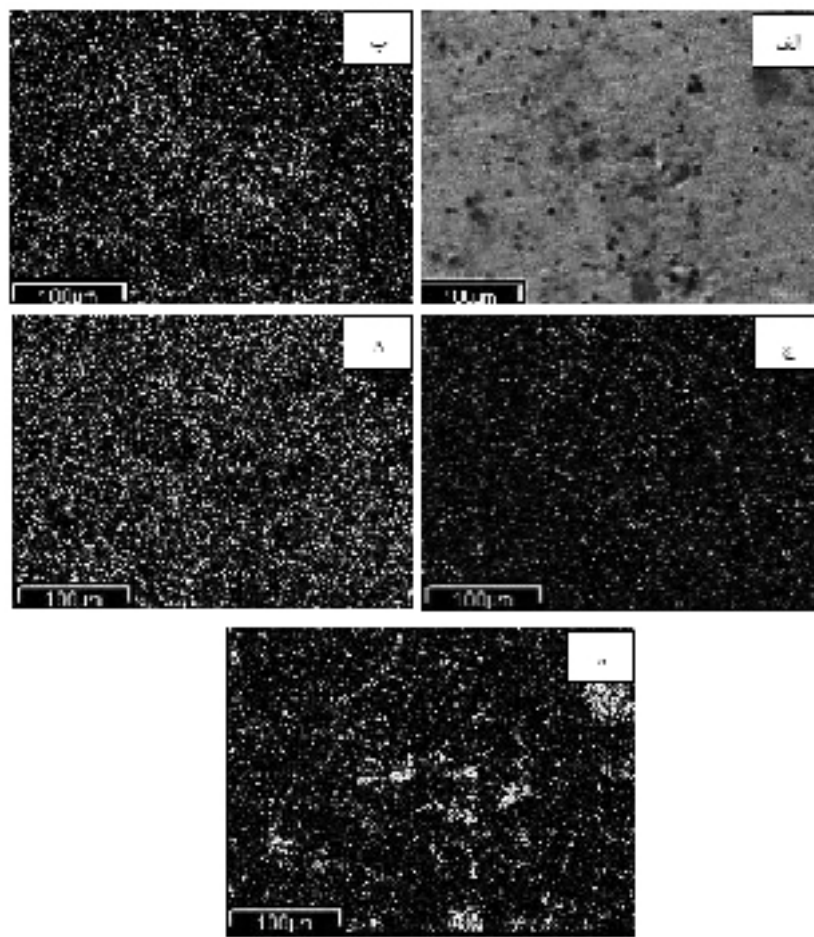
بنابراین علی رغم استفاده موثر قلع در آند ریخته گری از این عنصر در حالت متالورژی پودر به همراه اکسید کبالت نمی تواند مطلوب واقع شود و سبب افزایش میزان خوردگی می گردد. البته باید خاطر نشان کرد که در روش ریخته گری قلع در سرب حل می شود که منجر به بهود خواص می گردد. اما در روش متالورژی پودر و در حضور اکسید کبالت منجر به حل قلع در سرب نمی شود و این فلز به صورت ذره باقی می ماند و یا لااقل بخشی از آن نامحلول باقی می مانند. در روش ریخته گری کبالت و نقره به صورت آلیاژی با سرب نمی توان به دست آورد. بنابراین حضور عنصر سومی مانند قلع در ترکیب استفاده می شود. این عنصر سبب می شود که کبالت و نقره در آلیاژ پخش یکنواخت داشته باشند. محصولاتی مانند سولفات قلع لایه مقاوم و چگالی بر آند در مقادیر کم نقره را باعث می شوند. کاهش وزن آلیاژ ریختگی Pb-Ag-Sn-Co دارای مقادیر کمی می باشد و لایه محافظ چگال و سنگینی بر سطح ایجاد می گردد. ایجاد لایه محافظ به علت حضور موثر Co در تشکیل لایه می باشد. حضور قلع در آلیاژ سبب ایجاد لایه ضخیم تر بر سطح می شود. لایه ضخیم تر منجر به عدم نفوذ  $Pb^{2+}$  در الکترولیت و به این ترتیب به  $Pb^{4+}$  اکسید می شوند و دی اکسید سرب به عنوان نتیجه ای از هیدرولیز این یون ها



شکل ۲: تصاویر میکروسکوپ نوری آند حاوی قلع (الف) آند شماره ۴ قبل از غوطه وری، (ب) آند شماره ۴ بعداز غوطه وری، (ج) آند شماره ۱ قبل از غوطه وری، (د) آند شماره ۱ بعداز غوطه وری، (ه) آند شماره ۲ قبل از غوطه وری، (و) آند شماره ۳ بعداز غوطه وری در بزرگنمایی ۵۰۰.

آند پخش شده است. اما در روش ریخته گری قلع در ماده به صورت محلول در می آید و ایجاد ترکیبات یوتکتیک در آند می کند. در آند سرب-کلسیم-قلع ریختگی، قلع با کلسیم و سرب ترکیبات  $Pb_xSn_yCa$  یا  $Sn_3Ca$  تشکیل می دهدند. حضور این ترکیبات منجر به مقاومت مکانیکی و شیمیایی این آلیاژ می گردد [۴]، اما در روش متالورژی پودر این اتفاق نمی افتد. دلیل دیگر برتری قلع در این آند ایجاد ترکیبات قلع و کلسیم با هم می باشد که در آند سرب-اکسید کبالت از عنصر کلسیم استفاده نگردیده است.

آنالیز نشان می دهد که قلع تقریباً به خوبی در سطح آند پخش شده است، اما نمی توان به آسانی قضاوت کرد که آیا قلع در مرزدانه ها قرار گرفته یا خیر. کبالت به صورت جزایر پراکنده در سطح قرار دارد و این ماده به خوبی پخش نشده است. قلع نمی تواند مانند آلیاژ سرب-کبالت-قلع در روش ریخته گری به توزیع پودر اکسید کبالت در بدنه یاری کند. در نتیجه نمی تواند با تغییر در ساختار منجر به تغییر در لایه اکسید محافظ بر سطح و کاهش در نرخ خوردگی شود. همچنین باید در نظر داشت که قسمت زیادی از سرب اکسید شده است. به نظر قلع در سرب حل نشده و به صورت ذره در



شکل ۳: آنالیز نقشه ای آند سرب-اکسید کبالت (%۳ کبالت)-قلع ۱٪ الف) سطح آند، ب) اکسیژن، ج) قلع، د) سرب، ه) کبالت.

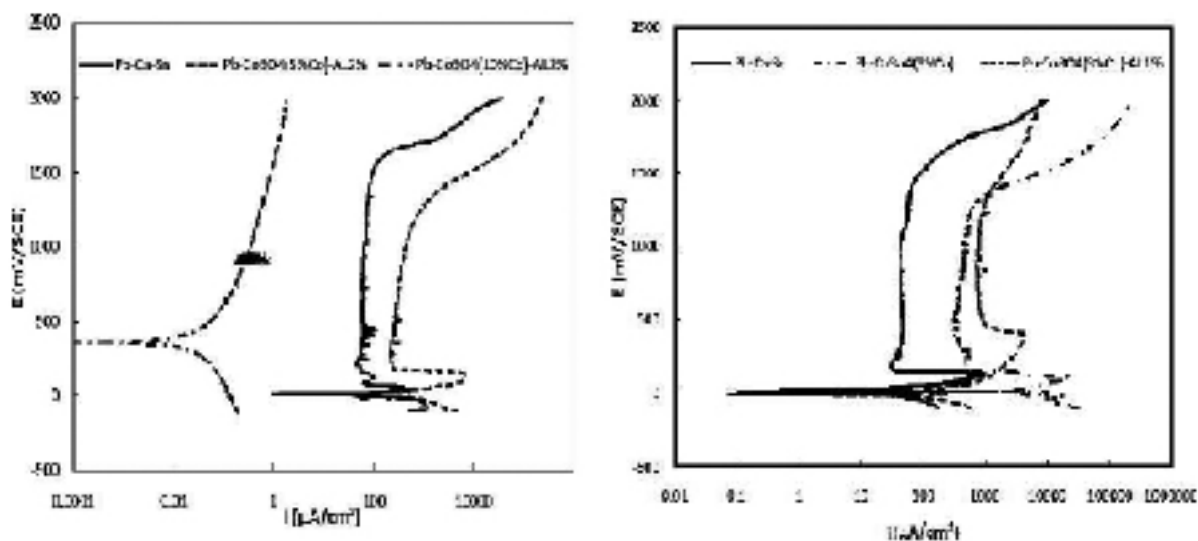
» هنگامی که آند سربی حاوی ۱۰٪ کبالت و ۲٪ آلومینیوم می باشد، دانسته جریان پسیو به شدت کاهش می یابد؛ به طوری که نسبت به آند سرب-کلسیم-قلع و حتی آندهای حاوی ۱۰ و ۱۵٪ کبالت نرخ خوردگی به میزان زیادی کاهش می یابد. در این مورد منطقه پسیو نیز نسبت به آندهای مذکور افزایش یافته است. وجود منطقه پسیو وسیع به علت وجود اکسید آلومینیوم تشکیل شده بر سطح آند می باشد.

» در حضور آلومینیوم در آند سربی حاوی ۳ و ۵٪ کبالت دانسته جریان پسیو بیشتری نسبت به عدم حضور آلومینیوم در نمونه دارد. با افزودن آلومینیوم به آند سرب-اکسید کبالت تمایل به جدایش در آلیاژ سربی دارد و این پدیده به صورت تصادفی اتفاق می افتد و به مقدار آلومینیوم در این آلیاژها وابسته نیست [۳].

### ۲-۳-۲- تاثیر افزودن آلومینیوم به آند سرب-اکسید کبالت

تاثیر آلومینیوم بر رفتار خوردگی آندهای سرب-اکسید کبالت تهیه شده به روش متالورژی پودر تحت شرایط مختلف مطابق جدول ۳ توسط منحنی های پلاریزاسیون پتانسیودینامیک بررسی گردید. نتایج در شکل ۴ ملاحظه می گردد. پارامترهای ترمودینامیکی و سیتیکی به دست آمده از منحنی های پلاریزاسیون شکل ۴ در جدول ۶ مشاهده می گردد. با استفاده از نتایج به دست آمده می توان گفت:

» با افزایش اکسید کبالت در آند سرب-اکسید کبالت-آلومینیوم دانسته جریان پسیو کاهش، پتانسیل خوردگی و منطقه پسیو افزایش می یابد. در نتیجه نرخ خوردگی پایین می آید. این نتیجه تقریباً عکس اثر افزودن قلع به آند سرب-اکسید کبالت می باشد.



شکل ۴: منحنی های پلاریزاسیون تاثیر افزودن عنصر آلمینیوم به آند سرب-اکسید کبالت تحت شرایط مختلف.

جدول ۶: پارامترهای آزمایش خوردگی پتانسیوودینامیک آند سرب-اکسید کبالت-آلومینیوم در محلول الکتروووینیک مس

$E-E_p$	$E_{corr}(mV/SCE)$	$E_p(mV/SCE)$	$i_p(\mu A/cm^2)$	$i_{crit}(\mu A/cm^2)$	آند
۸۸۰	-۱۵	۳۲۵	۱۰۶۱	۳۷۲۷	Pb-Co <sub>3</sub> O <sub>4</sub> (3%Co)-AL1%
۱۰۰۶	۱۷	۸۹	۲۷۳	۵۰۹۸	Pb-Co <sub>3</sub> O <sub>4</sub> (5%Co)-AL2%
۱۴۹۴	۳۶۱	-	۰/۵	-	Pb-Co <sub>3</sub> O <sub>4</sub> (10%Co)-AL2%

سرب-اکسید کبالت دارد. می‌توان گفت احتمالاً عدم انحلال مس در روش متالورژی پودر در مقایسه با روش ریخته گری منجر به بروز این پدیده گردیده است. به صورت ذره ماندن این عنصر سبب ایجاد تغییر در پتانسیل سطح و تشدید خوردگی می‌شود. البته باید مذکور شد که برای به دست آمدن نتیجه قطعی حضور مس در آند سرب-اکسید کبالت باید تحقیق بیشتری انجام داد.

### ۳-۴- تاثیر افزودن مس به آند سرب-اکسید کبالت

به منظور بررسی تاثیر افزودن مس یا آلمینیوم به آند سرب-اکسید کبالت-قلع تحت شرایط مختلف از روش پلاریزاسیون پتانسیوودینامیک (جدول ۷) جهت ارزیابی مقاومت به خوردگی و از میکروسکوپ نوری و الکترونی جهت بررسی سطوح آند استفاده گردید.

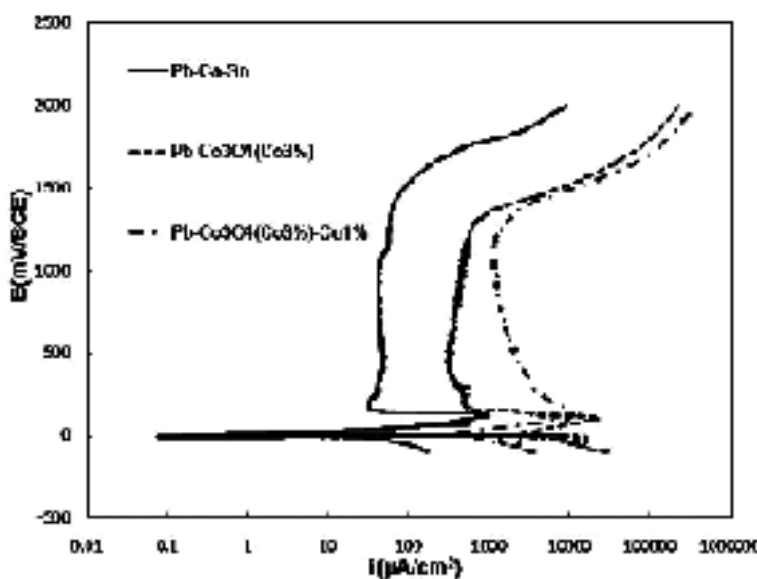
۳-۳- تاثیر افزودن مس به آند سرب-اکسید کبالت

تاثیر افزودن مس بر خوردگی آند سرب-اکسید کبالت به کمک روش پلاریزاسیون ملاحظه می‌گردد. فاکتورهای اساسی در بررسی منحنی های پلاریزاسیون در جدول ۶ برای این آند در مقایسه با حالتی که قادر عنصر مس می‌باشد، آورده شده است.

همانطور که دیده می‌شود:

- در شرایط یکسان تولید این دو آند، نرخ خوردگی در حضور مس در آند افزایش می‌یابد.
- پتانسیل منطقه پسیو و خوردگی در هر دو مورد تغییر نکرده است.

علی‌رغم اینکه این فلز جزء عناصر با خاصیت الکتروکاتالیتی می‌باشد، اما تاثیر مطلوبی بر آند سرب-اکسید کبالت تولید شده به روش متالورژی پودر ندارد. حتی باید گفت این افزودنی بدترین تاثیر را نسبت به قلع و آلمینیوم در آند



شکل ۵: منحنی های پلاریزاسیون تاثیر افروzen عنصر مس به آند سرب-اکسید کبالت در شرایط مختلف.

جدول ۷: پارامترهای آزمایش خوردگی پتانسیوودینامیک آند سرب-اکسید کبالت-آلومینیوم در محلول الکترووینیتگ مس

$E-E_p$	$E_{corr}(\text{mV/SCE})$	$E_p(\text{mV/SCE})$	$i_p(\mu\text{A}/\text{cm}^2)$	$i_{crit}(\mu\text{A}/\text{cm}^2)$	آند
۹۷۳	.	۱۰۱	۴۳۴۸	۹۴۰۸	Pb-Co <sub>3</sub> O <sub>4</sub> (3%Co)-Cu1%
۱۱۰۱	.	۱۰۱	۶۱۳	۲۲۱۲۹	Pb-Co <sub>3</sub> O <sub>4</sub> (3%Co)

قابل توجهی می باشد. می توان به اثر سوء مس در آند بنا به دلایل ذکر شده پی برد.

﴿ آلیاژ چهارتایی سرب-اکسید کبالت-قلع-مس نرخ خوردگی کمتری نسبت به آلیاژ سه تایی سرب-اکسید کبالت-مس دارد. این پدیده نشان می دهد که حضور قلع و مس در ساختار تاثیر مفید بر جای می گذارد. شاید بتوان گفت به دلیل پدیده نفوذ منجر به ترکیبات بین نشینی شده که این ترکیبات منجر به کاهش خوردگی می شود، اما در هر دو مورد و در شرایط یکسان، این دو آند نرخ خوردگی بیشتری نسبت به آند سرب-اکسید کبالت دارند. در کل قلع و مس تاثیر مطلوبی بر آند سرب-اکسید کبالت نخواهد داشت.

﴿ آلیاژ چهارتایی سرب-اکسید کبالت-قلع-آلومینیوم مقاومت به خوردگی بیشتری نسبت به آلیاژ سه تایی سرب-اکسید کبالت-قلع دارد. آلمینیوم در این آند نیز به خوبی توانسته است خواص حفاظتی خود را به نمایش گذارد.

۳-۴-۱- ارزیابی رفتار الکتروشیمیایی و مقاومت به خوردگی آندهای سرب-اکسید کبالت- قلع-آلومینیوم (مس) به روش پلاریزاسیون پتانسیوودینامیک

منحنی های پلاریزاسیون پتانسیوودینامیک آندهای سرب-اکسید کبالت-قلع-آلومینیوم یا مس بررسی گردید. نتایج در شکل ۶ ملاحظه می گردد. نتایج پلاریزاسیون به دست آمده برای الکترودهای مختلف تولیدی در جدول ۸ مشاهده می گردد. از جدول یادشده می توان گفت:

﴿ فلز مس در مشارکت با آند سرب-اکسید کبالت-قلع در مقایسه با آند سرب-اکسید کبالت-قلع-آلومینیوم دارای  $E_p, i_{crit}$  بالایی می باشد. این سه پارامتر تعیین کننده نرخ خوردگی در منحنی های پسیو می باشند. هنگامی که مقدار این سه پارامتر زیاد باشد، سرعت خوردگی بالا می رود. در نتیجه آند سرب-اکسید کبالت-قلع-مس دارای خوردگی

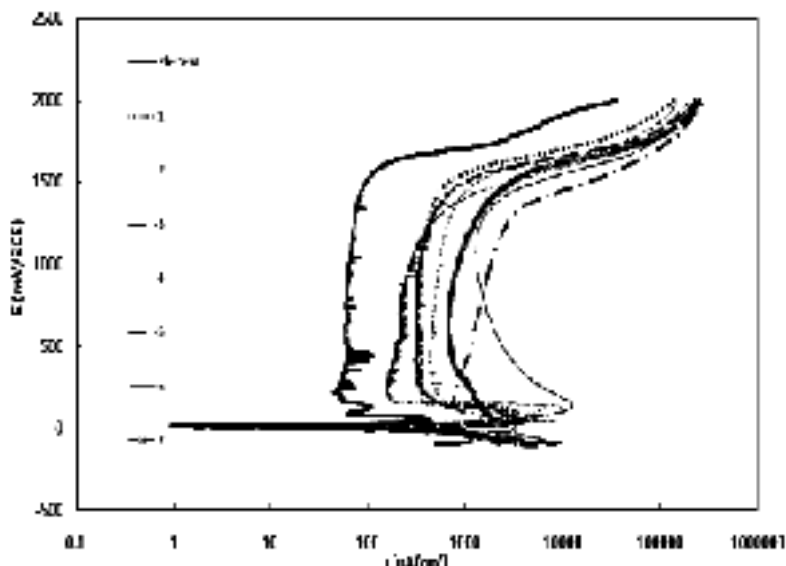
آلومینیوم آند شماره ۳ دانسته جریان پسیو و پتانسیل پسیو کمتری نسبت به آند شماره ۲ دارد. در اینجا نیز می‌توان به تفاوت تاثیر قلع و آلمینیوم در آند پی برد.

#### ۴-۳-بررسی های میکروسکوپی آند سرب-اکسید کبالت-قلع-آلومینیوم

به منظور بررسی توزیع عناصر و تخلخل های موجود در آند سرب-اکسید کبالت-قلع-آلومینیوم، آنالیز نقشه ای این آند گرفته شد. تصاویر در شکل ۷ قابل رویت است.

► با افزایش میزان اکسید کبالت در نمونه های سرب-اکسید کبالت-قلع-آلومینیوم مقاومت به خوردگی کاهش یافته است و دقیقاً عکس نتایج سرب-اکسید کبالت-آلومینیوم می باشد. همان طور که ملاحظه شد، آلمینیوم خواص مطلوبی در آند سرب-اکسید کبالت دارد. بنابراین می‌توان دلیل این واقعه را به علت حضور عنصر مخرب قلع در آند دانست.

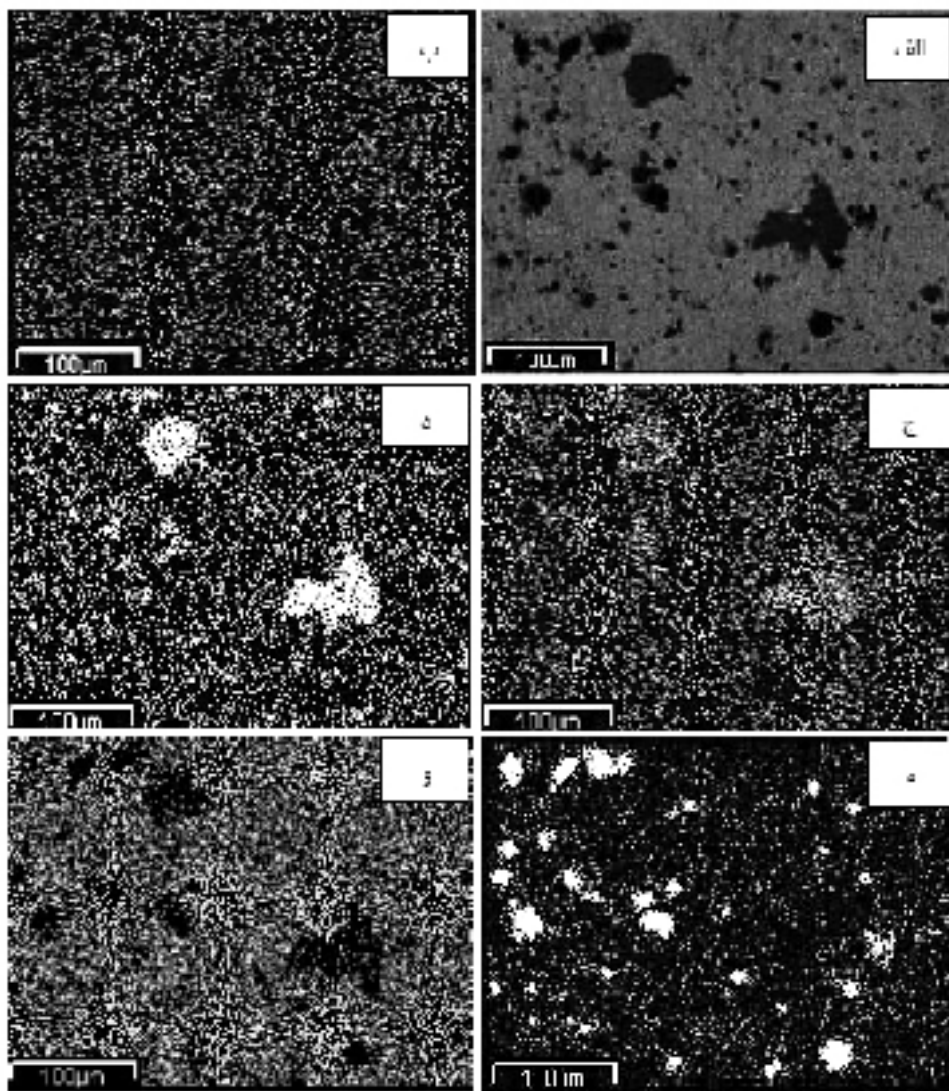
► نمونه های شماره ۲ و ۳ حاوی ۳٪ کبالت و آلمینیوم می‌باشند. در شرایط یکسان با کاهش قلع و افزایش درصد



شکل ۶: منحنی های پلاریزاسیون تاثیر افروden عنصر آلمینیوم یا مس به آند سرب-اکسید کبالت-قلع در شرایط مختلف.

جدول ۸: پارامترهای آزمایش خوردگی پتانسیوبدینامیک آند سرب-اکسید کبالت قلع-آلومینیوم (مس) در محلول الکترووینیتیک مس

$E-E_p$	$E_{corr}(\text{mV/SCE})$	$E_p(\text{mV/SCE})$	$i_p (\mu\text{A}/\text{cm}^2)$	$i_{crit} (\mu\text{A}/\text{cm}^2)$	شماره آند
۱۳۱۷	۰	۶۲	۳۸۶	۴۰۹۸	۱
۱۲۶۵	۵	۹۳	۶۰۴	۸۰۵۵	۲
۱۲۴۷	-۴	۵۷	۵۰۱	۱۸۵۴	۳
۱۱۴۸	-۴	۱۰۶	۱۹۲	۵۰۷۲	۴
۱۲۰۴	-۸	۲۹	۸۰۵	۳۴۱۱	۵
۱۰۱۳	۰	۱۳۳	۱۷۴۹	۱۱۳۶۹	۶
۱۳۲۶	-۲	۴۶	۸۱۵	۳۴۳۷	۷



شکل ۷: آنالیز نقشه‌ای آند سرب-اکسید کبالت (۱٪ آلمینیوم-۱٪ کبالت)-قلع (الف) سطح آند، (ب) قلع، (ج) اکسیزن، (د) کبالت، (e) آلمینیوم، (f) سرب.

کاهش تخلخل آند می‌شوند. در واقع علاوه بر نقش موثر هر یک از عناصر در تعیین رفتار خوردگی، بر میزان تخلخل آند نیز که مستقیماً بر خوردگی آن تاثیر می‌گذارد، تاثیر گذار است.

#### ۴- نتیجه گیری

► تحقیقات به عمل آمده نشان می‌دهد که می‌توان آندهای سه تایی و چهارتایی  $Pb-Co_3O_4$  حاوی مس، آلمینیوم و قلع را به روش متالورژی پودر تولید کرد.

آنالیز نقشه‌ای این آند نشان می‌دهد که قلع تقریباً به طور منظمی در آند پخش شده است، اما آلمینیوم این طور نیست و به طور تجمعی قرار دارند. مانند همه تصاویر پیشین اکسید کبالت نیز به خوبی پخش نشده است. اما در کل نسبت به آند سرب-اکسید کبالت-قلع تخلخل کمتر مشاهده می‌گردد. در نتیجه یکی از دلایل خوردگی کمتر آند سرب-اکسید کبالت-آلومینیوم-قلع را نسبت به آند سرب-اکسید کبالت-قلع علاوه بر اثر محافظتی آلمینیوم، در کاهش تخلخل می‌توان دانست. در کل هر چه تعداد عناصر در آند بیشتر شوند می‌توانند به منزله نقش پر کنندگی منجر به

۱۵٪ کبالت مقاومت به خوردگی بالاتری دارد. رفتار این آند به علت تشکیل اکسید محافظ آلمینیوم بر سطح الکترود می‌باشد. به وجود آمدن منطقه پسیو طولانی تر نسبت به عدم حضور آلمینیوم در آند، می‌تواند به خوبی این پدیده را توجیه کند.

﴿ افزودن مس به آند سرب-اکسید کبالت منجر به افزایش خوردگی در آند نسبت به عدم حضور آن در آند می‌شود. علت را می‌توان مانند قلع در عدم انحلال مس در آند دانست و در نتیجه سبب تشدید خوردگی آند می‌گردد.﴾

﴿ افزودن آلمینیوم به آند سرب-اکسید کبالت-قلع منجر به بهبود رفتار خوردگی این آند می‌شود. علت را می‌توان در به وجود آمدن اکسید آلمینیوم بر سطح آند دانست، زیرا از انحلال قلع در محلول جلوگیری می‌کند.﴾

﴿ افزودن مس به آند سرب-اکسید کبالت-قلع منجر به وخیم‌تر شدن رفتار خوردگی آند می‌شود که در نتیجه منجر به بالا رفتن پتانسیل سطحی و تشدید خوردگی می‌شود.﴾

﴿ نتایج نشان داد که افزودن قلع به آند سرب-اکسید کبالت در روش متالورژی پودر بر خلاف آند سرب-کلسیم-قلع تاثیر مطلوبی بر رفتار خوردگی این آند به جا نمی‌گذارد. علت را می‌توان به عدم انحلال قلع در آند به روش متالورژی پودر نسبت داد. در واقع قلع به صورت ذره در آند باقی می‌ماند و به علت اختلاف پتانسیل سبب تشدید خوردگی آند سرب-اکسید کبالت نسبت به عدم حضور این عنصر در ترکیب آند می‌شود. افزایش نرخ خوردگی با افزایش قلع و همچنین اکسید کبالت در آند موید دیگری بر صحبت گفته مذکور می‌باشد.﴾

﴿ افزودن آلمینیوم نتایج عکس قلع در آند سرب-اکسید کبالت به همراه داشت. با افزایش اکسید کبالت در حضور آلمینیوم منجر به بهبود مقاومت به خوردگی می‌شود؛ تا جایی که آند سرب-اکسید کبالت (۱۰٪ کبالت)-آلومینیوم به شدت نرخ خوردگی کاهش می‌یابد. این آند نسبت به آند سرب-کلسیم-قلع و حتی آند سرب-اکسید کبالت حاوی

## مراجع

1. M. Moats, K. Hardee, C. Brown Jr JOM, Mesh-on-lead anodes for copper electrowinning, Aqueous Electrometallurgy , ProQuest Science Journals, 2003, Pp. 46.
2. I. Ivanov, Y. Stefanov, Z. Noncheva, M. Petrova, Ts. Dobrev, L. Mirkova, R. Vermeersch, J.-P. Demaere, Insoluble anodes used in hydrometallurgy Part I. Corrosion resistance of lead and lead alloy anodes, Hydrometallurgy, Vol. 57, 2000, Pp. 109–124.
3. H. Li , W.X. Guoa , H.Y. Chena, D.E. Finlowc, H.W. Zhoud, C.L. Doud, G.M. Xiaod, S.G. Pengd, W.W. Weid, H. Wangd , Study on the microstructure and electrochemical properties of lead–calcium–tin–aluminum alloys, Journal of Power Sources , 2008.
4. A.T.Kuhn, The Electrochimistry of Lead, 1979.
5. A.Hrušanov, L.Mirkov and Ts. Dobrev, Electrochemical properties of Pb-Sb, Pb-Ca-Sn and Pb-Co<sub>3</sub>O<sub>4</sub> anodes in copper electrowinning, Electrochemistry, Vol. 32, 2002, Pp. 505-512.
6. D. Slavkov, B. S. Haran, B. N. Popov, F. Fleming, Effect of Sn and Ca doping on the corrosion of Pb anodes in lead acid batteries, Journal of Power Sources, Vol. 112, 2002, Pp. 199–208.
7. J. Xua, Xingbo Liu, X. Li, E. Barbero, C. Donga, Effect of Sn concentration on the corrosion resistance of Pb-Sn alloys in H<sub>2</sub>SO<sub>4</sub> solution, Journal of Power Sources, Vol. 155, 2006.
8. Y. B. Zhou, C. X. Yang, W. F. Zhou, H. T. Liu, Comparison of Pb-Sm-Sn and Pb-Ca-Sn alloys for the positive grids in a lead acid battery, Journal of Alloys and Compounds, Vol. 365, 2004, Pp. 108–111.

9. D.G. Li, G.S. Zhou, J. Zhang, M.S. Zheng, Investigation on characteristics of anodic film formed on PbCaSnCe alloy in sulfuric acid solution, *Electrochimica Acta*, Vol. 52, 2007, Pp. 2146–2152.
۱۰. نجمه لاری، مریم احتشام زاده، امیر صرافی، مسعود رضایی زاده، سهیل سروشیان، ساخت آند  $Pb-Co_3O_4$  به روش متالورژی پودر و ارزیابی رفتار خوردگی آن در مقایسه با آند Pb-Ca-Sn مجتمع مس سرچشم، دوازدهمین کنگره ملی خوردگی، دانشگاه صنعتی امیرکبیر، اردیبهشت ۱۳۹۰.

# روش‌های جدید تشخیص و شمارش باکتری‌های احیاکننده سولفات و ویژگی‌های فیزیولوژیک موثر در شناسایی آنها

روحانسری کرمانشاهی<sup>\*</sup>، طاهره قشقایی<sup>۲</sup>

<sup>۱</sup> استاد میکروبیولوژی، دانشکده علوم پایه، دانشگاه الزهراء (س)

<sup>۲</sup> دانشجوی کارشناسی ارشد میکروبیولوژی، دانشکده علوم پایه، دانشگاه الزهراء (س)

\*تویینده مسئول: rkasra@yahoo.com

تاریخ دریافت: ۱۳۹۰/۱۰/۱۳ تاریخ پذیرش: ۱۳۹۱/۰۲/۰۱

## چکیده

باکتری‌های احیاکننده سولفات (SRB)، باکتری‌هایی بی‌هوایی هستند که از سولفات به عنوان پذیرنده نهایی الکترون استفاده نموده و تولید  $H_2S$  می‌کنند. SRBs از نظر مشکلات شدیدی مانند ترش کردن ذخایر نفت و گاز و خوردگی میکروبی تجهیزات آن دارای اهمیت اقتصادی زیادی می‌باشند. بنابراین شناسایی و شمارش سریع آنها حائز اهمیت است. روش‌هایی که برای شناسایی SRBs استفاده می‌شود به دو دسته تقسیم می‌شوند: ۱- روش‌های شناسایی مستقیم. ۲- روش‌های کشت. روش‌های شناسایی مستقیم شامل روش‌های استفاده از پروب‌های الیگونوکلئوتیدی و پرایمرهای واکنش‌های زنجیره‌ای پلیمریاز (PCR: Polymerase Chain Reaction) FISH (Fluorescence In Situ Hybridization) باکتری‌ها در رسوبات، شناسایی و شمارش باکتری‌ها با روش PCR رقابتی (Competitive PCR) می‌شوند. روش‌های مولکولی (شناسایی مستقیم) روش‌های سریع و قابل اطمینانی می‌باشند، در حالی که روش‌های واپسنه به کشت در صورت داشتن وقت کافی مقرر به صرفه هستند. بنابراین مطالعه ویژگی‌های عمومی که در شناخت باکتری‌های احیاکننده سولفات موثر می‌باشد هنوز هم دارای اهمیت ویژه‌ای است.

**کلمات کلیدی:** باکتری‌های احیاکننده سولفات، روش‌های جدید تشخیص، ویژگی‌های فیزیولوژیک.

# New Methods for Detection and Enumeration of Sulfate Reducing Bacteria and Effective Physiologic Features in Detection of SRBs

Rouha- kasra Kermanshahi \*<sup>1</sup>, Tahereh Ghashghaei <sup>2</sup>

1. Professor, Faculty of basic Sciences, Alzahra university, Tehran  
2. M.Sc. student, Faculty of basic Sciences, Alzahra university, Tehran  
\* Corresponding Author: rkasra@yahoo.com

Submission: January 03, 2012      Acceptance: April 21, 2012

## Abstract

Sulfate reducing bacteria (SRB), are anaerobic bacteria that use sulfate as final electron acceptor and produce H<sub>2</sub>S. SRBs have great economic importance in the oil industry, where they cause severe problems, including sourting of oil and gas deposits and corrosion of production facilities. Considerable effects have been directed toward the development of rapid methods for detection and enumeration of SRB in natural and industrial environments. In general, the methods used to enumeration SRB can be divided into the following two categories. 1) direct detection methods. 2) culture methods. The direct detection methods developed recently include: 1) the use of oligonucleotide probes and PCR primer. 2) FISH method for detection and enumeration of bacteria in sediments, 3) detection and enumeration of bacteria by competitive PCR. Molecular methods are rapid and trust worthy but in the case of having enough time, culture methods are cheaper and save money. So, Studing of general features that are effective on detection of SRBs are still important.

**Keywords:** Sulfate reducing bacteria, new methods, physiologic features.

## ۱- مقدمه

- ۲- روش FISH<sup>۴</sup> برای آشکارسازی و شمارش باکتری‌ها در رسوبات. [۱۱، ۹، ۸، ۳]
- ۳- استفاده از پروب‌های الیگونوکلئوتید و پرایمرهای PCR<sup>۰</sup> برای شیرابه محل دفن زباله‌ها<sup>۷</sup> جهت شناسایی باکتری‌های SRB [۱۳، ۱۴، ۱۵]
- ۴- شناسایی و شمارش باکتری‌ها در رسوبات ساحلی با کمک PCR رقابتی<sup>۷</sup> [۱۶، ۱۷، ۱۸]

## ۲- شرح روش‌ها

- ۱- شناسایی SRBs با استفاده از پرایمرهایی که قطعات ژنی 16SrRNA را در رسوبات عمیق دریا مورد هدف قرار می‌دهند

جمعیت باکتریایی احیاکننده سولفات در رسوبات عمیق حوضچه گرم آرام غربی<sup>۸</sup> توسط آنالیزهای فیلوجنتیک 16SrRNA مولکولی با استفاده از پرایمرهایی که قطعه ژنی 16SrRNA را مورد هدف قرار می‌دهند، بررسی شد. کتابخانه ژنی 16SrRNA ویژه از ۵ لایه رسوب از ۱۲ سانتی‌متری WPO ساخته شد. کلون‌ها در ۵ کتابخانه از طریق چندشکلی بودن طول قطعات محدود شونده<sup>۹</sup> تمایز داده شدند.

نحوه شناسایی: پرایمرهای آلفاپروتئوباکتر استفاده شدند، مربوط به SRB های آلفاپروتئوباکتر استفاده شدند،

<sup>4</sup> Fluorescence in situ hybridization

<sup>۵</sup>- به طور کلی Polymerase Chain Reaction (PCR) به روش از دیاد مقادیر جزیی DNA تا حد مشاهده آنها توسط روش‌های ساده و رایج آزمایشگاهی اطلاق می‌شود.

<sup>6</sup> Land fill leachate

۷- در این روش علاوه بر DNA هدف، کنترل داخلی هم وجود دارد. کنترل داخلی یک توالی، یک توالی DNA غیر هدف است که از طریق تکنیک ترکیب پرایم (composit primer) توالی پرایمی مشترک با DNA هدف در دو طرف کنترل داخلی قرار می‌گیرند و این امکان را فراهم می‌آورند که هر دو قطعه DNA تحت شرایط یکسان در یک مخلوط واکنش تکثیریابند. در این روش همواره رقابتی بین قطعه هدف و کنترل داخلی ایجاد می‌شود و زمانی که تعداد نسخه‌های این دو قطعه برابر باشند، تقریباً تکثیر یکسانی هم خواهد داشت، این ویژگی در حقیقت اساس روش نیمه کمی competitive PCR است.

<sup>8</sup> WPO: West Pacific Warm Pool

<sup>۹</sup> RFLP: Restriction Fragment Length Polymorphism

باکتری‌های احیا کننده سولفات (SRBs) گروه متنوعی از باکتری‌های بی‌هوازی هستند که توانایی استفاده از سولفات را به عنوان پذیرنده نهایی الکترون دارند و به همراه آن H<sub>2</sub>S تولید می‌نمایند.

باکتری‌های احیا کننده سولفات از موارد با اهمیت اکولوژیکی در معدنی کردن مواد آلی در محیط‌های بی‌هوازی هستند. برای مثال در رسوبات دریایی بیش از ۵۰٪ مواد آلی ممکن است به وسیله احیاء سولفات اکسید شوند. در برخی محیط‌ها با میزان پایین سولفات، مثل دریاچه‌های آب شیرین، احیاء سولفاتی باکتری‌ها ممکن است هنوز در فرایندهای معدنی کردن مهم باشد.

SRBs اهمیت اقتصادی مهمی در صنعت نفت دارند، جایی که آنها سبب مشکلات شدیدی از جمله ترش کردن ذخایر نفت و گاز و خوردگی تجهیزات می‌شوند.

تلاش‌های زیادی در جهت توسعه روش‌های قابل اعتماد و سریع برای شمارش و شناسایی SRBs در محیط‌های طبیعی و صنعتی انجام شده است. به طور کلی روش‌هایی که برای شمارش SRBs استفاده می‌شود، به دو دسته تقسیم می‌شوند:

- ۱- روش‌های شناسایی مستقیم
- ۲- روش‌های کشت.

روش‌های کشت برای شمارش SRBs بر اساس روش محتمل‌ترین تعداد<sup>۱</sup> به طور وسیعی برای چندین دهه استفاده شده است [۱۰، ۱۱]. روش‌های جدید شمارش و شناسایی باکتری‌های SRB شامل موارد زیر می‌باشد:

- ۱- استفاده از پرایمرهایی<sup>۲</sup> که قطعات ژنی 16SrRNA را مورد هدف قرار می‌دهند، که برای شناسایی باکتری‌های SRB به کار می‌روند [۳، ۴، ۵، ۶ و ۷].

<sup>۱</sup> Most Probable Number: MPN

<sup>۲</sup>- پرایم قطعه‌ای از DNA می‌باشد که مکمل قسمتی از DNA نک رشته‌ای است و می‌تواند به آن متصل شود تا آنزیم DNA پلیمراز بتواند کار تکثیر DNA را آغاز نماید.

<sup>۳</sup>- 16SrRNA: بخشی از ترکیب زیر واحد 30S ریبوزوم پروکاریوتی است.

بخشی از آن از میان فیلترهای پلی کربناتی ۰/۲ میکرومolar عبور داده شدن و نمونه‌های حاصل برای روش FISH مورد استفاده قرار گرفتند. برای دو رگه سازی پروب‌های زیر مورد استفاده واقع شدن: پروب EUB338 که برای قلمرو باکتریایی اختصاصی می‌باشد، پروب SRB385 که برای اکثر اعضای SRBs اختصاصی است، پروب DMF228 که برای گروه دسولفوتوماکولوم اختصاصی است. پروب‌های الیگونوکلئوتید سنتز شدن و با کربوکسی فلورسین نشان‌دار شدن، سپس نمونه‌ها بعد از اثر دادن با پروب‌ها زیر میکروسکوپ اپی‌فلورسنت بررسی و شمارش شدند. تنها بخش کوچکی از جمعیت باکتریایی را تشکیل می‌دهند ۳/۴۰-۱/۹۵ درصد) و بالاترین میزان را در لایه ۳ سانتی‌متری (۱/۹۵٪) داشتند و یک تمایل کاهش وابسته به عمق را در طول هسته ۱۲ سانتی‌متری دارا بودند. حضور SRBs سیگما پروتوبیاکتر در رسوبات عمیق دریا به وسیله روش FISH با استفاده از پروب‌های الیگونوکلئوتیدی ویژه SRB385 یعنی SRB مشخص و تأیید شد.

تعداد کل سولولی طیفی را از تقریباً  $10^6$  تا حدود  $10^7$  سلول بر گرم را در بر گرفت. درصد تعداد باکتریایی در شمارش سولولی از ۶۰٪ در لایه سطحی تا ۲۰٪ در لایه انتهایی کاهش یافت. نتایج نشان دادند که محتوی SRB نسبتاً پایین است و بخش کوچکی از جمعیت باکتریایی را داد که SRBs در هسته WPO میله‌ای-کوکسی بودند و آنها به طور جداگانه در رسوبات توزیع شدن، بدون اینکه تجمعاتی مشاهده شوند.

### ۲-۳-روش توسعه پروب‌های<sup>۳</sup> الیگونوکلئوتیدی و پرایمروهای PCR برای شناسایی زیر گروه‌های فیلوژنیکی باکتری‌های احیاکننده سولفات

دسته‌های پرایمرو PCR برای ژن 16SrRNA مربوط به شش گروه باکتریایی احیا کننده سولفات طراحی و به منظور

<sup>۴</sup>-پروب عبارتست از قطعه‌ای از DNA که نشاندار شده و برای جستجوی توالی خاصی از DNA به کار می‌رود.

که PCR را با استفاده از الگوهای DNA حاصل از رسوبات WPO انجام دهن. جفت پرایمروهای SRB385F-907R برای تکثیر ژن 16SrRNA مربوط به SRB استفاده شدند. محصولات PCR در حامل یا وکتور<sup>۱</sup> مورد نظر T PMD-18T ۱۸T کلون شدن و مخلوط اتصال (Ligation) برای ترانسفورم<sup>۲</sup> سلول‌های مستعد اشريشیاکلی (Ecoli) استفاده شدند. قطعات الحاقی کلون‌ها تکثیر شدن و توسط رسوب‌دهی با اتانول خالص شدند. سپس قطعات برای ۸ ساعت یا بیشتر در دمای ۳۷ درجه سانتی‌گراد با آنزیم محدود کننده<sup>۳</sup> Mspl هضم شدند. نتایج واکنش با الکتروفورز روی ژل آگاروز ۰.۵٪ حاوی اتیدیوم بروماید مشخص شد. کلون‌های نماینده با الگوی RFLP متفاوت از هر کدام از کتابخانه‌ها برای توالی یابی انتخاب شدند. این نکته استباط شد که کلون‌ها در چهار گروه که بسیار نزدیک به دسولفوتوماکولوم، دسولفاسینیوم، دسولفومونیل و دسولفانیوتیکوس بودند قرار داشتند.

## ۲-۲-روش FISH برای شناسایی و شمارش باکتری‌های احیا کننده سولفات

هیریداسیون درجای فلورسنت (FISH) نیز برای ۵ لایه رسوب حوضچه گرم آرام غربی جهت آشکارسازی و شمارش SRBs استفاده شد. در این روش نمونه‌های رسوبات برای ۸ ساعت با فرمالدھید ۴٪ تثیت شدن و دوبار با (100m mol<sup>-1</sup> NaCl, 10m mol<sup>-1</sup> Na<sub>3</sub>PO<sub>4</sub>) (Phosphate buffered saline) PBS شسته شدن و سرانجام در (EtOH) ۱:۱ در دمای -۲۰ درجه سانتی گراد نگهداری شدند. نمونه‌های ذخیره شده رقیق شدن و توسط روش فراصوت ملایم برای ۳۰-۲۰ ثانیه تیمار شدند.

۱- حامل (بردار، وکتور): قطعه‌ای از DNA است که دارای مبدأ همانندسازی مستقل است و می‌تواند قطعه DNA مورد نظر ما را به درون سلول میزان هدف حمل کند.

۲- ترانسفورم کردن سلول‌های مستعد به معنی انتقال DNA خارجی به درون سلول‌های مستعد می‌باشد.

۳- آنزیم‌های محدود کننده آنزیم‌هایی هستند که توالی خاصی از DNA را شناسایی می‌کنند و بر Shi در آن ایجاد می‌نمایند. هر گونه تغییر در جایگاه برش آنها مانع برش شده و در نتیجه طول قطعه ایجاد شده تغییر می‌یابد.

سیمیلاتوری سولفید ردوکتاز<sup>۴</sup> طراحی شده است و تکثیر PCR با استفاده از دسته منفرد پرایمرهای ویژه (DSR) که محصولات PCR را با اندازه‌های مورد انتظار ایجاد می‌کند، انجام می‌گردد. نتایج نشان دادند که PCR با استفاده از پرایمرهای جدید طراحی شده برای شناسایی انتخابی SRB از یک نمونه طبیعی مفید است. این نوع پرایمر برای تخمين تعداد سلول‌ها با روش PCR رقابتی به کار برده می‌شود. در این روش از یک رقیب استفاده شده است که حدود ۲۰٪ کوتاه‌تر از ناحیه طراحی شده DSR می‌باشد.

این روش برای نمونه‌های ورودی رودخانه کولن به همراه اندازه‌گیری همزمان میزان احیای سولفات استفاده شده است. تراکم بالای SRB که طیفی را از  $۰/۰\text{--}۱\text{x}^{۰/۵}$  سلول بر میلی‌لیتر رسوبات در بر می‌گیرد. با استفاده از PCR رقابتی تخمين زده شد. در این روش فرض بر این است که همه SRBs یک نسخه منفرد از DSR را دارند. با استفاده از این تخمين میزان احیای سولفات ویژه از  $۱۰^{-۱۷}\text{--}۱۰^{-۱۵}$  مول  $\text{SO}_4^{2-}$  بر سلول بر روز تخمين زده شد. نتایج نشان دادند که PCR رقابتی ابزار قدرتمندی برای تخمين سریع تعداد SRBs در محل است و برتر از روش‌های وابسته به کشت می‌باشد. با این حال در صورتی که شرایط برای شناسایی این باکتری‌ها فراهم نباشد، می‌توان با استفاده از روش‌های دیگری که در ادامه بحث خواهد آمد آنها را شناسایی کرد.

### ۳- ویژگی‌های فیزیولوژیک مؤثر در شناسایی باکتری‌های احیا کننده سولفات

#### ۱- تعریف باکتری‌های SRB بر اساس خصوصیات فیزیولوژیک آنها

SRBs دسته یا گروهی از باکتری‌های چند شکلی و بی‌هوایی مطلق بوده که از لحاظ واکنش گرم، جزء باکتری‌های حقیقی گرم منفی هستند. این نوع باکتری بیش از دو میلیارد سال است که در کره زمین زندگی می‌کند. امروزه نیز در کلیه خاک‌ها و آب‌های آلوده و دریاها به وفور یافت می‌شوند و از سولفات یا دیگر ترکیبات اکسید شده

شناسایی SRBs در نمونه‌های محل دفن زباله‌ها استفاده شدن. شش گروه generic/subgeneric متمایز گردید، که شامل دسولفوتماکولوم، دسولفوکوکوس- دسولفوپاکتریوم، دسولفوپاکتر، دسولفوکوکوس- دسولفونما- دسولفوسارسینا، دسولفو ویبریو- دسولفومیکروبیوم بودند. ویژگی‌های پیش‌بینی شده ترکیبات پرایمرهای PCR و پروب‌های الیگونوکلئوتیدی با DNA مربوط به سویه‌های مرجع تأیید شد. دستورالعمل landfill PCR مستقیم و nested PCR<sup>۱</sup> برای 16SrRNA استفاده شد. سه تا از گروه SRBs توانستند با استفاده از PCR مستقیم شناسایی شوند (دسولفوتماکولوم، دسولفوپاکتر، دسولفوکوکوس- دسولفونما- دسولفوسارسینا) زمانی که nested PCR استفاده شد دو گروه دیگر هم شناسایی شدند (دسولفوبولبوس، دسولفو ویبریو- دسولفومیکروبیوم). تنها دسولفوپاکتریوم نتوانست در نمونه‌های محل دفن زباله‌ها با استفاده از PCR مستقیم و nested PCR شناسایی شود.

### ۴-۲- شناسایی و شمارش باکتری‌های احیا کننده سولفات در رسوبات به وسیله PCR رقابتی

توزیع باکتری‌های احیاکننده سولفات در رسوبات ورودی رودخانه کولن<sup>۲</sup> در انگلیس که غلظت‌های نمکی متفاوتی را در بر می‌گیرد به وسیله PCR رقابتی<sup>۳</sup> بررسی شد. در این جا یک دسته پرایمر جدید و روش کمی که از PCR استفاده می‌کند بررسی می‌گردد. یک دسته پرایمر برای ژن دیس

۱- در این روش ابتدا یک جفت پرایمر ناحیه خارجی منطقه هدف را تکثیر می‌کند، سپس یک جفت پرایمر برای تکثیر ناحیه داخلی تر (هدف) استفاده می‌شود به این ترتیب از تکثیر غیر اختصاصی معانعت می‌شود.

<sup>2</sup> Coln

۳- در این روش علاوه بر DNA هدف، کترل داخلی هم وجود دارد. کترل داخلی یک توالی، یک توالی DNA غیر هدف است که از طریق تکیک ترکیب پرایمر (composite primer) توالی پرایمری مشترک با DNA هدف در دو طرف کترل داخلی قرار می‌گیرند و این امکان را فراهم می‌آورند که هر دو قطعه‌ی DNA تحت شرایط یکسان در یک مخلوط واکنش تکثیر یابند. در این روش همواره رقابتی بین قطعه هدف و کترول داخلی ایجاد می‌شود و زمانی که تعداد نسخه‌های این دو قطعه برابر باشند، تقریباً تکثیر یکسانی هم خواهد داشت، این ویژگی در حقیقت اساس روش نیمه کمی competitive PCR است.

انجام می‌دهند، در این دسته جنس دسولفوروomonas<sup>۱</sup> وجود دارد.

۱) باکتری‌هایی که قادر به احیا جذبی سولفات می‌باشند: سولفیت، تیوسولفات و یا دیگر ترکیبات اکسید شده سولفوری به عنوان پذیرنده الکترون می‌باشد، این باکتری‌ها به نام باکتری‌های احیاکننده جذبی سولفات معروفند [۲۱]. ۲) بر اساس ویژگی‌های فیزیولوژیک به گروه‌های زیر تقسیم می‌شود:

الف) در این گروه سلول‌ها آزاد بوده و به صورت تک، جفت یا به صورت زنجیره‌ای وجود دارند. این گروه بر اساس برخی خصوصیات فیزیولوژیک به صورت زیر طبقه‌بندی می‌شوند (جدول ۱).

ب) در این دسته سلول‌ها به شکل سارسینایی می‌باشند و برخی اوقات اشکال نامنظم دیده می‌شود. اشکال کوکسی و یا بیضوی شکل تکی نیز که غالب تحرک هم دارند دیده می‌شوند و اکسیداسیون کامل اسیدهای چرب و یا بتروات وجود دارد، جنس شاخص این گروه دسولفوسارسینا<sup>۲</sup> است.

ج) سلول‌ها به صورت دسته‌های چندسلولی و نیز رشته‌ای قابل انعطاف با حرکت خزنده وجود دارد، اکسیداسیون کامل اسیدهای چرب وجود دارد، جنس شاخص این گروه دسولفونما<sup>۳</sup> است.

## ۵- ویژگی‌های مختلف کاربردی در شناسایی گونه‌های مختلف باکتری‌های احیاکننده سولفور و سولفات

الف- جنس دسولفوروomonas: روش شناسایی و افتراق این جنس از دیگر باکتری‌های احیاکننده دفعی سولفور بر اساس واکنش‌های فیزیولوژیکی استوار است. خصوصیات اصلی ویژه این جنس توانایی آنها در رشد بر روی استات به عنوان تنها منبع آلی کربنی است. در این حالت استات با تنفس بی‌هوایی به دی اکسید کربن تبدیل شده و از طرف دیگر سولفور به سولفید احیا می‌شود.

سولفور و یا سولفور عنصری به عنوان منبع الکترون استفاده کرده و با احیای این ترکیبات موجب تولید سولفید هیدروژن می‌شوند. در برخی گونه‌ها متابولیسم تخمیری نیز امکان دارد با این حال کربوهیدرات‌ها به ندرت تجزیه می‌شوند [۲۱].

## ۳-۲- ویژگی‌های عمومی در شناخت SRBs

بسیاری از گونه‌های این گروه (SRBs) دارای خصوصیات زیر می‌باشد [۲۱]:

الف) وجود سیتوکرم C و یا سیتوکروم b  
ب) وجود آنزیم سولفیت ردوکتاز، دسولفوویریدین و دسولفوروویدین  
ج) در بسیاری از گونه‌ها هیدروژنаз وجود دارد.  
د) احیای نیترات به آمونیوم در بسیاری از سویه‌ها منفی است لیکن در برخی سویه‌ها وجود دارد.  
ه) برخی از سویه‌ها دارای توانایی ثبیت نیتروژن می‌باشد که در جadasازی آن‌ها اهمیت دارد.  
و) جنس‌ها و گونه‌های مختلف SRB با توجه به الگوی مصرف ترکیبات آلی متفاوت بوده و بر این اساس دو دسته وجود دارد:

(ا) بسیاری از گونه‌ها با مصرف غیر کامل (ناتمام) ترکیبات آلی نظیر لاکتان آنها را به استات و دی اکسید کربن تبدیل می‌نمایند.  
(ب) برخی گونه‌ها با اکسیداسیون کامل استات و ترکیبات آلی دیگر آنها را به دی اکسید کربن تبدیل می‌نمایند.  
(ز) درصد مولی GC برای DNA مابین ۶۷-۳۷٪ متفاوت است.

## ۴- روش‌های اساسی در شناخت باکتری‌های احیاکننده سولفات و یا سولفور

(ا) باکتری‌هایی که قادر به اکسیداسیون کامل استات به دی اکسید کربن می‌باشند:

این باکتری‌ها از سولفور به عنوان پذیرنده الکترون استفاده می‌نمایند، سولفات به هیچ عنوان احیا نمی‌شود. این گروه از باکتری‌ها جزء باکتری‌های هستند که احیا جذبی سولفور را

<sup>1</sup> Desulfuromonas sp.

<sup>2</sup> Desulfosarcina

<sup>3</sup> Desulfonema

جدول ۱: مشخصات اصلی برخی جنس‌های باکتری‌های احیاء کننده سولفات [۲۱]

جنس شاخص	تولید اسپور	خصوصیات فیزیولوژیک	شكل سلولی	گروه
Desulfovibrio	ندارد	اکسیداسیون ناتمام لاکتانت به استات و $\text{CO}_2$ برخی گونه‌ها اسیدهای چرب را به صورت کامل اکسید می‌نمایند.	میله‌ای - مارپیچی، ویبریونی و فنری	گروه ۱
Desulfomonas	ندارد	اکسیداسیون ناتمام لاکتانت یا پیروات به استات $\text{CO}_2$ و	میله‌ای و صاف و غیرمتحرک	گروه ۲
Desulfococcus	ندارد	اکسیداسیون کامل اسیدهای چرب یا بنتروات	کروی (تحت تمام شرایط)	گروه ۳
Desulfobacter	ندارد	اکسیداسیون کامل استات به $\text{CO}_2$ ، رشد در آب دریا بهتر صورت می‌گیرد.	بیضوی تا میله‌ای با انتهای گرد و گaha کوکوسی	گروه ۴
Desulfobulbus	ندارد	اکسیداسیون ناکامل پروپیونات یا لاکتانت به استات و $\text{CO}_2$	بیضوی، اغلب به شکل لیمو با انتهای مشخص و تیز	گروه ۵
Desulfotomaculum	دارد	-	باسیلی صاف تا کمی خمیده با انتهای مشخص و تیز	گروه ۶

- (III) تحرک با تازه جانبی.  
 ب) جنس دسولفوفیبریو  
 ا) ویژگی‌های مورفو‌لوزیک: شکل خمیده و تحرک بسیار زیاد از جمله خصوصیات منحصر به فرد است.  
 II) عدم مقاومت گرمایی به صورتی که در دمای ۱۰۰ درجه سانتی‌گراد پس از ۵ دقیقه از بین می‌رود. این خاصیت موجب شناسایی و افتراق آن نسبت به گونه‌های جنس دسولفوتوماکولوم می‌گردد.  
 III) تست دسولفوفیبریدین برای اکثر گونه‌ها مثبت است.  
 روش انجام تست: سوپاپانیون سلولی را با چند قطره سود ۲N آغشته کرده و به سرعت در مجاورت نور با طول موج ۳۶۵nm قرارمی‌دهند، مشاهده فلورسنس قرمز نشانه حضور این جنس است.  
 سه ویژگی فوق اکثر سویه‌های این جنس را از سویه‌های جنس دسولفوباکتر، دسولفوكوکوس، دسولفوسارسینا و دسولفوفبوس مجزا می‌سازد [۲۱].  
 ج) جنس دسولفوموناس  
 ا) عدم وجود مقاومت حرارتی

گیرنده الکترون: جنس دسولفوموناس قادر به استفاده از سولفات، تیوسولفات و سولفیت به عنوان منبع گیرنده الکترون نیست. این ویژگی در شناسایی و افتراق این جنس با گونه‌های اکسیدکننده استات و احیاکننده سولفات (SRB) نظری گونه‌های دسولفوتوماکولوم و دسولفوباکتر از اهمیت خاص و منحصر به فردی برخوردار است [۲۱]. توانایی استفاده از سولفور و تبدیل آن به  $\text{H}_2\text{S}$  از جمله ویژگی‌های جنس‌های کامپیلو باکتر، واپلونلا و برخی SRBs مربوط به جنس دسولفوفیبریو است، لیکن جنس‌های ذکر شده هیچ کدام قادر به اکسیداسیون استات به  $\text{CO}_2$  نیستند و برای احیای سولفور نیاز به فومارات و یا هیدروژن دارند. برخلاف اکثر باکتری‌های احیاکننده دفعی سولفور که میله‌ای شکل می‌باشند. اکثر سویه‌های جنس دسولفوموناس بیضوی بوده و دارای حرکت با تازه جانبی یا نیمه قطبی هستند [۲۱]. بر اساس مطالعات فوق سه ویژگی جنس دسولفوموناس عامل افتراق آن است:

- ا) قدرت رشد تحت شرایط بی‌هوایی بر روی استات.  
 II) عدم توانایی استفاده از سولفات و تیوسولفات و سولفیت به عنوان منبع گیرنده الکترون.

یافته و رشد تسهیل می‌گردد. در محیط کشت SRBS اغلب از نمک‌های آهن به عنوان نوعی نشان‌گر (اندیکاتور) جهت درک احیای سولفات استفاده می‌شود. در صورتی که سولفات احیا شود و به سولفید تبدیل شود در طی واکنش بایون‌های آهن تولید سولفید آهن سیاه رنگ می‌کند که نشانه رشد این باکتری هاست [۲۶]. برخی از میکرووارگانیسم‌ها و SRBS بر اثر تولید بیوفیلم سبب خوردگی میکروبی می‌شوند [۲۹].

## -۸- روش‌های کاهش پتانسیل اکسیداسیون و احیای محیط

(۱) استفاده از نمک  $\text{Na}_2\text{S}$  به غلظت یک میلی‌متر در محیط کشت: استفاده از نمک  $\text{Na}_2\text{S}$  خالص با غلظت  $1\text{mM}$  می‌تواند میزان پتانسیل اکسید و احیا را تا حدی کاهش دهد، لیکن در صورتی که سویه‌ها نسبت به اکسیژن حساس‌تر باشند این روش کارایی ندارد. در ضمن افزایش بیش از حد (بیش از  $1\text{mM}$ ) موجب سیاه شدن محیط کشت می‌گردد که متعاقب آن تشخیص با مشکل مواجه می‌شود [۲۲].

(۲) استفاده از نمک تیوگلیکولات سدیم و یا تیولاکتات با غلظت  $1\text{mM}$ : این روش نیز کارایی زیادی در کاهش نفوذ اکسیژن دارد، لیکن هنگامی که مخلوط تیوگلیکولات سدیم ( $1\text{mM}$ ) همراه با آسکوربات ( $1\text{mM}$ ) استفاده شود، نتایج بهتری به دست می‌آید [۲۳ و ۲۴].

(۳) استفاده از نمک تازه سدیم دی‌تیونیت: از جمله معایب این روش اشکال در استریل شدن کامل نمک سدیم دی‌تیونیت است.

(۴) استفاده از روش آگار مخلوط<sup>۱</sup>: در این روش از کشت جامد جهت جداسازی غنی‌سازی استفاده می‌شود. این روش مزایا و معایبی دارد، لیکن از هر جهت برای به دست آوردن کلنی‌های جداسازی شده و خالص مناسب است. اغلب از روش آگار مخلوط معمولاً پس از غنی‌سازی نمونه‌ها (به یکی از سه روش قبلی) جهت تفکیک سویه‌ها استفاده می‌شود.

(۵) عدم توانایی در استفاده از چربی مونوکربوکسیلیک به عنوان منبع الکترونی

(۶) عدم تحرک

(۷) جنس دسولفوکوکوس

(۸) شکل کوکوئیدی

(۹) توانایی رشد بر روی بنزووات به عنوان منبع کربن، سویه‌های دسولفوسارسینا نیز این توانایی را دارند، اما شکل این سویه‌ها در محیط حاوی آگار به صورت سارسینایی است [۲۲]. همان‌طور که در قسمت‌های قبلی توضیح داده شد اغلب سویه‌های جدادشده از خوردگی‌های آهن و یا آلیاژ‌های مربوط به جنس دسولفوویریو است، بنابراین روش غنی‌سازی این جنس به صورت مفصل مورد بحث قرار می‌گیرد.

## ۶- غنی‌سازی جنس‌های مختلف SRBS

به منظور غنی‌سازی و سپس کشت هر کدام از جنس‌های باکتری‌های احیاکننده سولفات روش‌ها و الگوهای مختلف وجود دارد. این روش‌ها در اصل بر پایه خواص فیزیولوژیکی است که در قسمت‌های قبلی ذکر شد [۲۱ و ۲۲]. به طور کلی برای هر جنس محیط کشت حاوی کلیه نمک‌های معدنی مورد نیاز، سولفات و منع کربن مناسب است. در صورتی که pH محیط و شرایط پتانسیل اکسیداسیون و احیا به طور صحیح تنظیم شود رشد SRBS به سهولت به دست می‌آید [۲۳].

## ۷- جداسازی و غنی‌سازی جنس دسولفوویریو

همان‌طور که در قسمت‌های قبلی توضیح داده شده است این جنس از احیاکننده‌های سولفات در اکثر خوردگی‌های میکروبی حاصل از SRBS حضور دارد و به عنوان مثال در لوله‌های انتقال آب سیستم خنک کننده آب صنعتی و خط تولید کارخانه قند نیز گزارش گردیده است [۲۵]. برای کشت و غنی‌سازی این جنس، نیاز به پتانسیل اکسیداسیون و احیا به نسبت پایین در حدود  $150\text{ mV}$  است. تحت این شرایط نفوذ اکسیژن به درون محیط کشت به شدت کاهش

<sup>۱</sup> Shake agar

وارد محیط کشت می‌گردد. پس از ۵-۶ روز کلنی‌های سیاه حاصل از رشد جنس دسولفوبیریو در لوله‌هایی که دارای رقت کمتر است، دیده می‌شود [۲۸]. امکان دارد کلنی‌های دیگری به رنگ‌ها و اشکال دیگری به غیر از سیاه-خاکستری دیده شود که اهمیتی از لحاظ تشخیص SRB ندارد و از آنها چشم پوشی می‌گردد. پس از گذشت مدت زمان لازم جهت گرمخانه گذاری برای جداسازی کلنی‌ها می‌توان لوله آزمایش را به صورت استریل درون یک پلیت استریل شکست و با استفاده از پیپت پاستور کلنی را جداسازی و برای مراحل بعدی استفاده کرد. قبل از وارد شدن به مراحل بعدی برای اطمینان از خالص بودن کشت، کلنی‌ها درون سرم فیزیولوژیک استریل حل شده و با استفاده از میکروسکوپ خالص بودن کشت بررسی شود. پس از اطمینان از کشت خالص سلول‌ها به محیط B (جدول ۲) با  $\text{Na}_2\text{S}$  اضافه می‌شود [۲۲ و ۳۰].

## ۱۱- نتیجه گیری

با توجه به اینکه SRBS باکتری‌هایی کند رشد هستند، شناسایی سریع آنها با روش‌های مولکولی می‌تواند بسیار مفید واقع شود. روش‌های مولکولی نیاز به صرف وقت زیادی ندارد از این جهت مناسب هستند. روش FISH روش دقیق و نسبتاً سریعی برای شمارش و شناسایی SRBS است اما تنها مشکل آن هزینه بالای انجام آن می‌باشد. در میان روش‌های مولکولی روش‌های تکثیر با PCR روش‌های متداول هستند. روش‌های PCR با پرایمرهای 16srRNA برای تشخیص باکتری‌های SRB راه دقیق و سریعی است. البته در برخی روش‌های مولکولی مثل Competitive PCR که برای تعیین کمی باکتری‌ها استفاده می‌شود گاهی نتیجه حاصله دقیق نمی‌باشد و در نتیجه برای بدست آوردن نتیجه دقیق تر می‌توان از روش‌های وابسته به کشت مثل MPN استفاده کرد و نیز برای شناسایی از محیط کشت‌ها و خصوصیات فیزیولوژیک مطالعه شده استفاده نمود.

## ۹- نحوه کشت به روش آگار مخلوط

برای کشت از لوله‌های دریچه دار به طول حداقل ۲۰ سانتی‌متر استفاده می‌شود. قطر لوله‌ها اهمیت چندانی ندارد ولی لوله‌های با درب قابل اتوکلاو توصیه می‌شود. بر طبق این روش پس از اضافه کردن عناصر اصلی محیط کشت به محیط، در حد ۱۰/۸٪ آگار خالص اضافه می‌شود، سپس محلول حاصل اتوکلاو شده و پس از اتوکلاو تا دمای ۴۵-۵۰ درجه سانتی‌گراد سرد می‌شود. در همین حین نمونه‌های حاوی باکتری با رقت‌های مختلف به محلول فوق اضافه شده و به آرامی تکان داده می‌شود تا به طور کامل محلول شود و سپس درب لوله را بسته و انکوباسیون در دمای ۲۵-۳۰ درجه سانتی‌گراد انجام می‌گیرد. پس از طی شدن مدت زمان لازم، کلنی سیاه-خاکستری موجود در عمق محیط کشت نشانه رشد است؛ نکته اصلی در کشت به روش آگار مخلوط نیاز به درجه خلوص بالا از آگار است و همچنین برای این که بتوان حداکثر تفکیک را در کلنی‌ها ایجاد کرد نیاز به ساخت رقت‌های مختلف از نمونه غنی شده است.

## ۱۰- روش جداسازی جنس دسولفوبیریو

روش‌های مختلفی با ترکیبات مختلف جهت جداسازی باکتری‌های جنس دسولفوبیریو موجود است که در این میان از سه محیط کشت زیر بیشتر استفاده شده است (جدول ۲). روش عمومی جهت جداسازی باکتری‌های جنس دسولفوبیریو استفاده از محیط کشت B است. طبق این روش یک محلول پایه شامل کلیه ترکیبات محیط B ساخته می‌شود، سپس ۲ml از محیط پایه برداشته شده و با ۱٪ وزنی/حجمی آگار خالص، ۰/۰۱٪ سدیم آسکوربیات و ۰/۰۱٪ سدیم تیوگلیکولات مخلوط نموده و سپس در دمای ۱۲۱ درجه سانتی‌گراد به مدت ۵ دقیقه اتوکلاو انجام می‌گیرد، پس از اتوکلاو، pH محیط بررسی می‌شود. در صورتی که اجزا به صورت صحیح استفاده شده باشد، pH در این مرحله در ۲۵ درجه سانتی‌گراد حدود ۷/۵ است [۲۶]. سپس به روش آگار مخلوط که قبلاً توضیح داده شد، نمونه‌ها

جدول ۲: ترکیبات محیط کشت لازم جهت رشد جنس دسولفوویریو

D محیط	C محیط	B محیط	ترکیبات
غلظت (گرم بر لیتر آب مقطر)			
۰/۵	۰/۵	۰/۵	$\text{KH}_2\text{PO}_4$
۱	۱	۱	$\text{NH}_4\text{Cl}$
-	-	۱	$\text{CaSO}_4$
-	۰/۳	-	Sodium Citrate
-	۴/۵	-	$\text{Na}_2\text{SO}_4$
-	۰/۶	۲	$\text{MgSO}_4 \cdot 7 \text{H}_2\text{O}$
-	۰/۶	۳	Sodium lactate
۳/۵	-	-	Sodium pyruvate
۰/۱	۰/۶	-	$\text{CaCl}_2 \cdot \text{H}_2\text{O}$
۰/۰۰۴	۰/۰۰۴	۰/۵	$\text{FeSO}_4 \cdot 7 \text{H}_2\text{O}$
۱/۸	-	-	$\text{MgCl}_2 \cdot \text{H}_2\text{O}$
۱	۱	۱	Yeast extract

## مراجع

1. F.vester and K.Ingvoren.(1998). Improved most probable number method to detect sulfate reducing bacteria with natural media and radiotracer. Applied and environmental microbiology. Vol 64, Pp. 1700-1707.
2. C. Hubert et al. (2005). Corrosion risk associated with microbial souring control using nitrate or nitrite. Appllied Microbial Biotechnology. Vol. 68, Pp. 272- 282.
3. E. B. A. Wieringa, J. Overmann, and H. Cypionka . (2000). Detection of abundant sulphate-reducing bacteria in marine oxic sediment layers by a combined cultivation and molecular approach. Environmental Microbiology.Vol. 2, NO. 4, Pp. 417-427.
4. W. Peng and et al. (2008). Molecular survey of sulfate reducing bacteria in the deep sea sediment of the west pacific warm pool. Vol.7, NO.3, Pp. 269- 275.
5. W. Manz et al. (1997). Abundance and spatial organization of Gram-negative sulfate-reducing bacteria in activated sludge investigated by in situ probing with specific 16S rRNA targeted oligonucleotides.FEMS Microbiology Ecology.Vol. 25, Pp. 43-61.
6. G.Voordouw and et al. (1996). Characterization of 16S rRNA genes from oiled filed microbial communities indicates the presence of avariety of sulfate reducing, fermentative and sulfide oxidizing bacteria. Applied and environmental microbiology. Vol.62, NO. 5, Pp. 1623-1629.
7. U. Bockelmann et al. (2000). Characterization of the microbial community of lotic organic aggregates (river snow) in the Elbe River of Germany by cultivation and molecular methods. FEMS Microbiology Ecology. Vol. 33. Pp.157-170.
8. R. I. Amann et al. (1992). Molecular and Microscopic Identification of Sulfate-Reducing Bacteria in Multispecies Biofilms. Applied and environmental microbiology. Vol.58, NO.2, Pp. 614-623.

9. C. G Chaucke, D. A Dorrington, and P. D Rose. (2000). Techniques used to investigate the microbial ecology of sulfate reducing bacteria in sludge bioreactors. Presented at the WISA 2000 Biennial Conference. Sout Africa. 28 may- 1 june 2000.
10. R. Amann, B. M. Fuchs ,and S. Behrens.(2001). The identification of microorganisms by fluorescenc *in situ* hybridisation. Environmental biotechnology.Vol. 12,Pp. 231-236.
11. J. L. Sanz. T. Kochling. (2007). Molecular biology techniques used in wasterwater treatment: An overview. Process Biochemistry. Vol.42, Pp. 119-133.
12. J. Kleikemper. et al. (2002). Activity and diversity of sulfate reducing bacteria in petroleum hydrocarbon- contaminated aquifer. Applied and environmental microbiology. Vol. 68, NO.4,Pp. 1516- 1523.
13. R.J Daly.k,sharp, and A . J. Mac carthy. (2000). Development of oligonucleotide probes and PCR primers for detecting phylogenetic subgroups of sulfate reducing bacteria. Microbiology.Vol. 146,Pp. 1693-1705.
14. V. Zinkevich. I. B. Beech, (2000). Screening of sulfate-reducing bacteria in colonoscopy samples from healthy and colitic human gut mucosa. FEMS Microbiology Ecology.Vol 34, Pp. 147-155.
15. M. D Kane, L. K Poulsen, and D. A stahl. (1993). monitoring enrichment and isolation of sulfate reducing bacteria by using oligonucleotid hybridization probes designed from environmentally derived 16S rRNA sequences. Applied and environmental microbiology. Vol. 95, Pp. 682- 686.
16. R. kondo and et al. (2004). Detection and enumeration of Sulfate reducing bacteria in estuarine sediments by competitive PCR . geomicrobiology journal. Vol. 21, Pp.141-157.
17. A.Dar Shabir, and et al.(2006). Analysis of diversity and activity of sulfate- reducing bacteria communities in sulfidogenic bioreactors using 16S rRNA and dsrB genes as molecular markers.Applied and environmental microbiology. Vol.73, NO.2, Pp.594.
18. I. R. Perez-Jimenez. L. Y. Young and L. J. Kerkhof (2001). Molecular characterization of sulfate-reducing bacteria in anaerobic hydrocarbon-degrading consortia and pure cultures using the dissimilatory sulfate reductase (*dsrAB*)genes. FEMS Microbiology Ecology. Vol.35, Pp.145-150.
19. A. Dhillon et al. (2003). molecular characterization of Sulfate-Reducing Bacteria in the Guaymas Basin. Applied and environmental microbiology. Vol. 69,NO.5,Pp. 2765-2772.
20. J. Leloup, and et al. (2005).diversity of the *dsrAB* (dissimilatory sulfite reductase) gene sequences retrieved from two contrasting mudflats of the Seine estuary, France. FEMS Microbiology Ecology. Vol 55. Pp. 230-238.
21. J. T. Stanley, MP. Brayant. N. Pfenning and J. G. Holt. Bergey's manual of systematic bacteriology. William and Wilkins.London.Ed<sup>8th</sup>. 1986.

۲۲- روحانی کسری کرمانشاهی، موج خالقی(۱۳۷۴)، جداسازی و شناسایی باکتری های عامل خوردگی بیولوژیک از پساب های صنعتی پالایشگاه نفت. چهارمین کنگره ملی خوردگی.

23. L.L. Barton. Characteristics and activities of sulphate reducing bacteria. Newyork. London: Plenum press. 1995.
24. O.J. Hao, et al. (1996). Sulfate reducing bacteria. Crit. Rev. Environmental Science and technology. Vol .26,Pp. 155-187.
25. M.Setareh, R. Javaherdashti. (2003). Assessment and control of MIC in a sugar cane factory. Materials and corrosion .Vol.54, Pp. 259-263.

۲۶- ایوب. ترکیان، روحانی کسری- کرمانشاهی و محمود مرعشی. (۱۳۷۵). بررسی خوردگی در لوله های آب رسانی گاز کنگان توسط باکتری ها. مجموعه مقالات کنگره ملی سراسری بهداشت آب، دانشگاه علوم پزشکی کرمانشاه.

- ۲۷- ایوب. ترکیان، روح‌اکسری- کرمانشاهی و مهدی امین. (۱۳۷۵)، جداسازی و شناسایی و نقش میکروارگانیسم‌های UASB کشتارگاه اصفهان، مجله‌ی تحقیقات آب و انرژی دانشگاه صنعتی شریف. صفحه‌ی ۶-۲۲.
- ۲۸- آرش فتاح‌الحسینی، احمد ساعتچی، محمد حسین فتحی، روح‌اکسری- کرمانشاهی. (۱۳۸۴). بررسی خوردگی میکروبی فولادی کربنی با روش ماکریم آنتروپی. انجمان خوردگی، نهمین کنگره‌ی ملی خوردگی. صفحه‌ی ۲۴۹-۲۵۶.
29. Sh.Shakeri, R. Kasra-Kermanshahi, M. Momeni- Moghaddam and G. Emtiazi. (2007). Assessment of biofilm cell removal and killing and biocide efficacy using the microtiter plate test. Biofouling. Vol 23, No 2, Pp79- 86.
30. R. cord- ruwisch.(1985). A quick method for the determination of dissolved and precipitated sulfides in cultures of sulfate reducing bacteria. Journal of microbiological methods. Vol.4, Pp. 33-36.

# مطالعات الکتروشیمیایی خوردگی محلی آهن در محیط‌های کلریدی حاوی اکسیژن و نیتروژن

محسن لشگری<sup>\*</sup>، پریسا زینل خانی<sup>\*</sup>

<sup>۱</sup> استادیار، دانشگاه تحصیلات تکمیلی در علوم پایه، زنجان

<sup>۲</sup> کارشناس ارشد شیمی فیزیک، دانشگاه تحصیلات تکمیلی در علوم پایه، زنجان

\*نویسنده مسئول: Lashgari@iasbs.ac.ir

تاریخ دریافت: ۱۳۹۱/۰۱/۱۴      تاریخ پذیرش: ۱۳۹۱/۰۳/۲۰

## چکیده

خوردگی آهن در محیط سدیم کلرید ۰/۶ مولار به روش‌های مختلف پلاریزاسیون آندی چرخه‌ای، طیف‌ستجی امپدانس الکتروشیمیایی، تافل، کرنوآمپرومتری و میکروسکوپ نوری بررسی شد. منحنی‌های پلاریزاسیونی نشان دادند در حضور اکسیژن به‌دلیل تشکیل لایه شبه روئین بر روی سطح، خوردگی غیر یکنواخت محتمل بوده و با پیدایش حفرات کمثبات، دانسیته جریان آندی افزایش می‌یابد. از انجام مطالعات امپدانس در پتانسیل‌های مختلف مشخص گردید که با افزایش پتانسیل اعمالی، به‌دلیل تشدید میدان الکتریکی، جذب کلرید تقویت شده که در نتیجه آن مقاومت در برابر انتقال بار تقلیل یافته و سرعت خوردگی افزایش می‌یابد. تشکیل حفرات کمثبات و ترمیم مجدد سطح به صورت لوپ القایی مثبت ظاهر شده که این لوپ با پایداری و رشد حفره، به لوپ القایی منفی تبدیل می‌شود. تجمع محصولات خوردگی در دهانه حفره به صورت خط قائم در نمودار نایکوئیست ظاهر و از طریق خازن سری با مقاومت تفسیر گردید. بررسی‌های کرنوآمپرومتری در پتانسیل‌های مختلف نشان داد که به‌دلیل تشکیل لایه محافظتی موقت بر روی سطح، جریان عبوری در مراحل اولیه خوردگی کوچک بوده، ولی با پیدایش حفره با شتاب بیشتری افزایش می‌یابد. بین زمان نهفتگی و پتانسیل اعمالی رابطه خطی به‌دست آمد و به کمک آن روش نظری برای تخمین زمان لازم برای پیدایش اولین حفره پیشنهاد گردید. همچنین در محیط‌های اشعاع از نیتروژن با اعمال پتانسیل کاتدی، نیتروژن به درون شبکه فلز نفوذ نموده و با تشکیل آهن نیتریده، سطح در برابر خوردگی روئین می‌گردد.

**کلمات کلیدی:** خوردگی غیر یکنواخت، اثر اکسیژن و نیتروژن، آهن نیتریده، کرنوآمپرومتری، پلاریزاسیون آندی چرخه‌ای.

# Localized Corrosion of Iron in Chloride Media Containing Oxygen and Nitrogen Molecules: Electrochemical Studies

Mohsen Lashgari \*<sup>1</sup>, Parisa Zeinalkhani <sup>2</sup>

1. Assistant Professor, Institute for Advanced Studies in Basic Sciences (IASBS), Zanjan

2. M.Sc. in Physical Chemistry, Institute for Advanced Studies in Basic Sciences (IASBS), Zanjan

\* Corresponding Author: [Lashgari@iasbs.ac.ir](mailto:Lashgari@iasbs.ac.ir)

Submission: April 03, 2012      Acceptance: June 09, 2012

## Abstract

The non-uniform corrosion of iron in 0. M NaCl solution was investigated through cyclic anodic polarization, electrochemical impedance spectroscopy (EIS), Tafel plots, chronoamperometry and optical microscopy methods. Polarization curves conducted under oxygenated conditions, revealed the risk of localized damage, as the result of chloride interaction with the pseudo-passive layer formed upon the metal surface. Moreover, by creation of metastable pits, the anodic current increases abruptly. EIS spectra plotted at different dc-voltages exhibited a facilitation in charge transfer with potential increase, by boosting the electric field and raising the chloride surface coverage. The dynamic pit formation and surface repassivation cause a positive inductive loop being appeared in the Nyquist diagrams. The loop however alters to its negative form, by pit growth. The accumulation of corrosion products on the mouth of pits has also been recognized as a vertical line emerging at low frequencies and interpreted through a circuit of dielectric in series with a resistor. Chronoamperometry measurements at different anodic potentials showed that the raising of current was slow at initial stages, but accelerated with pit growth. A linear correlation was observed between incubation time and potential data. The time needed for creation of the first pit (metastable) was theoretically anticipated. For solutions purged by nitrogen, the metal became passivated by cathodic scan. The observations were justified through the possibility of nitrided iron formation, resulting from the dissociative chemisorption and nitrogen reaction with iron surface.

**Keywords:** Non-uniform corrosion, Oxygen and Nitrogen effects, Nitrided iron, Chronoamperometry, Cyclic Anodic polarization.

## ۱- مقدمه

افزایش اسیدیته و غلظت آئینون، سرعت رشد حفره به صورت خودکاتالیزوری تشدید شده و با گذشت زمان، جداره فلزی سوراخ می‌گردد.

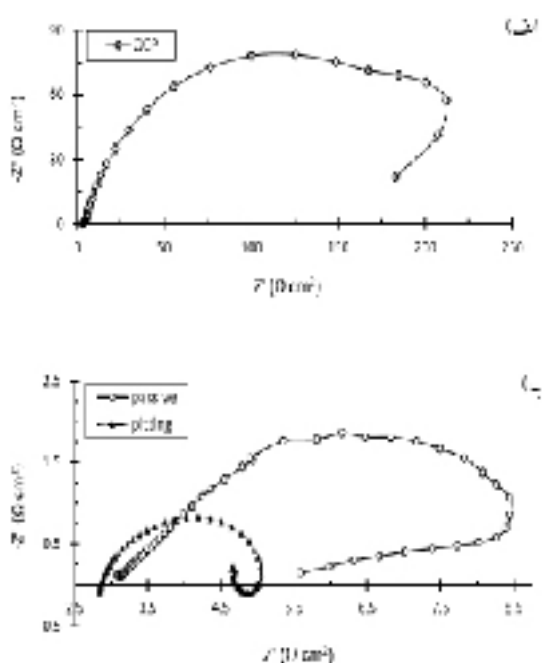
تشکیل و از بین رفتن حفره‌های کمثبات ماهیت تصادفی دارد [۷]. به علاوه، حفره‌های جدید با احتمال بیشتری در اطراف حفره‌های پایدار تشکیل شده و رشد آنها به صورت خوش‌ای است [۸ و ۹]. در این تحقیق، خوردگی غیر یکنواخت فلز آهن به عنوان عنصر اصلی و سازنده فولاد در محیط‌های کلریدی حاوی اکسیژن و نیتروژن به روش‌های مختلف الکتروشیمیایی مورد بررسی قرار گرفته است.

## ۲- روش تحقیق

ابزارهای مطالعاتی به کار رفته در این تحقیق، روش‌های الکتروشیمیایی شامل پلاریزاسیون آندی چرخه‌ای، پلاریزاسیون تافلی، کرنوآمپرومتری و طیف‌سنجدی امپدانس الکتروشیمیایی است. همچنین از میکروسکوپ نوری جهت مطالعه سطح استفاده شد. در تمامی روش‌های الکتروشیمیایی از یک سل سه الکترودی دو جداره متصل به ترمومترات چرخش آبی (Wisecircu) استفاده شد. الکترودهای Ag/AgCl ۳ مولار و فویل پلاتینی به عنوان الکترودهای مرجع و کمکی بودند. الکترود کار، میله آهنه بود که پس از لحیم به سیم هادی جریان و قرار گرفتن در داخل رزین اپوکسی، توسط کاغذ سنباده‌های ۶۰۰ تا ۳۰۰۰ صیقل شده و پس از چربی‌زدایی و شستشوی نهایی، درون محلول خورنده قرار گرفت. محلول خورنده، سدیم کلرید ۰/۶ مولار بود که با گاز مورد نظر (اکسیژن یا نیتروژن خالص) اشباع شده بود. آزمایش‌ها به کمک دستگاه پتانسیوگالوانوستات مجهز به تکنیک امپدانس (Zennium Zahner) مدل Zahner (۱۰۰ دقیقه استراحت)، از رسیدن به حالت تعادل (حدود ۱۰۰ دقیقه استراحت)، جاروب پتانسیل از حدود ۲۵۰ میلی‌ولت پایین‌تر از پتانسیل مدار باز آغاز شده و با سرعت روبش ۱۰ میلی‌ولت بر ثانیه به سمت مقادیر مثبت ادامه یافت. آزمایش‌های امپدانس نیز در

در یک نگاه کلی، خوردگی را می‌توان به دو شکل یکنواخت و محلی طبقه‌بندی نمود. در خوردگی یکنواخت که متدائل ترین نوع خوردگی است، تمامی قسمت‌های فلز با سرعت یکنواختی تخریب می‌شوند، اما در خوردگی محلی، بخش وسیعی از سطح به‌واسطه تشکیل لایه محافظ، نسبت به خوردگی مقاوم بوده و در سایر قسمت‌ها (نقاطی که در آن لایه مذکور ضعیف است)، گونه‌های خورنده به سطح فلز حمله نموده و با انحلال آن باعث سوراخ شدن جداره فلزی می‌شوند. در میان انواع خوردگی‌های محلی، خوردگی حفره‌ای بسیار شایع است. در این نوع خوردگی، حفره‌های کوچک، اما عمیق در سطح فلز ایجاد شده، با سرعت بالایی رشد نموده و قطعه فلزی علی‌رغم ظاهر سالم، شکننده و آسیب‌پذیر می‌گردد [۱].

همان‌طور که می‌دانیم خوردگی حفره‌ای در فلزات و آلیاژهایی رخ می‌دهد که سطح آنها از یک لایه روئین پوشیده شده است. بنابراین اولین مرحله در بروز پدیده خوردگی حفره‌ای، انحلال یا شکسته شدن لایه روئین به صورت محلی است [۲ و ۳]. در محیط‌های کلریدی، جذب آئینون بر روی سطح و تشکیل کمپلکس محلول باعث نازک شدن و از بین رفتن تدریجی لایه روئین می‌شود [۴]. بدیهی است انحلال لایه در نقاطی از سطح محتمل خواهد بود که در آن نقاط، لایه روئین نازک شده است. با انحلال لایه به صورت محلی و رسیدن یون‌های کلرید به سطح، حملات خوردگی آغاز می‌گردد. البته ممکن است برخی حفرات (کمثبات) مجدد روئین شده و سطح ترمیم گردد. برای حفره‌های پایدار، با اکسایش اتم‌های فلزی درون آنها، فرایند کاتدی در بیرون حفره ادامه می‌یابد. به دلیل سطح کوچک حفره (نواحی آندی) نسبت به سطح باقیمانده (نواحی کاتدی)، سرعت انحلال در محل حفره شدید بوده و با تولید کاتیون‌های فلزی، آئینون‌های کلریدی بیشتری (جهت برقراری تعادل الکتریکی) به درون حفره نفوذ می‌نمایند. همچنین با هیدروولیز کاتیون‌های فلزی در داخل حفرات، غلظت پروتون نیز به‌طور محلی افزایش می‌یابد [۵ و ۶]. با



شکل ۲: نمودار نایکوئیست مربوط به آهن در محیط سدیم کلرید  $0.06\text{ M}$  مولار اشباع از اکسیژن به دست آمده در دمای اتاق در پتانسیل های مختلف: (الف) مدار باز  $-0.065\text{ V}$  ولت)، (ب) روئین  $-0.05\text{ V}$  ولت) و حفره ای  $(-0.01\text{ V}$  ولت پس از ۳ ساعت اعمال پتانسیل حفره ای).

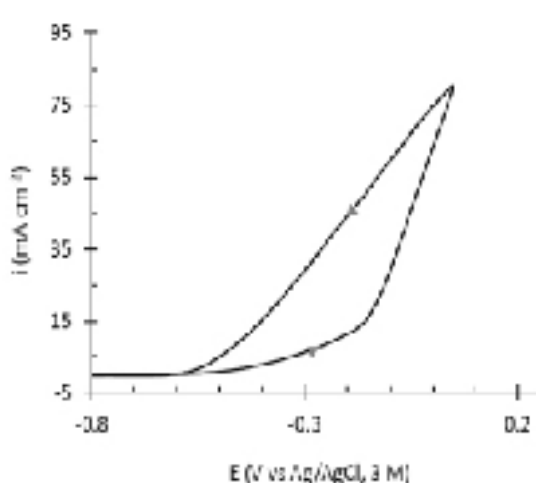
این شکل بیان گر آن است که با افزایش پتانسیل اعمالی، مقاومت در برابر انتقال بار کاهش می یابد. این موضوع این گونه قابل توجیه است که با افزایش پتانسیل آندی به دلیل تشدید قدرت میدان الکتریکی در ناحیه فصل مشترک الکترود/الکترولیت، یون های کلریدی بیشتری جذب الکترواستاتیکی سطح شده که در نتیجه آن فرایند خوردگی با سهولت بیشتری ادامه می یابد. از نکات جالب دیگر که از بررسی منحنی های امپدانس به دست آمد آن است که امپدانس سیستم در فرکانس های کوچک است. در پتانسیل های روئین و مدار باز، امپدانس به صورت لوپ القایی مثبت ظاهر شده که پیدایش آن به تشکیل حفرات کم ثبات و ترمیم شدن مجدد آنها مربوط است. با افزایش پتانسیل اعمالی، حفرات کم ثبات پایدار شده و با رشد حفره، رفثار سلفی (لوپ القایی منفی) نمایان می گردد. البته در پتانسیل حفره ای به دلیل تجمع محصولات خوردگی در دهانه

محدوده فرکانس  $100\text{ Hz}$  تا  $10\text{ kHz}$  با دامنه نوسانی  $10\text{ mV}$  میلی ولت انجام شد. برای بررسی های کرنوآمپرومتری، ابتدا پتانسیل الکترود با سرعت روبش  $50\text{ mV/s}$  ولت بر ثانیه تا پتانسیل مورد نظر جاروب شده، سپس عبور جریان در پتانسیل مذکور بر حسب زمان ثبت گردید.

### ۳- نتایج و بحث

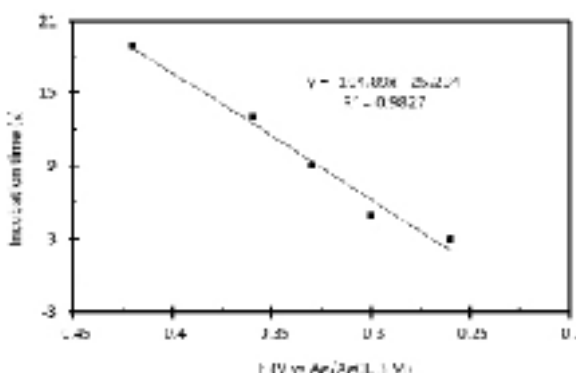
پلاریزاسیون آندی چرخه ای آهن در محیط سدیم کلرید  $0.06\text{ M}$  مولار در شکل ۱ نشان داده شده است. با توجه در می یابیم که در حوالی پتانسیل مدار باز  $-0.065\text{ V}$  ولت)، تغییرات جریان بر حسب پتانسیل جزئی بوده و فلز در بازه کوچک پتانسیلی، رفتار شبه روئین<sup>۱</sup> دارد. این لایه به اکسید و هیدروکسید آهن مربوط است [۱۰] که در محیط های اکسیژنی بر روی سطح فلز تشکیل می گردد.

همچنین مشاهده افزایش ناگهانی جریان، به ایجاد حفره و فرایند خوردگی محلی مربوط است [۱۱]. برای آگاهی از جزئیات مکانیزمی خوردگی آهن، مطالعات امپدانس در سه پتانسیل مختلف مدار باز، روئین و حفره ای انجام شد که نتایج آن در شکل ۲ ترسیم شده است.



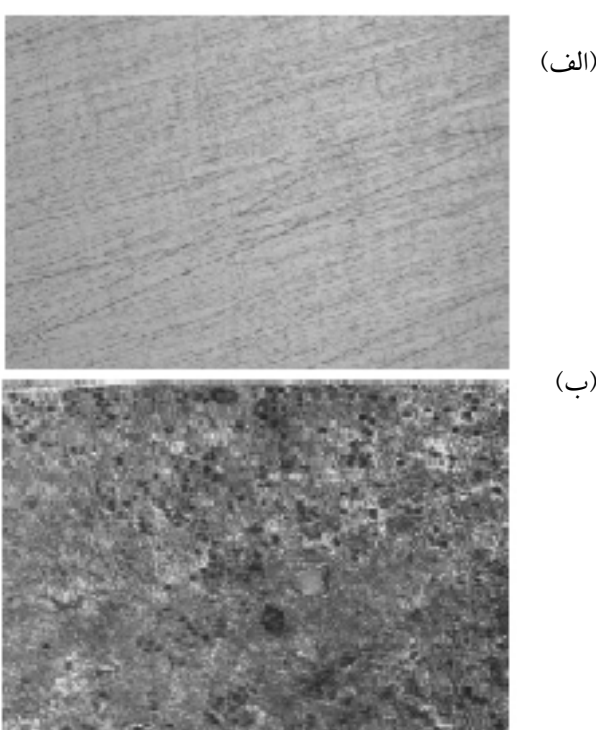
شکل ۱: منحنی پلاریزاسیون آندی چرخه ای آهن در محیط سدیم کلرید  $0.06\text{ M}$  مولار اشباع از اکسیژن به دست آمده در دمای  $25^\circ\text{C}$  درجه سانتی گراد با سرعت روبش  $10\text{ mV/s}$  ولت بر ثانیه.

<sup>1</sup> Pseudo-passive



شکل ۴: ارتباط زمان نهفتگی حفره با پتانسیل آندی اعمال شده، مربوط به خوردگی آهن در محیط سدیم کلرید ۰/۶ مولار اشباع از اکسیژن در دمای اتاق.

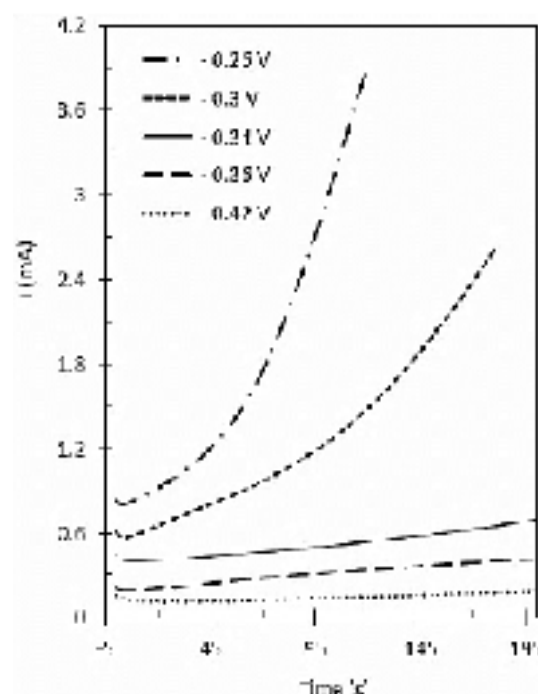
این زمان حدود ۳۴ ثانیه به دست آمد که در واقع حداقل زمان نظری جهت تولید حفره کم ثبات است. البته در عمل آنچه ما از آن به عنوان خوردگی حفره‌ای یاد می‌نماییم، ظهور حفرات پایدار است که به زمان‌های بزرگتری احتیاج دارد. تصویر خوردگی غیر یکنواخت آهن در شکل ۵ آورده شده است.



شکل ۵: تصاویر میکروسکوپی نوری با بزرگنمایی ۱۰ مربوط به فلز آهن (الف) قبل و (ب) بعد از قرارگیری نمونه‌ها به مدت ۴۸ ساعت درون محیط سدیم کلرید ۰/۶ مولار اشباع از اکسیژن در دمای اتاق.

حفرات، سیستم مشابه دی‌الکتریک سری با مقاومت رفتار نموده و امپدانس آن به صورت خط قائم (موازی با محور موهومی) ظاهر می‌شود.

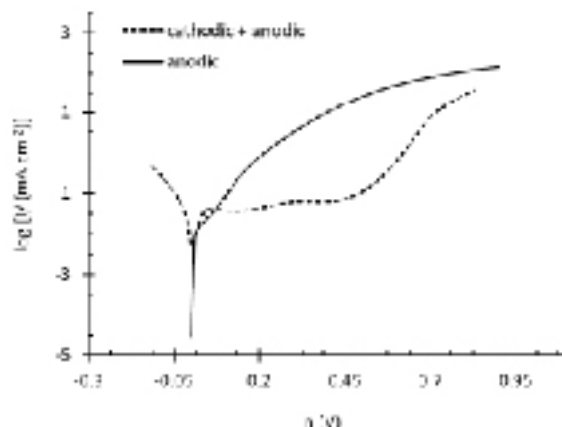
برای آگاهی از دینامیک پدیده خوردگی آهن در محیط کلریدی، جریان آندی به صورت تابعی از زمان در پتانسیل‌های مختلف دنبال شد که نتایج آن در منحنی‌های کرونوآمپرومتری شکل ۳ دیده می‌شود.



شکل ۳: منحنی‌های کرونوآمپرومتری آهن در محیط سدیم کلرید ۰/۶ مولار اشباع از اکسیژن، در دمای اتاق، به دست آمده در پتانسیل‌های آندی مختلف.

این شکل گویای آن است که با کوچک گشتن پتانسیل آندی، رفتار شبه روئین از دوام بیشتری برخوردار بوده و مدت زمان بیشتری لازم خواهد بود تا یون‌های کلرید با حمله به لایه مذکور، موجب پیدایش حفرات اولیه (کم ثبات) بر روی سطح شوند. بین این زمان (معروف به زمان نهفتگی) و پتانسیل اعمالی، رفتار خطی حاکم است (شکل ۴) که به کمک آن می‌توان زمان نهفتگی مربوط به پتانسیل مدار باز (پتانسیل طبیعی فلز در حالت آزاد) را به صورت نظری تخمین زد.

کاهش در سرعت خوردگی آهن به واسطه برهم کنش با گاز نیتروژن امکان تولید آهن نیتریده را در دمای اتاق به روشن الکتروشیمیایی مطرح می سازد. این امر به خاطر عدم نیاز به محیط پلاسمایی [۱۲ و ۱۳] از دیدگاه صنعتی فوق العاده حائز اهمیت است.



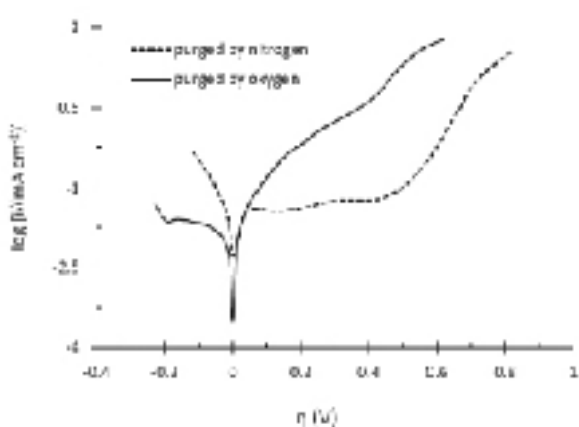
شکل ۷: منحنی های پلاریزاسیون تافلی آهن در محیط سدیم کلرید ۰/۶ مولار اشباع از نیتروژن در دمای اتاق (منحنی توپر: روش از پتانسیل مدار باز به سمت مقادیر مثبت انجام شده و منحنی خط چین: روش از شاخه کاتدی به آندی انجام شده است).

رفتار روئین شوندگی آهن در محیط نیتروژن همچنین با آزمایش های امپدانس بررسی شد که نتایج آن در شکل ۸ ترسیم شده است. از این شکل در می باییم که با تشکیل آهن نیتریده به روش حاضر، مقاومت خوردگی از حدود ۱۰۰ اهم به حدود چند کیلوواهم افزایش یافته که این خود معرف بهبود کیفیت لایه روئین در اثر ورود نیتروژن به ساختار شبکه فلز است.

#### ۴- نتیجه گیری

✓ تشكیل حفرات کم ثبات بر روی سطح آهن، در پتانسیل های نزدیک به مدار باز در محیط اشباع از اکسیژن امکان پذیر است.

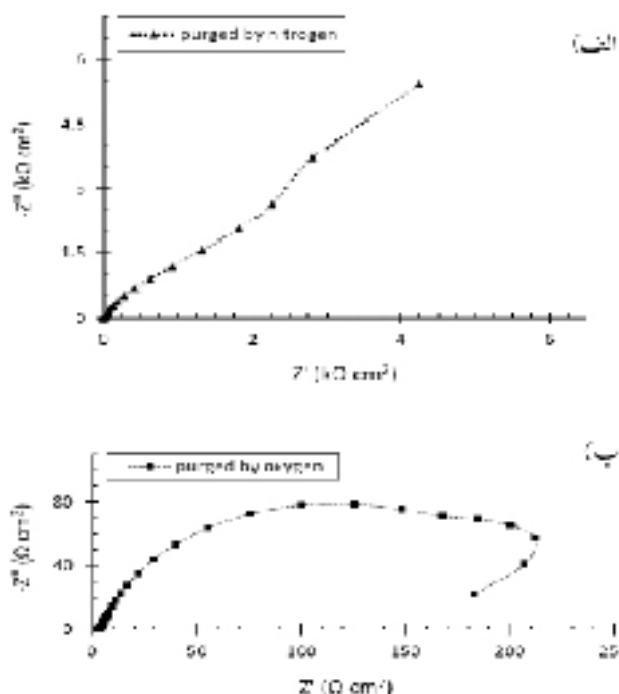
این تصویر پیدایش حفرات ناشی از خوردگی محلی آهن را به وضوح در محیط کلریدی مورد تایید قرار می دهد. برای تقویت لایه روئین بر روی سطح آهن، آزمایش جالبی انجام شد که در ادامه به شرح نتایج آن می پردازیم. شکل ۶ منحنی های تافل را برای خوردگی آهن در محیط های کلریدی حاوی مولکول های اکسیژن و نیتروژن را نشان می دهد.



شکل ۶: منحنی های پلاریزاسیون تافلی آهن بر حسب اضافه ولتاژ، در محیط سدیم کلرید ۰/۶ مولار در دمای اتاق، تحت شرایط اشباع از اکسیژن و اشباع از نیتروژن (پتانسیل مدار باز آهن در محیط اشباع از اکسیژن: ۰/۶۵ و در محیط اشباع از نیتروژن: ۰/۹۵ ولت).

در حضور اکسیژن انتظار داریم سطح به نحو موثرتری روئین شود؛ حال آنکه شکل گویای نتیجه معکوس بوده، یعنی روئین شوندگی بهتر در محیط نیتروژن حاصل می گردد. روئین شدگی آهن در حضور نیتروژن حاکی از این واقعیت است که نیتروژن برای فلز آهن به عنوان گاز بی اثر عمل ننموده، بلکه با ایجاد تغییر در سطح آهن باعث تقویت روئین شدگی آن می شود. علاوه بر پلاریزاسیون آندی، شکل ۶ بیان گر این مطلب است که سرعت جریان کاتدی در حضور نیتروژن افزایش یافته که این خود حاکی از شرکت نیتروژن در انجام فرایند کاتدی است.

لازم به ذکر است که اگر عمل جاروب پتانسیل به جای شاخه کاتدی از پتانسیل مدار باز شروع می شد، دیگر شاهد احیای نیتروژن ( $2N^3 \rightarrow 2N_2 + e^-$ ) و در نتیجه تولید آهن نیتریده نبودیم. این موضوع نیز از طریق شکل ۷ مورد تایید است.



شکل ۸: منحنی امپدانس مربوط به آهن در محیط سدیم کلرید ۰/۶ مولار (الف) اشباع از اکسیژن و (ب) اشباع از نیتروژن در پتانسیل مدار باز و دمای اتاق (منحنی مربوط به نیتروژن پس از اعمال شاخه کاتدی ثبت شده است).

یک روند خطی از خود نشان می‌دهد که با استفاده از بروونیابی می‌توان زمان نهفتگی حفره در شرایط طبیعی (پتانسیل مدار باز) را تخمین زد.

✓ تحت شرایط اشباع از نیتروژن، طی روبش کاتدی نیتروژن می‌تواند وارد ساختار شبکه آهن گردد.

✓ سرعت خوردگی آهن در پتانسیل حفره‌ای شدن بزرگتر از سرعت خوردگی در پتانسیل روئین و هر دو سرعت بزرگتر از پتانسیل مدار باز است.

✓ با افزایش پتانسیل آندی، زمان نهفتگی حفره کاهش می‌یابد که روند تغییرات این زمان، با افزایش پتانسیل

## مراجع

1. A. O. Volkov, P. K. Datta, J. S. Burnell-Gray, R. Couper, " Hydrodynamic measurement of a single corrosion pit", Corros. Sci., vol. 46, (2004), Pp. 2613-2619.
2. P. M. Natishan, W. E. O'Grady, F. J. Marin, R. J. Rsyné, H. Kahn, A. H. Heuer, "Chloride Interactions with the Passive Films on Stainless Steel", J. Electrochem. Sci., vol. 158, (2011), Pp. C7-C10.
3. B. Zhang, Y. Li, F. Wang, "Electrochemical behavior of microcrystalline aluminium in neutral fluoride containing solutions", Corros. Sci., vol. 51, (2009), Pp. 268-275.
4. E. McCafferty, "Sequence of steps in the pitting of aluminum by chloride ions" Corros. Sci., vol. 45, (2003), Pp. 1421-1438.
5. Y. Zuo, H. Wang, J. Zhao, J. Xiong, " The effects of some anions on metastable pitting of 316L stainless steel", Corros. Sci., vol.44, (2002), Pp. 13-24.
6. Z. F. Yin, W. Z. Zhao, W. Tian, Y. R. Feng, C. X. Yin, "Pitting behavior on super 13Cr stainless steel in 3.5% NaCl solution in the presence of acetic acid", J. Solid State Electrochem, vol. 13, (2009), Pp. 1291–129.

7. A. Valor, F. Caleyo, L. Alfonso, D. Rivas b, J. M. Hallen, "Stochastic modeling of pitting corrosion: A new model for initiation and growth of multiple corrosion pits", *Corros. Sci.*, vol. 49, (2007), Pp. 559–579.
8. A. S. Mikhailov, J. R. Scully, J. L. Hudson, "Nonequilibrium collective phenomena in the onset of pitting corrosion", *Sur. Sci.*, vol. 603, (2009), Pp. 1912-1921.
9. C. Punckt, M. Bolscher, H. H. Rotermund, A. S. Mikhailov, L. Organ, N. Budiansky, J. R. Scully, J. L. Hudson, " Sudden onset of pitting corrosion on stainless steel as a critical phenomenon", *Science*, vol. 305, (2004), Pp. 1133-1136.
10. E. M. Sherif, R. M. Erasmus, J. D. Comins, "In situ Raman spectroscopy and electrochemical techniques for studying corrosion and corrosion inhibition of iron in sodium chloride solutions", *Electrochim. Acta*, Vol. 55, (2010), Pp. 3657–3663.
11. J. R. Galvele, "Tafel's law in pitting corrosion and crevice corrosion susceptibility", *Corros. Sci.*, vol.47, (2005), Pp. 3053-3067.
12. J. Fils, I. Flis-Kabukska, T. Zakroczymski, "Corrosion and passivation of iron and its nitrided layer in borate buffer", *Electrochim. Acta*, Vol. 54, (2009), Pp.1810-1819.
13. W. P. Tong, N. R. Tao, Z. B. Wang, J. Lu, K. Lu," Nitriding Iron at Lower Temperatures", *Science*, Vol. 299, (2003), Pp. 686-688.

# اثر غلظت ذرات ساینده بر میزان هم افزایی در رفتگی - خوردگی فولاد زنگ نزن AISI 420

محمد رضا سیاحی<sup>۱</sup>، حمید رضا قاسمی منفرد راد<sup>۲\*</sup>

<sup>۱</sup>دانشجوی کارشناسی ارشد، دانشکده مهندسی متالورژی و مواد، دانشگاه تهران

<sup>۲</sup>استاد، دانشکده مهندسی متالورژی و مواد، دانشگاه تهران

\* نویسنده مسئول: hghasemi@ut.ac.ir

تاریخ دریافت: ۱۳۹۱/۰۱/۲۰ تاریخ پذیرش: ۱۳۹۱/۰۳/۳۰

## چکیده

هدف از این تحقیق، بررسی اثر غلظت ذرات ساینده سیلیس موجود در محلول  $3/5$  درصد NaCl بر رفتار رفتگی - خوردگی فولاد زنگ نزن AISI 420 است. آزمون‌های رفتگی و رفتگی - خوردگی در غلظت‌های  $۳۰$ ،  $۶۰$  و  $۹۰$  گرم بر لیتر ذره ساینده در محلول  $3/5$  درصد NaCl توسط دستگاه آزمون رفتگی - خوردگی برخوردی انجام شد و کاهش وزن نمونه‌ها پس از آزمون اندازه‌گیری گردید. همچنین آزمون پلاریزاسیون تافل برای بررسی رفتار خوردگی ساکن نمونه فولادی انجام شد. نتایج نشان می‌دهند که با افزایش غلظت ذرات ساینده از  $۳۰$  به  $۹۰$  گرم بر لیتر، نرخ رفتگی و رفتگی - خوردگی به ترتیب در حدود  $73$  درصد و  $153$  درصد افزایش پیدا می‌کند. تاثیر غلظت ذرات ساینده و نیز برهم‌کنش بین رفتگی و خوردگی توسط تصاویر بدست آمده از میکروسکوپ الکترونی روبشی مورد بررسی قرار گرفت. نتایج نشان داد که میزان هم افزایی که بیان گر برهم‌کنش بین رفتگی و خوردگی است، با افزایش غلظت ذرات ساینده افزایش می‌یابد.

**کلمات کلیدی:** رفتگی - خوردگی، هم افزایی، فولاد زنگ نزن مارتنتزیتی، غلظت ذرات ساینده، محلول  $3/5$  درصد NaCl.

# Effect of Sand Concentration on Erosion-Corrosion Synergism of AISI 420 Stainless Steel

Mohammad Reza Sayyahi <sup>1</sup>, Hamid Reza Ghasemi <sup>\*2</sup>

1. M.Sc. Student, School of Metallurgy & Materials Engineering, University of Tehran

2. Professor, School of Metallurgy & Materials Engineering, University of Tehran

\* Corresponding Author: hghasemi@ut.ac.ir

Submission: April 09, 2012      Acceptance: June 19, 2012

## Abstract

In this paper, effect of particle concentration on the erosion-corrosion behavior of AISI 420 stainless steel was investigated. Erosion-corrosion tests were conducted using an impingement jet apparatus containing a solution of 3.5% NaCl and 30, 60 and 90 g /lit of SiO<sub>2</sub> particles and weight loss of samples were measured. Tafel polarization test was carried out to study the static corrosion behavior of steel samples. Scanning electron microscope was used to study the synergy between erosion and corrosion of the alloy. The results showed that by increasing the sand concentration from 30 to 90 g/lit, erosion and erosion -corrosion rates increased 73 and 153%, respectively. The results also showed that the increase of sand concentration the synergy rate between erosion and corrosion also increased.

**Keywords:** Erosion-corrosion, Synergy rate, SiO<sub>2</sub>, Stainless steel.

## ۱- مقدمه

غلظت ذرات ساینده یکی از عوامل موثر در شدت تخریب ناشی از رفتگی - خوردگی است. تحقیقات انجام شده تاکنون در ارتباط با اثر غلظت بر نرخ رفتگی - خوردگی<sup>۱</sup>، نشان دهنده افزایش شدت تخریب فلزات مختلف با افزایش غلظت ذرات ساینده است [۴]. به نظر می آید که دلیل این موضوع، افزایش تعداد ذرات برخورداری به سطح ماده هدف باشد [۵]. همچنان نشان داد که برای غلظت ذرات ساینده حدود آستانه‌ای پایین و بحرانی بالا وجود دارد، به نحوی که در غلظت‌های کمتر از حد آستانه‌ای، ذرات ساینده توانایی انجام رفتگی سطحی را نداشته و میزان تخریب بسیار اندک است. همچنین در غلظت‌های بیشتر از حد بحرانی بالایی، برهم کنش بین ذرات افزایش یافته و ذرات بازتاب شده از سطح مانع از برخورد دیگر ذرات به سطح نمونه شده و نرخ کاهش وزن با افزایش غلظت ذرات ساینده تغییر چندانی نمی کند [۶]. همچنین مشخص شده است که افزایش غلظت ذرات ساینده در پدیده رفتگی - خوردگی فولادهای زنگ نزن، منجر به افزایش برداشت لایه رویین سطحی و به تبع آن، افزایش دانسته جریان خوردگی شده است [۷]. مقاومت به خوردگی فولادهای زنگ نزن به دلیل تشکیل لایه‌ای چسبنده و مقاوم از ترکیبات حاوی کروم است که همچون سدی در برابر انحلال آندی فلز زیرلایه خود مقاومت می کند [۸]. فولادهای زنگ نزن مارتزیتی دسته‌ای از فولادهای زنگ نزن هستند که از خواص مکانیکی عالی و مقاومت متوسط به خوردگی برخوردارند [۹]. این خواص منجر به استفاده از این آلیاژها در مکانهایی شده است که نمی توان از دیگر انواع فولادهای زنگ نزن بهره گرفت. از کاربردهایی سخت همچون پره‌های توربین‌های بخار، مخازن تحت فشار، پره‌های هم‌زن‌های مورد استفاده در صنایع معدنی، ابزارهای برشی و قطعات مورد استفاده در سازه‌های دریایی مرتبط با استخراج نفت می توان به عنوان انواع کاربردهای فولادهای زنگ نزن مارتزیتی نام برد [۹-۱۲]. ساختار فولادهای زنگ نزن مارتزیتی در حالت آنل حاوی کاربیدهای کروی در

تشخیص صحیح مکانیزم‌های زوال به منظور جلوگیری از تخریب پیش از موعد قطعات صنعتی امری حیاتی می باشد. یکی از عوامل تخریب سازه‌های صنعتی، پدیده رفتگی - خوردگی است. این مشکل در مکانهایی رخ می دهد که سطح فلزی در معرض سیال خورنده حاوی ذرات سخت و ساینده معلق قرار گیرد [۱]. در حین رفتگی - خوردگی<sup>۲</sup>، اثرات همزمان سایش ناشی از برخورد ذرات ساینده و فرایندهای الکتروشیمیایی ناشی از وجود محلول خورنده، باعث ایجاد پدیده‌ای به نام هم افزایی می گردد. ماهیت برهم کنش بین رفتگی و خوردگی بسیار پیچیده است [۲]، به نحوی که تخریب ناشی از پدیده رفتگی - خوردگی الزاماً با مجموع تخریب ناشی از رفتگی مکانیکی و خوردگی الکتروشیمیایی برابر نخواهد بود. این موضوع در رابطه به صورت ریاضی بیان شده است [۲]:

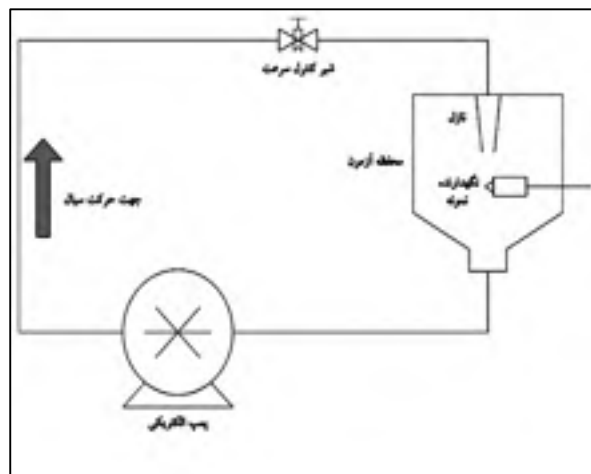
$$T = E + C + S \quad (1)$$

که  $T$ ، کاهش وزن ناشی از رفتگی - خوردگی،  $E$ ، کاهش وزن به دلیل رفتگی مکانیکی خالص،  $C$ ، کاهش وزن ناشی از خوردگی الکتروشیمیایی خالص و  $S$  نیز جمله اضافی به دلیل اثرات هم افزایی<sup>۱</sup> است. بنابراین هم افزایی طبق رابطه ۲ به عنوان اختلاف بین رفتگی - خوردگی و مجموع این دو جزء تعریف می شود.

$$S = T - (E + C) \quad (2)$$

هم افزایی می تواند مقادیر مثبت یا منفی داشته باشد. هم افزایی مثبت به معنای اثرات تقویتی رفتگی و خوردگی بر یکدیگر و افزایش شدید میزان رفتگی - خوردگی نسبت به مجموع خوردگی ساکن و رفتگی مکانیکی است. هم افزایی منفی به معنای کمتر شدن نرخ رفتگی - خوردگی نسبت به مجموع نرخ رفتگی مکانیکی و خوردگی الکتروشیمیایی است. به عبارت دیگر، در حین رفتگی - خوردگی، ایجاد یک فیلم چسبنده و بادوام باعث کاهش نرخ رفتگی - خوردگی نسبت به رفتگی شده است [۳].

هر آزمون در محلول استون شستشو داده شدند و توسط ترازویی با دقیقه ۰/۱ میلی گرم توزین گردیدند. برای نرماله کردن داده ها بر حسب تعداد ذرات برخوردی، کاهش وزن نمونه ها بر  $\sin\alpha$  (زاویه برخورد دوغاب با سطح نمونه است) تقسیم شدند. به منظور شناسایی مکانیزم های رفتگی و خوردگی، از تصاویر میکروسکوپ الکترونی روبشی استفاده گردید.



شکل ۱: تصویر شماتیک دستگاه آزمون رفتگی- خوردگی.

زمینه ای فریتی است [۱۳]. تحقیقات نشان داده اند که کاربیدهای موجود در آلیاژ ۴۲۰ AISI از نوع  $M_{23}C_6$  است [۱۴]. هدف از تحقیق پیش رو، بررسی اثر غلظت ذرات ساینده بر نرخ رفتگی و رفتگی - خوردگی آلیاژ ۴۲۰ AISI و نیز بررسی وابستگی شدت هم افزایی به غلظت ذرات ساینده است.

## ۲- مواد و روش تحقیق

ترکیب شیمیایی و سختی نمونه های تهیه شده از فولاد AISI 420 مورد استفاده در این تحقیق در جدول ۱ آورده شده است. نمونه های آزمون به صورت استوانه هایی با قطر و ارتفاع ۵ میلی متر تهیه شد و سطحی که در معرض برخورد قرار می گیرد تا سنبله ۱۲۰۰ پرداخت گردید. ذرات ساینده مورد استفاده، ذرات سیلیس ( $SiO_2$ ) طبیعی با محدوده اندازه ذرات ۲۵۰-۵۰۰ میکرومتر بود. سختی ذرات ساینده در حدود ۱۰۰۰ ویکرز تخمین زده می شود [۴]. آزمون ها توسط دستگاه رفتگی - خوردگی برخوردی که توانایی انجام همزمان آزمون های الکتروشیمیایی را دارد انجام شد. شکل ۱ تصویر شماتیک دستگاه آزمون به کار گرفته شده در این تحقیق را نشان می دهد. زاویه بین سطح نمونه و جهت برخورد سیال، برابر با ۵۰ درجه ثابت نگاه داشته شد. آزمون های رفتگی - خوردگی و رفتگی خالص در محلول  $NaCl$  درصد ۳/۵ تحت سرعت برخورد ۶/۵ متر بر ثانیه در غلظت های ۳۰، ۶۰ و ۹۰ گرم بر لیتر ذرات ساینده به مدت ۴۵ دقیقه صورت گرفت. آزمون های رفتگی تحت شرایط حفاظت کاتدی انجام شد. برای اعمال حفاظت کاتدی طبق استاندارد ASTM G5، پتانسیلی حدود یک ولت منفی تراز پتانسیل مدار باز مشاهده شده برای نمونه های آزمایش استفاده شد. در این آزمون ها از الکترودهای نقره / نقره کلرید به عنوان الکtrode مرجع و گرافیت به عنوان الکترود کمکی استفاده شد. آزمون خوردگی ساکن توسط دستگاه پتانسیوستات / گالوانوستات مدل EG&G 273A بر روی نمونه فولادی در محیط آبی ۳/۵ درصد  $NaCl$  با سرعت روبش پتانسیل ۳ mV/s انجام گردید. نمونه ها قبل و بعد از

## ۳- نتایج و بحث

### ۳-۱- آزمون خوردگی ساکن

به منظور بررسی خواص خوردگی آلیاژ مورد استفاده در این تحقیق، از آزمون پلاریزاسیون تافل برای تخمین نرخ خوردگی ساکن آلیاژ در محلول  $NaCl$  درصد ۳/۵ استفاده شد. شکل ۲ منحنی پلاریزاسیون تافل آلیاژ ۴۲۰ AISI را در محلول  $NaCl$  درصد ۳/۵ ساکن نشان می دهد. با استفاده از استاندارد ASTM G 102 نرخ خوردگی (C) برای این آلیاژ، برابر با  $10^{-5}$  میلی گرم بر سانتی متر مربع ساعت  $(mg/cm^2.h)$  بدست می آید.

### ۳-۲- آزمون های رفتگی خالص

به منظور بررسی اثر غلظت ذرات ساینده بر نرخ رفتگی نمونه های فولادی، آزمون های رفتگی خالص تحت حفاظت کاتدی توسط دستگاه آزمون رفتگی برخوردی در غلظت های

### جدول ۱: ترکیب شیمیایی و سختی آیاز AISI 420

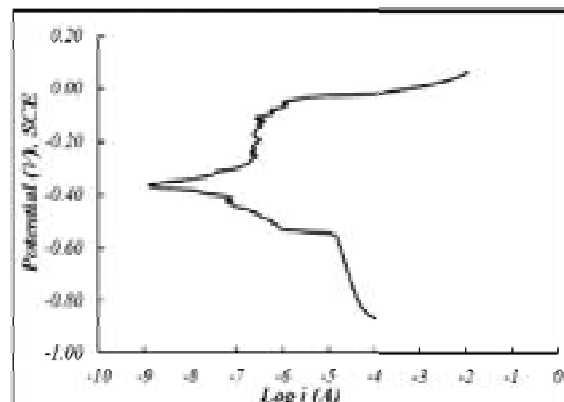
باقیمانده	%Fe	%C	%Cu	%Cr	%Mn	%Si	%Ni	%Al	%W	سختی (ویکرز)
۳۲۰±۱۰	۰/۱۸	۰/۱۱	۱۲/۶۰	۰/۸۱	۰/۵۸	۰/۲۷	۰/۰۲	۰/۰۲	۳۲۰±۱۰	

از برخورد ذرات ساینده به سطح است [۱۵]. این لبه‌ها در نرخ‌های کرنش شدید (به دلیل سرعت بالای برخورد ذرات ساینده) تشکیل شده اند و به وسیله برخوردهای بعدی به سهولت کنده خواهند شد [۱۶]. در حین رفتگی برخوردهای زیادی صورت گرفته و لبه‌ها و حفرات متعدد و روی‌هم قرار گرفته‌ای تشکیل می‌گردد [۱]؛ به عبارت دیگر زمانی که سطح صاف نمونه اولیه در معرض برخورد ذرات ساینده قرار می‌گیرد، به دلیل مکانیزم‌های برشی<sup>۱</sup> و پارویی<sup>۲</sup>، تعداد بسیار زیادی لبه و حفره و ناهمواری تشکیل می‌شود [۱۵]. برخوردهای بعدی ممکن است در مناطق صاف بدون برخورد و یا در همان مکان‌های برخورد قبلی صورت گیرد. اگر ذره به مکان بکر برخورد کند، تولید لبه و حفره می‌کند، اما اگر به مکانی برخورد کند که پیش از آن توسط ذره‌ای دیگر ناهموار شده، ذره تمایل دارد که عمق حفره را بیشتر کرده و ماده تغییر شکل یافته کمتری تولید کند [۱]. همچنین ذرات برخوردی بعدی تمایل به جدا کردن لبه‌های تغییر شکل یافته‌ای که در برخوردهای پیشین تشکیل شده‌اند را دارند. به همین دلیل است که به نظر می‌آید لبه‌های نمونه شکل ۴ ب کوچکتر از لبه‌های نمونه ۴-الف است، زیرا غلظت بالاتر ذرات برخوردی به نمونه ۴-ب، علی‌رغم تشکیل لبه و ناهمواری بیشتر، کنده‌گی و جدا کردن بیشتر را نیز به همراه خواهد داشت.

### ۳-۳-آزمون‌های رفتگی- خوردگی

آزمون‌های رفتگی- خوردگی در محلول  $3/5\text{NaCl}$  درصد  $3/5$  و در غلظت‌های  $۳۰$ ،  $۶۰$  و  $۹۰$  گرم بر لیتر ذرات ساینده به مدت  $۴۵$  دقیقه انجام شد. نتایج آزمون‌های رفتگی- خوردگی در

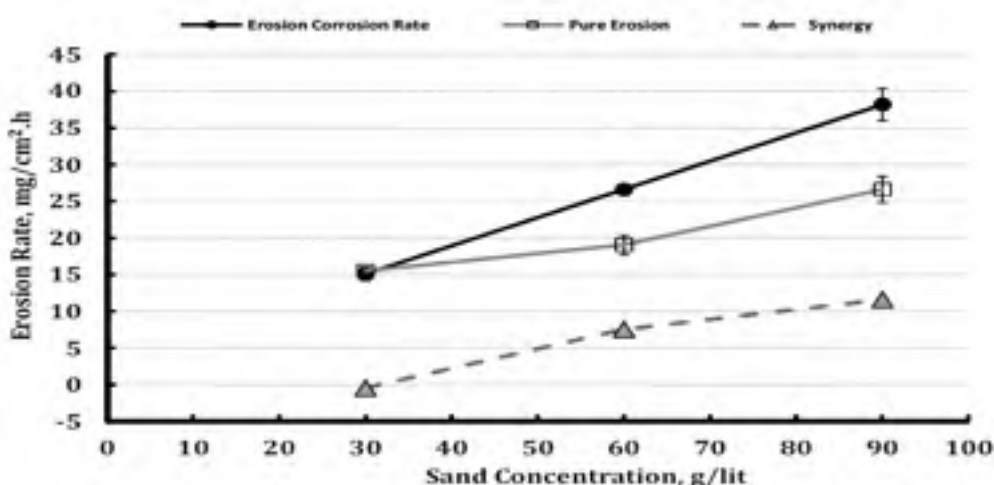
$۳۰$ ،  $۶۰$  و  $۹۰$  گرم بر لیتر انجام گردید. نرخ رفتگی آلیاژ در غلظت‌های مختلف ذرات ساینده در شکل ۳ نشان داده شده است. شکل ۳ نشان می‌دهد که نرخ رفتگی با افزایش غلظت ذرات ساینده افزایش می‌یابد که در توافق با تحقیقات پیشین صورت گرفته در ارتباط با اثر میزان ذرات ساینده بر نرخ رفتگی مواد است [۲، ۴ و ۶]. این افزایش در نرخ رفتگی ناشی از افزایش در تعداد ذرات برخوردی به سطح و در نتیجه میزان کندگی‌های بیشتر است. شکل ۳ نشان می‌دهد که با سه برابر شدن غلظت ذرات ساینده از  $۳۰$  به  $۹۰$  گرم بر لیتر، نرخ رفتگی کمتر از دو برابر (در حدود  $۲۲\%$ ) افزایش پیدا می‌کند که می‌تواند به دلیل افزایش نرخ کارسختی در غلظت‌های بالاتر ذرات ساینده باشد. کارسختی منجر به افزایش سختی سطح و در نتیجه مقاومت بیشتر در برابر برخورد ذرات می‌شود.



شکل ۲: منحنی پلاریزاسیون تافل آیاز AISI 420 در محلول  $3/5\text{NaCl}$  درصد  $3/5$

شکل ۴ تصاویر بدست آمده از میکروسکوپ الکترونی روبشی از سطح نمونه‌های رفتگی در غلظت‌های  $۳۰$  و  $۹۰$  گرم بر لیتر را نشان می‌دهد. مهمترین ویژگی سطوح رفتگی مواد نرم، تشکیل لبه‌ها و برآمدگی‌ها و نیز اثرات برشی ناشی

<sup>1</sup> Cutting  
<sup>2</sup> ploughing



شکل ۳: تغییرات نرخ رفتگی، رفتگی - خوردگی و میزان هم افزایی بین رفتگی و خوردگی برای آلیاژ AISI420 با افزایش غلظت ذرات ساینده در محلول  $3/5$  درصد  $\text{NaCl}$ .

خوردگی نمونه بسیار کمتر از (نسبت یک به میلیون) کمترین نرخ رفتگی - خوردگی به دست آمده در این پژوهش است، می‌توان از نرخ خوردگی در مقابل نرخ رفتگی - خوردگی صرف نظر کرد. بنابراین اختلاف بین نرخ رفتگی و نرخ رفتگی - خوردگی با توجه به مقدار بسیار پایین نسبی  $C$ ، ناشی از عبارت نرخ هم افزایی  $S$  است (روابط ۱ و ۲). برای بررسی بیشتر برهم کنش یا هم افزایی در پدیده رفتگی - خوردگی، میزان هم افزایی در غلظت های مختلف محاسبه و نتایج در شکل ۳ ارائه شده است که نشان می دهد در غلظت  $30 \text{ g/l}$  ذرات ساینده، هم افزایی منفی و با افزایش غلظت ذرات به  $60$  و  $90 \text{ g/l}$  برابر  $90 \text{ g/l}$  هم افزایی مثبت ایجاد می شود.

شکل ۳ آورده شده است. همانند آزمون رفتگی، با افزایش میزان ذرات ساینده از  $30$  به  $90 \text{ g/l}$  نرخ رفتگی - خوردگی در حدود  $15\%$  افزایش پیدا می کند. مقایسه شبیه منحنی های نرخ رفتگی و نرخ رفتگی - خوردگی بر حسب غلظت ذرات ساینده بیان گر وابستگی بیشتر نرخ رفتگی - خوردگی به غلظت نسبت به نرخ رفتگی است. همچنین در غلظت های  $60$  و  $90 \text{ g/l}$  بر لیتر ذرات ساینده، میزان نرخ رفتگی - خوردگی به ترتیب  $36\%$  و  $46\%$  بیشتر از نرخ رفتگی است؛ در حالی که در غلظت  $30 \text{ g/l}$  بر لیتر ذرات ساینده، نرخ رفتگی - خوردگی حدود  $3\%$  کمتر از نرخ رفتگی است که در محدوده خطای آزمایش می باشد. با توجه با اینکه نرخ



شکل ۴: تصاویر SEM سطوح رفتگی نمونه های فولادی در سرعت  $6/5 \text{ m/s}$  و زاویه برخورد  $50$  درجه در غلظت های الف:  $30 \text{ g/l}$  و ب:  $90 \text{ g/l}$  ذرات ساینده.

ثبت در غلظت‌های ۶۰ و ۹۰ گرم بر لیتر می‌شود. افزایش میزان هم افزایی در غلظت ۱/۹۰ g نسبت به ۱/۶۰ g مربوط به برخوردهای بیشتر ذرات ساینده و همچنین برهم کنش شدیدتر بین رفتگی و خوردگی در غلظت‌های بالاتر ذرات ساینده است [۴].

#### ۴- نتیجه‌گیری

- ✓ با افزایش غلظت ذرات ساینده موجود در محلول، نرخ رفتگی و رفتگی- خوردگی فولاد زنگ نزن مارتزیتی AISI 420 افزایش پیدا می‌کند.
- ✓ نتایج نشان دهنده هم افزایی ثابت در غلظت ۶۰ و ۹۰ گرم بر لیتر و هم افزایی منفی در غلظت ۱/۳۰ g ذرات ساینده بود. همچنین با افزایش غلظت ذرات ساینده، میزان هم افزایی رفتگی و خوردگی افزایش یافت.
- ✓ لبه‌های برشی مهمترین مشخصه سطوح رفتگی است که این لبه‌های برشی در تصاویر SEM نیز مشاهده گردید.
- ✓ تنها در سطح نمونه رفتگی- خوردگی در غلظت ۱/۳۰ g، محصولات خوردگی مشاهده گردید که عاملی برای ایجاد هم افزایی منفی در این شرایط بود.

شکل ۵ تصاویر SEM سطوح نمونه‌های رفتگی- خوردگی در غلظت‌های ۳۰ و ۹۰ گرم بر لیتر ذرات ساینده را نشان می‌دهد. سطح نمونه رفتگی- خوردگی در غلظت ۱/۳۰ g در شکل ۵-الف پوشیده از محصولات خوردگی است، به نحوی که نمی‌توان جهت برخورد ذرات را تشخیص داد. وجود این محصولات و فیلم‌های ناشی از خوردگی که می‌تواند در برابر تعداد برخورد کمتر ذرات در این غلظت (۱/۳۰ g) مقاومت کرده و باعث کاهش نرخ برداشت فلز نسبت به حالت رفتگی (تحت حفاظت کاتدی) گردند [۳]. این منجر به ایجاد هم افزایی منفی در غلظت ۱/۳۰ g می‌شود. سطح نمونه رفتگی- خوردگی در غلظت ۱/۹۰ g در شکل ۵-ب) نشان می‌دهد که علاوه بر مشخصه‌های رفتگی مکانیکی مانند لبه‌های برشی ، نقاط تیره‌ای روی سطح وجود دارند که می‌توانند ناشی از خوردگی موضعی (حفره‌دارشدن) باشد [۱۸و۱۴]. همچنین اثری از فیلم‌های خوردگی مشاهده شده در سطح نمونه رفتگی- خوردگی در غلظت ۱/۳۰ g بر سطح آن مشاهده نشد. این می‌تواند به دلیل افزایش در تعداد ذرات برخوردی به سطح باشد که منجر به کاهش پایداری فیلم‌های سطحی می‌شود. به عبارت دیگر نرخ برداشت فیلم از نرخ ایجاد آن بیشتر شده است. این باعث ایجاد هم افزایی



شکل ۵: تصاویر SEM از سطوح نمونه‌های رفتگی- خوردگی در سرعت برخورد ۶/۵ m/s و زاویه برخورد ۵۰ درجه در غلظت‌های الف: ۱/۳۰ g و ب: ۱/۹۰ g.

## مراجع

1. S. S. Rajahram, T.J. Harvey, R.J.K. Wood, "Electrochemical investigation of erosion-corrosion using a slurry pot erosion tester", *Tribology International*, 44, 2011, 232-240.
2. S.S. Rajahram, T.J. Harvey, R.J.K. Wood, "Evaluation of a semi-empirical model in predicting erosion-corrosion", *Wear*, 267, 2009, 1883-1893.
3. R.C. Barik, J.A. Wharton, R.J.K. Wood, K.S. Tan, K.R. Stokes, "Erosion and erosion-corrosion performance of cast and thermally sprayed nickel-aluminium bronze", *Wear*, 259, 230-242.
4. S.S. Rajahram, T.J. Harvey, R.J.K. Wood, "Erosion-corrosion resistance of engineering materials in various test conditions", *Wear*, 267, 244-254.
5. W. Tsai, J.A.C. Humphrey, I. Cornet, A.V. Levy, "Experimental measurement of accelerated erosion in a slurry pot tester", *Wear*, 68, 298-303.
6. X. Hu, A. Neville, "The electrochemical response of stainless steels in liquid-solid impingement", *Wear*, 258, 641-648.
7. H.X. Guo, B.T. Lu, J.L. Luo, "Study on passivation and erosion-enhanced corrosion resistance by Mott-Schottky analysis", *Electrochimica Acta*, 52, 1108-1116.
8. Revie, R. Winston, Uhlig's Corrosion Handbook, 2011, John Wiley & Sons.
9. D. López, J.P. Congote, J.R. Cano, A. Toro, A.P. Tschiptschin, "Effect of particle velocity and impact angle on the corrosion-erosion of AISI 304 and AISI 420 stainless steels", *Wear*, 259, 118-124.
10. A. Nasery Isfahany, H. Saghaian, G. Borhani, "The effect of heat treatment on mechanical properties and corrosion behavior of AISI420 martensitic stainless steel", *Journal of Alloys and Compounds*, 509, 3931-3936.
11. M.C. Tsai, C.S. Chiou, J.S. Du, J.R. Yang, "Phase transformation in AISI 410 stainless steel", *Materials Science and Engineering: A*, 332, 1-10.
12. خلیل رنجبر، محمد پیرنیا، شاپور مرادی، ابراهیم حاجی دولو، "اثر پارامترهای آب تغذیه بر تخریب پرهای توربین کم فشار در یک واحد نیروگاه بخار"، پنجمین همایش مشترک مهندسی و علم مواد، اصفهان، ایران، آبان، ۹۰.
13. J.S Dubey, S.L Wadekar, J.K Chakravartty, "Elevated temperature fracture toughness of AISI 403 martensitic stainless steel", *Journal of Nuclear Materials*, 254, 271-274.
14. علیرضا ناصری اصفهانی، حسن ثقفیان، غلامحسین برhanی و محمد علی سلطانی، "تأثیر عملیات حرارتی بر بهبد مقاومت به خوردگی-رفتگی فولاد AISI 420" دهمین سمینار ملی مهندسی سطح، اصفهان، ایران، اردیبهشت ۸۸.
15. I. Hutchings, *Tribology, Friction and Wear of Engineering Materials*, 1992, Cambridge.
16. R.C. Barik, J.A. Wharton, R.J.K. Wood, K.R. Stokes, "Electro-mechanical interactions during erosion-corrosion", *Wear*, 267, 1900-1908.
17. H. Zeisel, F. Durst, "Computations of erosion-corrosion processes in separated two-phase flows", *NACE Corrosion*, NACE 1990.
18. H. M. Ghasemi, M. Karimi, A. Pasha, M. Abedini, " Erosion-Corrosion Behavior Of 316-SS In Seawater Simulated Environment At Various Impingement Angles", Regional Tribology Conference, Bayview Hotel, Langkawi Island, Malaysia, 22-24 November 2011.

# تأثیر ترکیب گاز در عملیات نیتراسیون پلاسمایی بر مقاومت به خوردگی فولاد زنگ نزن آستینیتی ۳۰۴ نیتریده شده

علیرضا اکبری<sup>\*</sup><sup>۱</sup>، صمد وکیلی<sup>\*</sup><sup>۲</sup>

<sup>۱</sup> دانشیار، گروه مهندسی سطح، مرکز تحقیقات مواد پیشرفته، دانشکده مهندسی مواد، دانشگاه صنعتی سهند  
<sup>۲</sup> کارشناس ارشد مهندسی خوردگی  
\* نویسنده مسئول: akbari@sut.ac.ir

تاریخ دریافت: ۱۳۹۰/۱۲/۲۵      تاریخ پذیرش: ۱۳۹۱/۰۳/۳۰

## چکیده

در این مقاله تأثیر مقدار نیتروژن محتوی در ترکیب گاز پلاسما روی مقاومت به خوردگی فولاد زنگ نزن آستینیتی ۳۰۴ نیتریده شده مورد مطالعه قرار گرفته است. فرایند نیتروژن دهی در دمای  $450^{\circ}\text{C}$  با استفاده از تجهیزات نیتراسیون پلاسمایی جریان مستقیم (DC) در مخلوط گازی  $\text{N}_2\text{-H}_2$  حاوی ۲۵٪، ۵۰٪ و ۷۵٪ نیتروژن انجام گرفت. ترکیب فازی، ضخامت لایه نیتریدی و سختی سطحی نمونه ها به ترتیب با استفاده از آنالیز های پراش اشعه X، بررسی های میکروسکوپ الکترونی روشی (SEM) و آزمون های ریزسختی سنجی تعیین گردید. مقاومت به خوردگی نمونه ها با انجام آزمون های پلاریزاسیون پتانسیودینامیک در محلول  $\text{NaCl}$  ۳/۵٪ با استفاده از یک سلول سه الکترودی استاندارد مورد ارزیابی قرار گرفت. نتایج نشان داد که با افزایش دما و غلظت نیتروژن در ترکیب گاز پلاسما، ضخامت و سختی لایه های نیتریدی افزایش پیدا می کند. نیتراسیون در دمای  $500^{\circ}\text{C}$  و در غلظت های ۵۰٪ و ۷۵٪ نیتروژن در دمای  $450^{\circ}\text{C}$  منجر به تشکیل رسوبات نیترید کروم علاوه بر آستینیت انبساط یافته شده و منجر به کاهش مقاومت به خوردگی فولاد زنگ نزن آستینیتی ۳۰۴ می شود. نیتریده کردن فولاد زنگ نزن ۳۰۴ در دمای  $450^{\circ}\text{C}$  تنها در غلظت های کم نیتروژن (۲۵٪) منجر به افزایش مقاومت به خوردگی می شود. تغییرات سختی و رفتار خوردگی نمونه های نیتریده شده بر اساس میزان نیتروژن و فاز های تشکیل شده در ساختار لایه نیتریدی مورد بحث و تجزیه و تحلیل قرار گرفت.

**کلمات کلیدی:** مقاومت به خوردگی، نیتراسیون پلاسمایی، فولاد زنگ نزن آستینیتی، سختی سطحی، خوردگی حفره ای.

# Effect of Plasma Gas Composition on the Corrosion Resistance of Nitrided 304 Austenitic Stainless Steel

Alireza Akbari \*<sup>1</sup>, Samad Vakili <sup>2</sup>

1. Associate Professor, Surface Engineering Group, Advanced Materials Research Center, Faculty of Materials Engineering, Sahand University of Technology

2. M. Sc. in Corrosion science & engineering

\* Corresponding Author: akbari@sut.ac.ir

Submission: March 14, 2012      Acceptance: June 19, 2012

## Abstract

In this paper, the influence of nitrogen content in the plasma gas on the corrosion resistance of austenitic stainless steel (304) was studied. Plasma nitriding was performed using a direct current (DC) glow discharge reactor at temperatures of 450°C and 500°C using H<sub>2</sub>-N<sub>2</sub> gas mixtures containing different nitrogen concentrations of 25%, 50% and 75%. Phase composition, nitrided case depth and surface hardness of nitride layer were determined using X-ray diffraction analysis, Scanning Electron Microscope (SEM) observations and microhardness measurements respectively. Corrosion resistance of samples was evaluated by performing potentiodynamic polarization tests which were carried out in 3.5% NaCl solution using a standard three-electrode cell. The results showed that with increasing process temperature and nitrogen concentration in the plasma gas, thickness and hardness of nitrided layers is increased. Plasma nitriding at 500°C and nitrogen concentrations of 50% and 75% at 450°C leads to the formation of chromium nitride precipitates besides the expanded austenite and therefore reduction of corrosion resistance. Plasma nitriding of the 304 stainless steel at 450°C will lead to increased corrosion resistance only using low concentrations of nitrogen (25%) in the plasma gas. Variations in hardness and corrosion resistance of the nitrided samples were discussed based on the nitrogen content and phase composition of the nitride layers.

**Keywords:** Corrosion Resistance, Plasma Nitriding, Austenitic Stainless Steel, Surface Hardness, Pitting Corrosion.

## ۱- مقدمه

از نواحی مجاور رسوبات مذکور، باعث از بین رفتن پیوستگی لایه متراکم اکسیدی شده و بنابراین مقاومت به خوردگی فولادهای زنگ نزن آستینتی کاهش می‌یابد [۱۲ و ۱۵].

به طور کلی، تأثیر پارامترهای مختلف از جمله دما، فشار گاز و زمان نیتراسیون بر سختی سطحی، مقاومت سایشی و مقاومت خوردگی فولادهای زنگ نزن آستینتی نیتریده شده مورد تحقیق و بررسی قرار گرفته است [۹ و ۱۰ و ۱۵ و ۱۷ و ۲۱]. با این وجود، شرایط بهینه مناسبی جهت انجام نیتراسیون پلاسمایی و حصول خواص مناسب مورد نیاز در دسترس نبوده و نیازمند مطالعات بیشتری در این زمینه می‌باشد. در این مقاله تأثیر غلظت نیتروژن در ترکیب گاز مورد استفاده در عملیات نیتراسیون پلاسمایی در دماهای  $45^{\circ}\text{C}$  و  $50^{\circ}\text{C}$  بر مقاومت به خوردگی فولاد زنگ نزن آستینتی مورد بررسی قرار گرفته است. با توجه به این که دمای  $45^{\circ}\text{C}$  به عنوان دمای مرز برای تشکیل رسوبات نیترید کروم به شمار می‌رود، عدمه آنالیزهای ساختاری و مقاومت به خوردگی برای این دما مورد بررسی قرار گرفته است.

## ۲- مواد و روش تحقیق

نمونه‌های استوانه‌ای شکل با ضخامت ۹ و قطر ۳۰ میلی‌متر از جنس فولاد زنگ نزن آستینتی ۳۰۴ با ترکیب شیمیایی مندرج در جدول ۱ با برش از یک میلگرد طولانی تهیه شد. ترکیب شیمیایی عنصری فولاد اولیه با استفاده از آنالیز کوانتومتری تعیین گردید. سطح یک طرف تمامی نمونه‌ها تا شماره ۳۰۰۰ سنباده زنی شده، سپس توسط خمیر الماسه با اندازه دانه ۱ میکرون پولیش و صیقلی شد. قبل از انتقال به داخل محفظه نیتراسیون، نمونه‌ها در حمام‌های تمیز کاری مافق صوت حاوی استون و متانول هر کدام به مدت ۱۰ دقیقه چربی زدایی شده و سپس با جریان آب قطر شستشو داده شدند.

عملیات نیتروژن دهی پلاسمایی فولاد زنگ نزن آستینتی ۳۰۴ با استفاده از تجهیزات نیتراسیون پلاسمایی بر اساس تخلیه

فولادهای زنگ نزن آستینتی خانواده مهمی از مواد مهندسی هستند که به دلیل دارا بودن مقاومت به خوردگی و اکسایش بالا، استحکام مکانیکی مناسب، قابلیت شکل پذیری بسیار خوب و مقاومت به خروش در بسیاری از صنایع از جمله صنایع شیمیایی، غذایی، نفت و معماری برای ساخت تجهیزات و راکتورهای تولید مواد شیمیایی، محفظه‌های خلا، کندانسورها، مبدل‌های حرارتی، تجهیزات پزشکی و ظروف آشپزخانه کاربرد دارند [۱]. در بسیاری از کاربردها علاوه بر مقاومت به خوردگی، سختی بالا و مقاومت به سایش نیز مورد نیاز است. سختی پایین این فولادها باعث شده تا مقاومت به سایش این فولادها پایین باشد. در قطعات متحرک، این فولادها حین تماس با یکدیگر و یا قطعات دیگر دچار سایش می‌شوند [۲-۴]. راههای متعددی برای افزایش سختی سطحی و مقاومت به سایش در این فولادها مطالعه شده است [۵]. در سال‌های اخیر، نیتراسیون پلاسمایی فولادهای زنگ نزن آستینتی در دماهای پایین، به صورت وسیعی مورد مطالعه و بررسی قرار گرفته و هم‌اکنون به صورت صنعتی نیز مورد استفاده قرار می‌گیرد [۵-۱۶]. در دماهای پایین فرایند، در اثر نفوذ نیتروژن یک لایه غنی از نیتروژن به صورت محلول جامد بین نشین در سطح فولاد تشکیل می‌شود. انحلال مقادیر زیاد نیتروژن به صورت محلول جامد منجر به انبساط شبکه آستینت می‌شود. تشکیل فاز آستینت انبساط یافته [۵ و ۱۴ و ۱۶]، نه تنها منجر به بهبود مقاومت سایشی و سختی سطحی می‌شود، بلکه مقاومت به خوردگی فولادهای زنگ نزن آستینتی را نیز بهبود می‌بخشد [۵ و ۱۰ و ۱۲ و ۱۵-۲۰].

تحقیقات نشان داده است [۱۲ و ۱۵] که نیتراسیون پلاسمایی فولادهای زنگ نزن آستینتی در دماهای بالا، علی‌رغم بهبود سختی سطحی و مقاومت سایشی، باعث افت مقاومت به خوردگی این فولادها می‌شود. از آنجا که مقاومت به خوردگی فولادهای زنگ نزن آستینتی مدیون تشکیل لایه متراکم اکسید کروم می‌باشد، نیتراسیون پلاسمایی در دماهای بالا، باعث رسوب نیترید کروم شده و لذا تخلیه کروم

۲۵۰ mV کمتر و ۱۲۵۰ mV بیشتر از پتانسیل مدار باز ثبت گردید.

### ۳- نتایج و بحث

الگوهای پراش اشعه ایکس نمونه های فولاد زنگ نزن آستینیتی ۳۰۴، قبل و بعد از نیتراسیون پلاسمایی در دمای  $450^{\circ}\text{C}$  در شکل ۱ نشان داده شده است. الگوی پراش اشعه ایکس نمونه نیتریده نشده (اولیه)، حاوی پیک های فاز آستینیت است که شدیدترین پیک در زاویه  $43/58^{\circ}$  درجه ظاهر شده است. پیک ایجاد شده در زاویه  $44/3^{\circ}$  درجه مربوط به فاز مارتنتیت بوده و به احتمال زیاد از استحاله فازی آستینیت در سطح نمونه در اثر کار مکانیکی ناشی از سنباده زنی در مرحله آماده سازی نمونه حاصل شده است. در الگوهای تفرق نمونه های نیتریده شده پیک های مربوط به تشکیل فاز آستینیت انسپاکت یافته ظاهر شده اند که با  $7\text{ Nm}$  در شکل مشخص شده اند. شدت پیک های  $7\text{ Nm}$  با افزایش مقدار نیتروژن در ترکیب گاز پلاسما افزایش پیدا کرده است. در حالی که در ترکیب گاز  $N_2/25\%$ ، شدیدترین پیک فاز آستینیت انسپاکت یافته یعنی پیک  $(100)_{7\text{ Nm}}$  به صورت یک پیک شانه ای و ادغام شده با پیک اصلی آستینیت یعنی  $(100)$  ظاهر شده است، با افزایش مقدار نیتروژن در ترکیب گاز پلاسما شدت این پیک زیاد شده و میزان جایه جایی آن نیز به سمت زوایای کوچک تر بیشتر می شود. بزرگترین شدت و بیشترین جایه جایی پیک  $(100)_{7\text{ Nm}}$  در ترکیب گاز حاوی  $75\%$  نیتروژن به دست آمده است. از آنجا که میزان جایه جایی پیک های فاز آستینیت انسپاکت یافته بستگی به درصد نیتروژن حل شده در ساختار آستینیت دارد [۲۲]، لذا می توان انتظار داشت با افزایش مقدار نیتروژن در ترکیب گازی میزان نیتروژن حل شده در آستینیت بیشتر شود. در الگوی پراش اشعه ایکس نمونه های نیتریده شده در غلظت  $50\%$  و  $75\%$  نیتروژن (شکل ۱)، پیک های جدیدی مربوط به فاز نیترید کروم ظاهر شده است. با افزایش غلظت نیتروژن در ترکیب گازی ورودی، پیک های مربوط به رسوبات نیترید کروم باشدت بیشتری ظاهر می شوند.

الکتریکی نورانی جریان مستقیم (dc) با ولتاژ اعمالی  $520\text{ V}$  ولت و شدت جریان  $2\text{ A}$  امپر انجام گرفت. کلیه نمونه ها در دو دمای  $450^{\circ}\text{C}$  و  $500^{\circ}\text{C}$  به مدت  $6$  ساعت در سه ترکیب مختلف گازی  $H_2/25\% N_2/75\%$  و  $H_2/50\% N_2/25\%$  تحت عملیات نیتروژن دهی قرار گرفتند. به منظور بررسی ساختار و نوع فازهای تشکیل شده، از دستگاه پراش اشعه ایکس ADVANCED-D8 BRUKER پرتو Cu-K $\alpha$  (با طول موج  $\lambda=1.5405\text{ \AA}$ ، تحت ولتاژ  $40\text{ mA}$  و جریان  $40\text{ KeV}$  استفاده شد. ثبت الگوهای تفرق از زاویه  $20^{\circ}$  الی  $100^{\circ}$  درجه و با گام زاویه ای  $0.5^{\circ}$  درجه و زمان شمارش یک ثانیه در هر گام زاویه ای صورت پذیرفت. جهت ارزیابی لایه نیتریدی تشکیل شده و همچنین مشاهده تغییرات مورفولوژی سطحی در بزرگنمایی های بالاتر، از دستگاه SEM ساخت شرکت CamScan مدل MV 2300 استفاده شد.

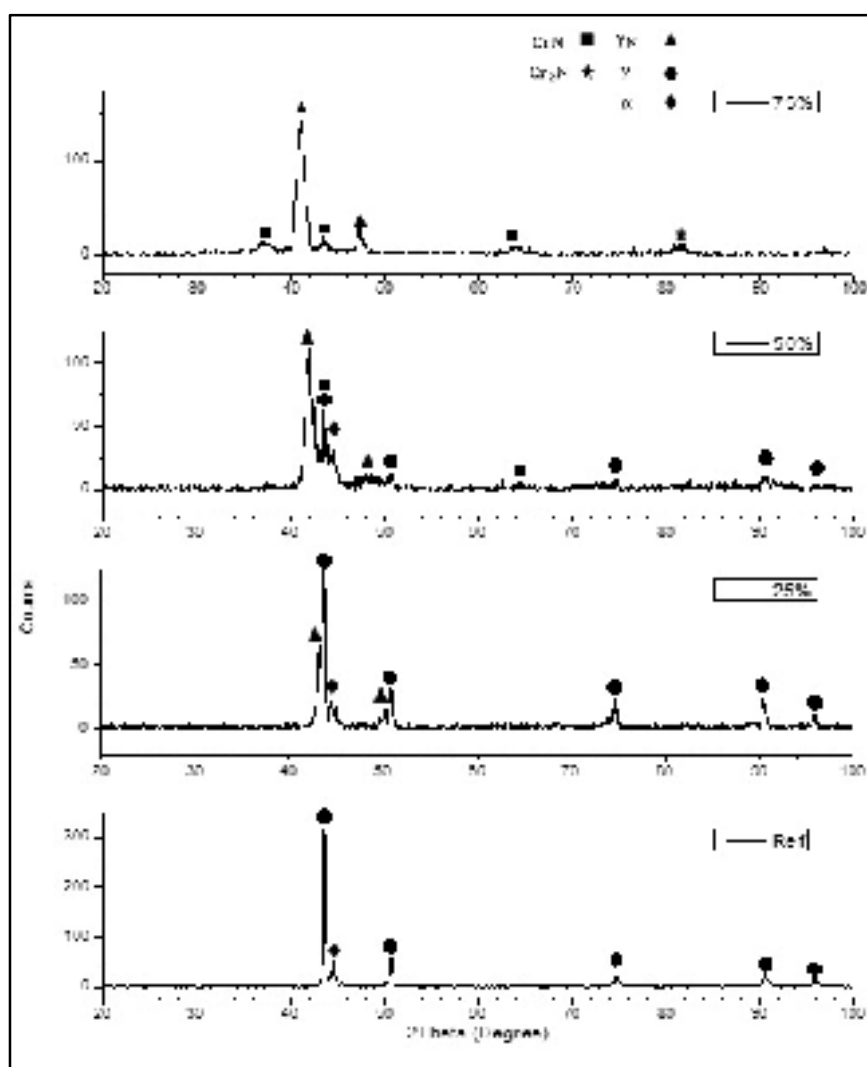
اندازه گیری ضخامت لایه نیتریدی با استفاده از تصاویر SEM از سطح مقطع نمونه ها و نرم افزار Clemex صورت گرفت. برای اندازه گیری سختی سطحی نمونه ها قبل و بعد از عملیات نیتراسیون پلاسمایی، از دستگاه ریزسختی سنج MDPEL-M400 GL استفاده شد. ریز سختی سنجی با استفاده از فرورونده ویکرز با بار اعمالی  $50\text{ gF}$  و مدت زمان اعمال بار  $5\text{ s}$  انجام یافت. سختی سنجی از سه نقطه سطحی با فاصله کافی از همدیگر و از لبه نمونه ها انجام و مقدار متوسط آنها به عنوان مقدار عددی سختی و انحراف معیار داده های فوق به عنوان محدوده خطای گزارش گردید. آزمایش پلاریزاسیون مطابق استاندارد ASTM G5-94 با استفاده از دستگاه پتانسیو استات ZAHNER انجام پذیرفت. قبل از آزمون های خوردگی سطح تمامی نمونه ها با استفاده از استون به مدت  $10\text{ min}$  در داخل حمام تمیز کاری مأمور صوت چربی زدایی و تمیز شد. آزمایش مذکور با استفاده از یک سلول سه الکترودی، شامل الکترود کار (نمونه مدنظر)، الکترود شاهد (کالومل اشباع) و الکترود مخالف (از جنس پلاتین و با مساحت  $1\text{ cm}^2$ ) و در محلول  $3/5\text{ NaCl}$  انجام گرفت. نمودارهای پلاریزاسیون در محدوده پتانسیل اعمالی

جدول ۱: ترکیب شیمیایی عنصری فولاد زنگ نزن آستینیتی ۳۰۴ بر اساس آنالیز کواتومتری

%C	%Ni	%Cr	%Mn	%Si	%P	%S	%N	%Mo
۰/۰۲۹	۸/۰۲۰	۱۸/۹۵۸	۰/۳۲۱	۰/۴۲۷	۰/۰۵۹	۰/۰۳۳	۰/۰۷۸	۰/۳۲۱
%Co	%Cu	%Nb	%Ti	%V	%W	%Sn	%Al	%Fe
۰/۳۴۰	۰/۷۵۰	۰/۰۵۲	۰/۰۳۲	۰/۰۷۵	۰/۰۴۸	۰/۰۱۶	۰/۰۵۲	تعادل

نیتراسیون پلاسمایی فولادهای زنگ نزن آستینیتی به شمار می‌رود، لذا افزایش غلظت نیتروژن نیز به عنوان عاملی در جهت تشکیل فاز نیترید کروم نقش مهمی را بازی می‌کند. در دمای نیتراسیون  $500^{\circ}\text{C}$ ، بررسی الگوهای پراش اشعه ایکس حاکی از تشکیل رسوبات نیترید کروم در تمامی ترکیب‌های گاز پلاسمایی مورد مطالعه است.

این امر نشان‌گر افزایش درصد حجمی رسوبات نیترید کروم با افزایش مقدار نیتروژن محلول فاز آستینیت است. این فاز بیشتر در مرزدانه‌ها رسوب می‌کند. با این که تشکیل رسوب نیترید کروم وابسته به دما بوده [۲۳] و در نیتراسیون در دمای بالا اتفاق می‌افتد، ولی با توجه به این که دمای  $450^{\circ}\text{C}$ ، به عنوان دمای مرز تشکیل رسوبات نیترید کروم در

شکل ۱: الگوهای پراش اشعه ایکس فولاد AISI 304 قبل و بعد از نیتراسیون پلاسمایی در دمای  $450^{\circ}\text{C}$  و به مدت ۶ ساعت.

نیتروژن در شبکه آستینیت بیشتر می‌شود. از آنجا که نیتروژن به صورت بین نشین در شبکه آستینیت حل می‌شود، مقدار نیتروژن حل شده تاثیر به سزایی در افزایش سختی خواهد داشت. لذا درصد وزنی بالای نیتروژن منجر به انبساط بیشتر شبکه بلوری آستینیت می‌شود. لازم به ذکر است که هر قدر مقدار نیتروژن محلول در شبکه آستینیت بیشتر شود بعد از خنک شدن نمونه تا دمای محیط تنفس پسماند فشاری بالاتری در لایه نیتریدی ایجاد می‌شود. در حضور تنفس های پسماند فشاری مقدار سختی بالاتری اندازه گیری می‌شود. از طرف دیگر با افزایش دما رسوبات نیترید کروم به راحتی و در مقادیر زیادتری در ساختار لایه نیتریدی ایجاد می‌شود. بررسی‌های ریزاساختاری در مطالعات قبلی [۲۴] نشان داده اند که در کنار تشکیل رسوبات نیتریدی درشت عمده‌تا در مرز دانه‌ها، رسوبات خیلی ریز نیترید کروم در داخل دانه‌ها نیز تشکیل می‌شوند. تشکیل رسوبات نیتریدی سخت پراکنده شده در ساختار باعث افزایش سختی می‌شود.

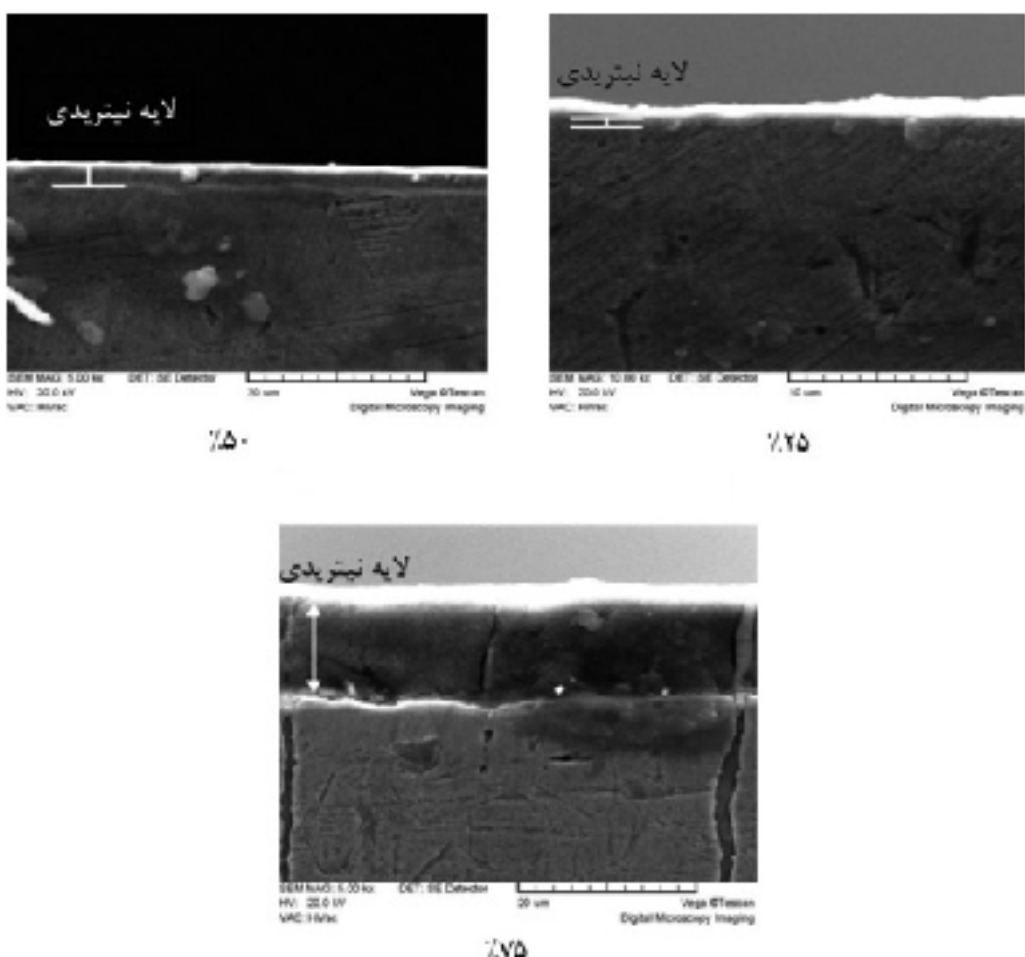
غاظت نیتروژن در گاز پلاسما نیز از نظر میزان نیتروژن محلول در شبکه آستینیت و میزان رسوبات نیترید کروم در سختی لایه نیتریدی تاثیرگذار است. با افزایش دما و غاظت نیتروژن در ترکیب گاز پلاسما ضخامت لایه نیتریدی نیز زیاد می‌شود. با توجه با اینکه مقدار بار اعمالی در اندازه گیری سختی ثابت بود در نمونه هایی با ضخامت کمتر که عمق نفوذ فرو رونده می‌تواند قابل توجه بوده و سختی لایه می‌تواند متاثر از سختی کم‌زیر لایه باشد.

منحنی‌های پلاریزاسیون نمونه‌های فولاد زنگ نزن آستینیتی نیتریده شده در دمای  $450^{\circ}\text{C}$  و در غاظت‌های مختلف نیتروژن در ترکیب‌های گاز پلاسما در شکل ۵ نشان داده شده است. در نمونه‌های نیتریده شده، پتانسیل خوردگی نسبت به نمونه اولیه به مقادیر مثبت تر انتقال یافته است. بیشترین انتقال در نمونه نیتریده شده در ترکیب گاز حاوی ۲۵٪ نیتروژن اتفاق افتاده است. انتقال پتانسیل خوردگی به سمت مقادیر مثبت از نظر ترمودینامیکی، نشان دهنده افزایش مقاومت به خوردگی با انجام نیتراسیون پلاسمایی است.

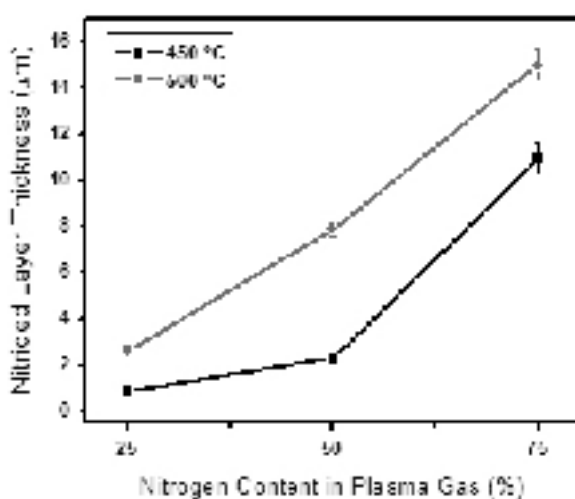
تصاویر میکروسکوپ الکترونی رویشی از سطح مقطع نمونه‌های نیتریده شده در دمای  $450^{\circ}\text{C}$  و در ترکیب‌های مختلف گاز ورودی در شکل ۲ نشان داده شده است. شکل ۳ تغییرات ضخامت لایه نیتریدی برای نمونه‌های نیتریده شده در دمای  $450^{\circ}\text{C}$  و  $500^{\circ}\text{C}$  را بر حسب مقدار نیتروژن در ترکیب گاز پلاسما نشان می‌هد. در دمای  $500^{\circ}\text{C}$  لایه نیتریده شده ضخیم تری نسبت به دمای  $450^{\circ}\text{C}$  به دست آمده است. این امر می‌تواند ناشی از ضربی نفوذ بالاتر نیتروژن در دمای  $500^{\circ}\text{C}$  باشد.

با افزایش مقدار نیتروژن در ترکیب گاز پلاسما در هر دو دما ضخامت لایه نیتریده شده افزایش می‌یابد؛ به طوری که کمترین ضخامت لایه نیتریدی در دمای  $450^{\circ}\text{C}$  و  $500^{\circ}\text{C}$  در ترکیب گاز پلاسما حاوی ۲۵٪ به ترتیب به بزرگی  $0.9\text{ }\mu\text{m}$  و  $2.6\text{ }\mu\text{m}$  و بیشترین ضخامت لایه نیتریدی در این دمایا در در ترکیب گاز پلاسما حاوی ۷۵٪ نیتروژن به ترتیب  $11\text{ }\mu\text{m}$  و  $15\text{ }\mu\text{m}$  به دست آمده است. افزایش ضخامت لایه نیتریدی بر حسب ترکیب گاز را می‌توان به افزایش غاظت سطحی نیتروژن در سطح فولاد ربط داد که با افزایش غاظت  $\text{N}_2$  در ترکیب گاز ورودی، بیشترین ضخامت لایه نیتریدی در اختلف غاظت بزرگتری بین سطح و عمق نمونه از نظر غاظت نیتروژن محلول به وجود آمده و نیروی محرکه بزرگتری برای نفوذ نیتروژن فراهم می‌شود. این امر باعث تسريع در امر نفوذ شده و پروفیل نیتروژن پهن‌تر و ضخامت لایه نیتریدی بزرگتری به وجود می‌آید.

تاثیر غاظت نیتروژن بر سختی سطحی فولاد زنگ نزن آستینیتی ۳۰۴، قبل و بعد از نیتراسیون پلاسمایی در شکل ۴ نشان داده شده است. به طور کلی عملیات نیتراسیون پلاسمایی باعث افزایش سختی سطحی قطعه می‌شود. میزان افزایش سختی سطحی با افزایش دمای فرایند نیتراسیون و افزایش غاظت نیتروژن در ترکیب گاز ورودی، افزایش می‌یابد. بیشترین مقدار سختی در دمای نیتراسیون  $500^{\circ}\text{C}$  در غاظت ۷۵٪ نیتروژن و به میزان  $1424\text{ HV}_{0.05}$  به دست آمده است. تاثیر دما روی سختی لایه نیتریده شده از دو نظر قابل بررسی است. اول این که با افزایش دما میزان حلالیت



شکل ۲: تصاویر میکروسکوپ الکترونی روبشی تهیه شده از سطح مقطع نمونه فولاد زنگ نزن ۳۰۴ بعد از عملیات نیتراسیون پلاسمایی در دمای ۴۵۰°C و با غلظت های مختلف نیتروژن.

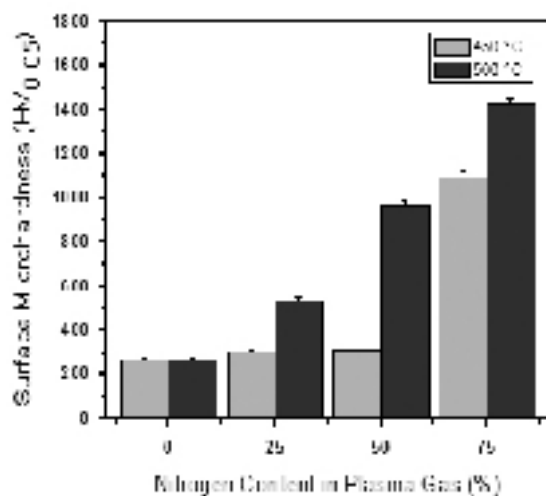


شکل ۳: ضخامت لایه نیتریدی بر حسب میزان نیتروژن در ترکیب گاز ورودی نیتراسیون پلاسمایی فولاد زنگ نزن آستینیتی ۳۰۴.

شکل ۶ مقادیر چگالی جریان خوردگی محاسبه شده از نمودارهای پلاریزاسیون نمونه های نیتریده نشده و نیتریده شده در دماهای ۴۵۰°C و ۶۰۰°C بر حسب غلظت نیتروژن در ترکیب گاز پلاسما را نشان می دهد. ملاحظه می شود تنها چگالی جریان نمونه نیتریده شده در دمای ۴۵۰°C در ۲۵٪ N<sub>2</sub> نسبت به نمونه نیتریده نشده کمتر بوده و مقاومت به خوردگی آن بیشتر است. در دماهای ۴۵۰°C با افزایش غلظت نیتروژن چگالی جریان خورگی نمونه های نیتریده شده افزایش و مقاومت به خوردگی آنها کاهش می یابد؛ به طوری که کمترین مقاومت به خوردگی مربوط به نمونه نیتریده شده در غلظت N<sub>2</sub> ۷۵٪ می شود. در دماهای ۵۰۰°C در هر سه ترکیب گاز مطالعه شده نمونه های نیتریده شده مقاومت به خوردگی کمتری از نمونه نیتریده نشده

چگالی جریان خوردگی تا حدودی کمتر از مقادیر گزارش شده در شکل ۶ خواهد بود.

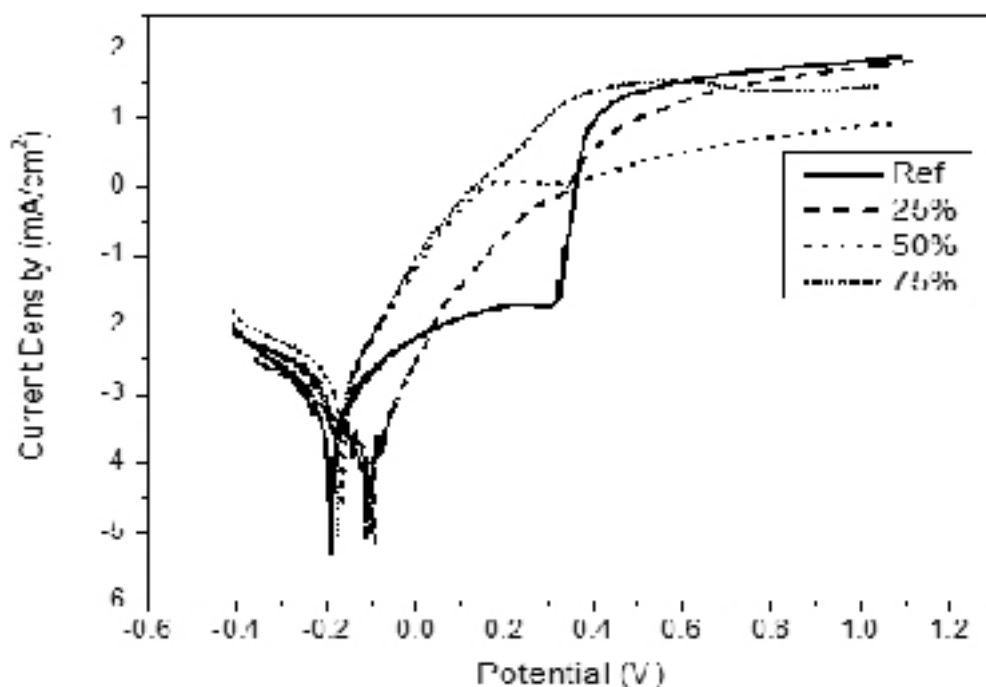
بررسی دقیق‌تر منحنی‌های پلاریزاسیون مطابق شکل ۵ نشان می‌دهد که نمونه نیتریده نشده در چگالی جریان نشان می‌دهد که نمونه نیتریده نشده در چگالی جریان ۰/۰۲ mA/cm<sup>2</sup> رفتار روین از خودنشان می‌دهدو لایه روین تشکیل شده تا پتانسیل حدود ۷/۳۱ پایدار باقی می‌ماند.



شکل ۴: تأثیر غلظت نیتروژن بر سختی سطحی در عملیات نیتراسیون پلاسمایی فولاد زنگ نزن آستینیتی ۳۰۴.

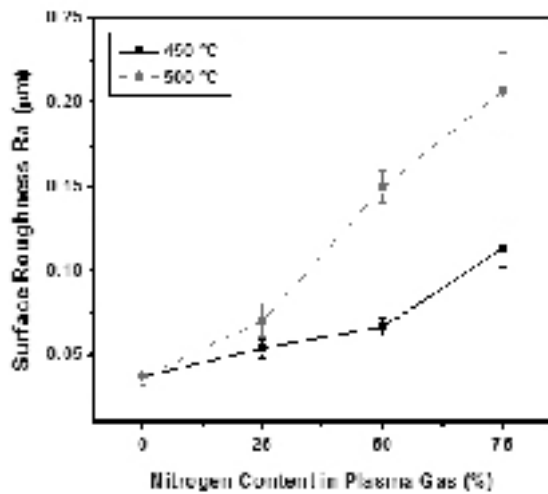
دارند. در دمای ۴۵۰°C مقاومت به خوردگی وابستگی بیشتری نسبت به ترکیب گاز پلاسما و در نتیجه مقدار نیتروژن نفوذ کرده به داخل قطعه از خود نشان می‌دهد. علت افزایش سرعت خوردگی و کاهش مقاومت به خوردگی با افزایش غلظت گاز در دمای ۴۵۰°C و پایین بودن مقاومت به خوردگی نمونه‌های نیتریده شده در دمای ۵۰۰°C به تشکیل رسوبات نیترید کروم در لایه نیتریدی مربوط می‌شود.

لازم به ذکر است که چگالی جریان خوردگی گزارش شده در شکل ۶ با تقسیم جریان خوردگی اندازه‌گیری شده به مساحت اسمی (اولیه) نمونه محاسبه شده است؛ در صورتی که بعد از نیتراسیون پلاسمایی زبری سطح افزایش یافته و در نتیجه سطح موثر در معرض محیط خورنده بیشتر از سطح مقطع اسمی نمونه می‌شود. شکل ۷ نشان‌گر تغییرات زبری سطح نمونه‌های نیتریده شده با دما و ترکیب گاز پلاسما است. ملاحظه می‌شود با افزایش دمای فرایند و غلظت نیتروژن در گاز پلاسما و در نتیجه ضخامت لایه نیتریدی، زبری سطح افزایش می‌یابد. افزایش زبری سطح در اثر فعال شدن سیستم‌های لغزشی و تفاوت در میزان نفوذ نیتروژن در دانه‌های مختلف اتفاق می‌افتد [۲۵]. لذا مقادیر واقعی



شکل ۵: نمودار پلاریزاسیون فولاد AISI 304 قبل و بعد از نیتراسیون پلاسمایی در دمای ۴۵۰°C.

افزایش چگالی جریان در حین از بین رفتن لایه رویین در نمونه های نیتریده شده در گاز حاوی ۵۰٪ و ۷۵٪ با شیب کاملاً ملایمی صورت می گیرد.



شکل ۲: تغییرات زبری سطح بر حسب غلظت نیتروژن در گاز پلاسما در دماهای مختلف نیتراسیون.

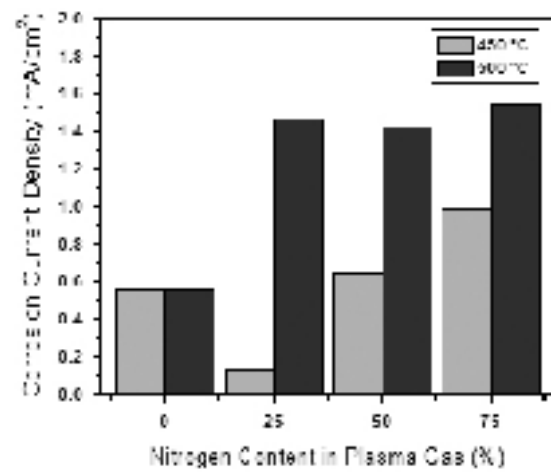
نتایج و بررسی های فوق نشان می دهد که انحلال نیتروژن در فولاد زنگ نزن آستینیتی مقاومت به خوردگی حفره ای نمونه های نیتریده شده را افزایش می دهد. افزایش مقاومت به خوردگی حفره ای در اثر نیتروژن دهی در تعداد زیادی از تحقیقات قبلی نیز مشاهده شده است [۱۵ و ۲۴]. این افزایش وقتی اتفاق می افتد که نیتروژن به صورت محلول جامد در آستینیت حل شده باشد. به طور کلی تاثیر عناصر آلیاژی بر مقاومت به خوردگی حفره ای فولادهای زنگ نزن آستینیتی را با استفاده از عدد هم ارز مقاومت حفره ای (PREN) مطابق رابطه زیر بیان می کنند [۱۵ و ۲۶]:

$$\text{PREN} = \% \text{Cr} + 3.3(\% \text{Mo}) + 16(\% \text{N}) \quad (1)$$

رابطه فوق نشان گرفته است که با افزایش عناصر آلیاژی نظیر کروم، مولیبدن و نیتروژن مقاومت به خوردگی حفره ای نیز افزایش می یابد [۲۶]. در این رابطه، از آنجا که ضریب نیتروژن ۱۶ است لذا تاثیر آن در افزایش مقاومت به حفره دارشدن نسبت به سایر عناصر زیاد است.

مکانیزم های متعددی برای افزایش مقاومت به خوردگی حفره ای توسط نیتروژن ارائه شده است. در مکانیزم

وقتی لایه رویین از بین می رود چگالی جریان از حدود  $0.02 \text{ mA/cm}^2$  به  $0.2 \text{ mA/cm}^2$  افزایش می یابد (حدود ۵۵٪ برابر) که نشان گرفت خوردگی حفره ای شدید در این فولاد است. نمونه های نیتریده شده در دمای  $450^\circ\text{C}$  رفتار رویین شدن را به صورت ضعیفی در محدوده باریکی از پتانسیل نشان می دهند؛ به طوریکه در نمونه نیتریده شده در غلظت ۲۵٪ نیتروژن، در محدوده ۰/۲۷V تا ۰/۳۳V یک لایه رویین تشکیل شده و با افزایش پتانسیل از مقدار ۰/۳۳V خوردگی حفره ای و شکستن لایه رویین شروع می شود. از منحني پلاریزاسیون، افزایش چگالی جریان مربوط به از بین رفتن لایه رویین در این نمونه حداقل ۶ برابر و از  $0.04 \text{ mA/cm}^2$  به  $0.07 \text{ mA/cm}^2$  محدوده ۰/۴V تا ۰/۷V می شود. در نمونه نیتریده شده در غلظت ۵۰٪ نیتروژن لایه رویین در محدوده ۰/۱۵V تا ۰/۳۵V تشکیل می شود و با افزایش پتانسیل از ۰/۳۵V، چگالی جریان افزایش یافه و لایه رویین از بین می رود. نمونه نیتریده شده در غلظت ۷۵٪ نیتروژن رفتار متفاوتی نسبت به دو نمونه قبلی نشان می دهد؛ به طوریکه می توان گفت طی دو مرحله رویین شدن فلز اتفاق می افتد. لایه رویین اولیه فقط در محدوده کوچکی از پتانسیل به صورت ناپایدار وجود داشته (۰/۰۲۷V تا ۰/۰۲۰V) و خارج از این محدوده شروع به شکستن می کند، تا این که در مقدار پتانسیل ۰/۰۶V لایه رویین ثانویه تشکیل می شود.



شکل ۶: تأثیر غلظت نیتروژن در گاز پلاسما بر چگالی جریان خوردگی نمونه های نیتریده نشده و نیتریده شده.

#### ۴- نتیجه گیری

نیتراسیون پلاسمایی فولاد زنگ نزن آستینیتی ۳۰۴ در دماهای فرایند  $450^{\circ}\text{C}$  و  $500^{\circ}\text{C}$  با استفاده از تجهیزات نیتراسیون پلاسمایی جریان مستقیم (DC) در مخلوط گازی  $\text{H}_2-\text{N}_2$  حاوی  $25\%$  و  $50\%$  نیتروژن انجام گرفت. بر اساس مشخصه یابی لایه های نیتریدی و آنالیزهای انجام شده، نتایج زیر قابل ارائه است:

- ✓ در دمای نیتراسیون  $450^{\circ}\text{C}$  و در ترکیب گاز پلاسما حاوی  $25\%$  نیتروژن لایه نیتریدی عاری از رسوبات نیترید کروم بوده و با افزایش غلظت نیتروژن علاوه بر آستینیت انبساط یافته رسوبات نیترید کروم نیز تشکیل می شود.
- ✓ با افزایش دما و غلظت نیتروژن در ترکیب گاز پلاسما ضخامت لایه نیتریدی، سختی و زبری سطحی در نمونه های نیتریده شده بیشتر می شود. بیشترین سختی به میزان  $1424 \text{HV}_{0.05}$  برای نمونه نیتریده شده در دمای  $500^{\circ}\text{C}$  و غلظت نیتروژن  $75\%$  به دست آمد. تشکیل رسوبات نیتریدی نقش قابل توجهی در افزایش سختی لایه های نیتریدی علاوه بر تشکیل آستینیت انبساط یافته ایفا می کند.
- ✓ نیتراسیون پلاسمایی در دمای  $450^{\circ}\text{C}$  و در ترکیب گازی  $\text{H}_2-\text{N}_2$  باعث بهبود مقاومت به خوردگی فولاد زنگ نزن آستینیتی ۳۰۴ می شود. افزایش غلظت نیتروژن در ترکیب گاز ورودی (غلظت  $50\% \text{N}_2$  و بیشتر) و یا دمای فرایند نیتروژن دهی باعث کاهش مقاومت به خوردگی فولاد زنگ نزن آستینیتی ۳۰۴ به علت تشکیل رسوبات نیترید کروم می شود.
- ✓ نیتراسیون پلاسمایی منجر به افزایش مقاومت به خوردگی حفره ای فولاد زنگ نزن آستینیتی ۳۰۴ می شود.

پیشنهادی توسط بابا [۲۷] نقش نیتروژن در بهبود مقاومت به خوردگی حفره ای به صورت زیر تشریح می شود: هنگامی که فولاد زنگ نزن آستینیتی حاوی نیتروژن بین نشین تحت خوردگی حفره ای قرار می گیرد، اتم های نیتروژن، آزاد شده و با  $\text{NH}_4^+$  تشکیل  $\text{NH}_4$  می دهند. این واکنش باعث کاهش یون های  $\text{H}^+$  شده و لذا  $\text{pH}$  محلول افزایش می یابد که این امر باعث رویین شدن مجدد فلز می شود [۲۷]. در نمونه های نیتریده شده در دمای بالای فرایند و یا غلظت های بالای نیتروژن همه نیتروژن جذب شده به صورت محلول جامد در نیامده، بلکه مقدار قابل توجهی از آن به صورت نیترید کروم رسوب می کند. میزان نیترید کروم تشکیل شده مطابق الگوهای پراش اشعه ایکس (شکل ۱) با افزایش غلظت نیتروژن و دمای نیتراسیون بیشتر می شود.

با افزایش میزان نیتروژن در نمونه های نیتریده شده و همچنین به دلیل دمای بالای فرایند نیتراسیون، کروم موجود در ساختار فولاد نفوذ کرده و با نیتروژن، به صورت نیترید کروم در مرزدانه ها رسوب می کند. علاوه بر اینکه تشکیل رسوب می تواند مکانیزم خوردگی لایه نیتریدی را تحت تاثیر قرار دهد، میزان نیتروژن فعال در جلوگیری از خوردگی حفره ای را نیز کاهش می دهد.

تشکیل نیترید کروم منجر به تخلیه شدن قشر نازکی از مرزدانه از کروم شده و طی دو مکانیزم متفاوت منجر به افزایش شدت خوردگی می شود. مکانیزم اول مربوط به کاهش غلظت کروم موجود به زیر مقدار بحرانی لازم برای تشکیل لایه رویین می شود. مکانیزم دوم مربوط به تشکیل پیل گالوانیکی بین فاز نیترید کروم و ناحیه آستینیت فقیر از کروم می شود. بدین ترتیب این نواحی به شدت مستعد خوردگی می شوند.

**مراجع**

1. M. McGuire, Stainless steels for design engineers, ASM International, 2008.
2. Z. Y. Yang, M. G. S. Naylor, D. A. Rigney, Sliding wear of 304 and 310 stainless steels, Wear, Vol. 105, 1985, pp. 73-86.
3. K.-L. Hsu, T. M. Ahn and D. A. Rigney, Friction, wear and microstructure of unlubricated austenitic stainless steels, Wear, Vol. 60, 1980, pp.13–37.
4. A. F. Smith, Influence of environment on the unlubricated wear of 316 stainless steel at room temperature, Tribol. Inter., Vol. 19, 1986, pp. 3-10.
5. T. Bell, Surface engineering of austenitic stainless steel. Surface Engineering, Vol. 18, No. 6, 2002, pp. 415-422.
6. L. Poirier, Y. Corre, J. P. Lebrun, Solutions to improve surface hardness of stainless steels without loss of corrosion resistance, Surface Engineering, Vol. 18, No. 6, 2002, pp. 439–442.
7. J. P. Lebrun, L. Poirier, D. Hertz and C. Lincot, Environmentally friendly low temperature plasma processing of stainless steel components for nuclear industry, Surf. Eng., Vol. 18, No. 6, 2002, pp. 423-428.
8. Y. Sun T. Bell, G. Wood, Wear behaviour of plasma-nitrided martensitic stainless steel, Wear, Vol. 178, 1994, pp. 131–138.
9. C. M. Lepienski, F. C. Nascimento, C. E. Foerster, S. L. R. da Silva, C. J. de M. Siqueira, C. Alves Jr, Glow discharge nitriding in AISI 304 at different nitrogen–hydrogen atmospheres: Structural, mechanical and tribological properties, Mater. Sci. Eng. A, Vol. 489, 2008, pp. 201–206.
10. Z. Cheng, C. X. Li, H. Dong, T. Bell, Low temperature plasma nitrocarburising of AISI 316 austenitic stainless steel, Surf. Coat. Technol., Vol. 191, 2005, pp.195-200.
11. J. F. Lin, K. W. Chen, C. C. Wei, C-F. Ai, The effects of differing nitrogen implantation conditions on penetration depth, mechanical properties, and tribological behavior of plasma-nitrided AISI 304 stainless steel, Surf. Coat. Technol., Vol. 197, 2005, pp. 28-38.
12. W. Liang, Surface modification of AISI 304 austenitic stainless steel by plasma nitriding, Appl. Surf. Sci., Vol. 211, 2003, pp. 308-314.
13. W. Liang, X. Bin, Y. Zhiwei, S. Yaqin, The wear and corrosion properties of stainless steel nitrided by low-pressure plasma-arc source ion nitriding at low temperatures. Surf. Coat. Technol., Vol. 130, 2000, pp. 304-308.
14. N. Yasumaru, Low temperature ion nitriding of austenitic stainless steels, Mater. Trans., JIM, Vol. 39, No.10, 1998, pp. 1046–1052.
15. C. X. Li, T. Bell, Corrosion properties of active screen plasma nitrided 316 austenitic stainless steel, Corr. Sci., 2004. 46: p. 1527-1547.
16. J. P. Rivière, C. Templier, A. Decléméy, O. Redjdal, Y. Chumlyakov, G. Abrasonis , Microstructure of expanded austenite in ion-nitrided AISI 316L single crystals, Surf. Coat. Technol., Vol. 201, 2007, pp. 8210-8214.
17. M. Kuczynska-Wydorska, J. Flis, Corrosion and passivation of low-temperature nitrided AISI 304L and 316L stainless steels in acidified sodium sulphate solution, Corr. Sci., Vol. 50, 2008, pp. 523–533.
18. Y. Sun, Enhancement in corrosion resistance of austenitic stainless steel by surface alloying with nitrogen and carbon. Materials Letters, Vol. 59, 2005, pp. 3410-3413.
19. L. Nosei, S. Farina, M. Ávalos, L. Náchez, B.J. Gómez, J. Feugeas,Corrosion behavior of ion nitrided AISI 316L stainless steel, Thin Solid Films, Vol. 516, 2008, pp. 1044–1050.

20. J. Flis, M. K., Effect of Low-Temperature Plasma Nitriding on Corrosion of 304L Stainless Steel in Sulfate and Chloride Solutions, *Journal of Electrochemical Society*, Vol. 151, 2004, pp. B573-B580.
21. J. N. Feugeas, B. J. Gomez, G. Sanchez, J. Ferron, A. Craievich, Time evolution of Cr and N on AISI 304 steel surface during pulsed plasma ion nitriding. *Thin Solid Films*, Vol. 424, 2003, pp. 130-138.
22. R. Valencia-Alvarado,  $\gamma_N$ -shift as a function of  $N_2$  content in AISI 304 nitriding. *Vacuum*, Vol. 81, 2007, pp. 1434–1438.
23. L. E. Murr, A. Advani, S. Shankar, D .G. Atteridge, Effects of deformation (strain) and heat treatment on grain boundary sensitization and precipitation in austenitic stainless steels. *Materials Characterization*, Vol. 24, No. 2, 1990, pp. 138-158.
24. A. Toro, W. Z. Misolek, A. P. Tschiptschin, Correlations between microstructure and surface properties in a high nitrogen martensitic stainless steel, *Acta Mater.*, Vol. 51, 2003, pp. 3363–3374.
25. A. Akbari, R. Mohammadzadeh, C. Templier, J.P. Riviere, Effect of the initial microstructure on the plasma nitriding behavior of AISI M2 high speed steel. *Surf. Coat. Technol.*, Vol. 204, 2010, pp. 4114-4120.
26. L. L. Shreir, R. A. Jarman, G. T. Burstein, *Corrosion, Metal/Environment Reactions*. 3rd ed., Vol. 1, Oxford: Butterworth-Heinemann, 1994.
27. H. Baba, T. Kodama, Y. Katada, Role of nitrogen on the corrosion behavior of austenitic stainless steels. *Corr. Sci.*, Vol. 44, 2002, pp. 2393-2407.

# بررسی امکان استفاده از تکنیک پالس گذرای گالوانوستاتیک در خوردگی میلگردهای تیر بتني

علی قدس<sup>\*</sup><sup>۱</sup>، محمدرضا سهرابی<sup>۲</sup>، محمود میری<sup>۲</sup>

<sup>۱</sup> دانشجوی دکتری سازه، گروه عمران، دانشگاه سیستان و بلوچستان

<sup>۲</sup> استادیار گروه عمران، دانشگاه سیستان و بلوچستان

\* نویسنده مسئول: ghodscivil@gmail.com

تاریخ دریافت: ۱۳۹۰/۱۱/۱۷ تاریخ پذیرش: ۱۳۹۱/۰۴/۱۵

## چکیده

در این مقاله آهنگ خوردگی میلگرد در سازه های بتني به روش پاسخ پتانسیل گذرا در فصل مشترک خوردگی با ایجاد اختلال پالس گالوانوستاتیک کوچک بررسی شده است. در این پژوهش اندازه گیری ها روی میلگردهای فولادی در حال خورده شدن در تیر بتني، تحت شرایط خوردگی شدید انجام شده است. مدت اعمال پالس گالوانیک بین ۵ تا ۱۸۰ ثانیه بوده و فاصله جانبی نقطه اندازه گیری از میلگرد بین صفر تا ۴۰۰ میلی متر تغییر نموده است. جهت بررسی نتایج پاسخ گذراي الکتروشیمیایی از آهنگ نمونه گیری یک کیلوهرتزی استفاده شده که امکان معادل سازی خوردگی به مجموعه ای از خازن ها و مقاومت های قابل تفکیک را برخلاف روش های دیگر فراهم می نماید. مقادیر این خازن ها و مقاومت ها متناسب با شرایط خوردگی میلگرد می باشند. در این مقاله در ابتدا آهنگ خوردگی از طریق اجزای مقاومتی مرتبط با فصل مشترک خوردگی محاسبه و سپس با آهنگ خوردگی بدست آمده از روش مقاومت پلاریزیون خطی (LPR) که کاربرد فراوانی دارد مقایسه شده است. نتایج نشان می دهد روش پالس گذراي گالوانوستاتیک امکان ارزیابی مقاومت پلاریزیون خطی را فراهم می کند و مقادیر خوردگی بدست آمده از آن قابل اعتمادتر از روش LPR می باشد.

**کلمات کلیدی:** گالوانوستاتیک، خوردگی میلگرد، پالس گذرا، مقاومت پلاریزیون خطی.

# Studying the Possibility of Using Galvanostatic Pulse Transient Technique in Concrete Beam Bars Corrossion

Ali Ghods \*<sup>1</sup>, Muhammadreza Sohrabi <sup>2</sup>, Mahmoud Miri <sup>2</sup>

1. PhD student, Civil Eng. Dept., University of Sistan and Baluchestan

2. Assistant professor, Civil Eng. Dept., University of Sistan and Baluchestan

\* Corresponding Author: ghodscivil@gmail.com

Submission: February 05, 2012      Acceptance: July 05, 2012

## Abstract

In this paper, corrosion rate of bars in concrete structures was examined using transient potential response at corrosion intersection method by stimulating a small galvanostatic pulse. In this study, measurements on steel bars subjected to corrosion in concrete beam were conducted under intensive corrosion conditions. Times of applying galvanic pulse are between 5 and 180 second and lateral distance of measuring point from the bar varies between 0 and 400 mm. To evaluate transient electrochemical responding results, 1 kHz sampling rate was used which allows corrosion equalization with a set of distinguishable capacitors and resistors, despite other methods, their values are proportionate to the bar corrosion conditions. Here, first, corrosion rate is calculated through resistor elements connected with corrosion intersection and then it is compared to the corrosion rate determined using the widely used method Linear Polarization Resistance (LPR). The results demonstrate that Galvanostatic pulse transient technique allows evaluation of Linear Polarization Resistance, and corrosion values gained are more reliable than LPR method.

**Keywords:** Galvanostatic, Bars Corrosion, Transient pulse, Linear Polarization Resistance.

## ۱- مقدمه

ابتدا اینکه اندازه گیری مقاومت پلاریزاسیون از سطح بتن انجام می‌گردد و نه از سطح میلگرد. بنابراین مقاومت پوشش بتن در آن وارد می‌شود. مقاومت بتن باید به صورت مستقل اندازه گیری و از مقاومت پلاریزاسیون اندازه گیری شده از سطح بتن کم شود. حتی زمانی که اثر مقاومت پوشش بتن جبران می‌شود،  $R_p$  اندازه گیری شده ممکن است شامل دیگر مؤلفه‌های مقاومت که ارتباط مستقیمی با خوردگی در سطح میلگرد ندارند باشد؛ مثل اثر پخش آهسته یون در بتن و اثر پوسته ای شدن سطح بتن که قابل تفکیک از  $R_p$  نمی‌باشد. مشکل دیگر، انتخاب زمان تعادل مناسب، هنگامی است که پاسخ جریان با تغییر پتانسیل اعمالی اندازه گیری می‌گردد [۹-۱۱]. انتخاب یک زمان اندازه گیری نامناسب در مواردی که کاملاً تعادل جدیدی برقرار نشده است می‌تواند سبب ایجاد خطاهای شدید شود. بنابراین، برای محاسبه دقیق آهنگ خوردگی باید زمان اندازه گیری مناسب برای تعیین مستقیم فرایند مربوط به خوردگی انتخاب شود.

در این مقاله امکان استفاده از روش پاسخ پالس گذرای گالوانوستاتیک برای تیر بتني با هدف حل مشکلات فوق الذکر مورد بررسی و ارزیابی قرار گرفته است. در این روش یک اختلال پالس گالوانوستاتیک افزاینده از سطح بتن و به روی مشابه با LPR به میلگرد اعمال و بجای انتظار برای ایجاد تعادل پتانسیل الکتروشیمیایی جدید (بعد از اعمال اختلال جریان و قبل از اندازه گیری تغییر پتانسیل) پاسخ گذرا امکان گذرا اندازه گیری می‌گردد. تحلیل این پاسخ گذرا امکان مشخص نمودن مدل خازن- مقاومت جهت مجزا کردن مقاومت‌های غیر مرتبط با فرایند خوردگی (مانند پوشش بتن روی میلگرد) و همچنین امکان به دست آوردن دقیق‌تر آهنگ خوردگی نسبت به روش LPR را فراهم می‌کند. این روش اولین بار توسط نیوتون و همکاران برای اندازه گیری خوردگی نمونه‌های بتني مکعبی مورد استفاده قرار گرفت که نتایج نشان‌گر دقت بالای این روش بود [۱۲] و سپس توسط گلاس [۱۳]، گزارس [۱۴]، ساتیارایانان [۱۱] و همکارانشان توسعه یافت. در سال ۲۰۰۰ سو و همکاران [۱۵] الگوریتم خاصی را

خوردگی میلگردها در سازه‌های بتني به عنوان عامل اصلی خرابی در طول عمر مفید آنها شناخته می‌شود. در دو دهه گذشته تلاش‌های قابل توجهی برای تحقیق و توسعه در بحث ارزیابی خوردگی میلگردها در بتن مسلح انجام شده است، اما ابزارهای موثر برای تعیین آهنگ خوردگی سازه‌های بتن مسلح هنوز در دسترس نیست. برای ارزیابی تعادل خوردگی و آهنگ خوردگی میلگرد در بتن تکنیک‌های الکتروشیمیایی ارایه شده‌اند که امکان برآورده بقیه عمر سازه بتني را فراهم می‌کنند. معروف‌ترین و جا افتاده‌ترین روش در این میان روش تعیین پتانسیل نیم پیل است [۱]، اما این روش تنها محل خوردگی احتمالی را مشخص می‌کند و در مورد آهنگ خوردگی، ارزیابی کمی انجام نمی‌دهد.

روش مقاومت پلاریزاسیون خطی یا LPR برای اندازه گیری مستقیم آهنگ خوردگی میلگرد در بتن ارایه شد [۲-۸]. در سال‌های اخیر این روش بسیار رشد داشته و برای ارزیابی سازه‌های بتني که در معرض خوردگی هستند مورد استفاده قرار گرفته است. در این روش یک اختلال DC به میلگرد در حال خوردش شدن از سطح بتن وارد می‌شود و بعد از گذشت زمان از پیش تعیین شده (که در طول آن تعادل جدید برقرار می‌گردد) پاسخ حالت پایدار به این اختلال اندازه گیری می‌شود. در روش LPR گالوانوستاتیک اختلال جریان کوچک  $I_{app}$  اعمال و تغییرات حاصله در پتانسیل الکتروشیمیایی  $V_{max}$  اندازه گیری می‌گردد. مقاومت پلاریزاسیون  $R_p$  را می‌توان از روی  $I_{app}$  و  $V_{max}$  محاسبه نمود. در اکثر موارد، معلوم شده است مادامی که حداقل انحراف  $V_{max}$  از پتانسیل تعادل، کمتر از ۳۰ میلی ولت است، آهنگ خوردگی دارای تناسب معکوس با  $R_p$  است. راه دیگر برای انجام اندازه گیری‌های LPR، نتایج روش LPR پتانسیوستاتیک است که اختلال پتانسیل کوچک ( $\Delta E$ ) اعمال و پاسخ جریان حاصله ( $\Delta I$ ) اندازه گیری می‌شود. هرچند روش LPR مزایای زیادی نسبت به روش نیم پیل دارد و امکان ارزیابی و به دست آوردن مستقیم آهنگ خوردگی را فراهم می‌کند، اما این روش عیوبی هم دارد؛

آزمایش از دستگاه AUTOLAB 302N برای ایجاد اختلال جریان استفاده شد. این دستگاه در صورت نیاز می‌تواند جریان  $1, 0/1$  و  $0/01$  میلی آمپر را اعمال نماید. پاسخ ولتاژ گذرا، با استفاده از این دستگاه با آهنگ نمونه گیری ۱ کیلوهرتز برای جمع آوری داده‌های پاسخ دینامیکی، پیش و زمان اندازه گیری از ۵ ثانیه تا ۱۸۰ ثانیه انتخاب شد. اختلال جریان تغییر پتانسیل اولیه بین  $20$  تا  $30$  میلی ولت را که در منطقه خطی پیشنهادی استرن-گری قرار می‌گیرد، ایجاد می‌کند [۱۷]. بنابراین آزمایش‌های اولیه همواره با استفاده از کوچک‌ترین پالس ممکن انجام می‌شوند. اگر این پالس، سیستم را به اندازه کافی مختل نکند، میلگرد می‌تواند مجدداً به تعادل برسد و جریان برای تغییر پتانسیل مطلوب افزایش می‌بابد. در این مقاله تمام نتایج آزمایش‌های انجام شده روی نمونه میلگرد C1 در این منطقه خطی قرار می‌گیرند، اما بیشتر نتایج آزمایش‌های انجام شده روی میلگرد N1، تغییر پتانسیل بزرگ‌تر از منطقه خطی را حتی اگر از کوچک‌ترین پالس ممکن  $0/01$  میلی آمپر استفاده شود، به خود دیدند. به این ترتیب نوعی عدم دقت را انتظار داریم اما آهنگ خوردگی میلگرد N1 آن قدر کوچک است که خطاهاي اندازه گیری ناشی از پتانسیل، بیرون از منطقه خطی قرار می‌گیرد که چندان اهمیت ندارد.

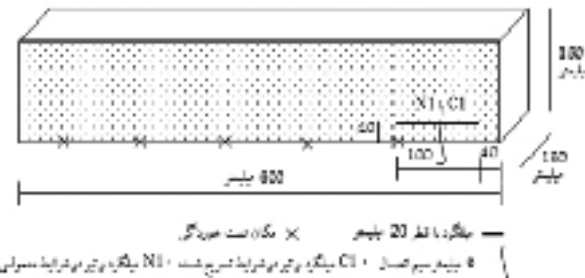
داده‌های جمع آوری شده از پاسخ پتانسیل گذرا برای به دست آوردن مدار الکترونیک معادل شکل ۳ آنالیز شدند [۱۸]. در اکثر موارد یک مدار ساده راندلس را می‌توان برای مدل نمودن منطقه پوشش بتن و فصل مشترک خوردگی میلگرد استفاده نمود. در این مدار  $R_{\Omega}$  مقاومت اهمی پوشش بتن روی میلگرد،  $C_{dl}$  خازن دو لایه در سطح میلگرد که نمایان گر لایه رویین روی میلگرد و  $R_{ct}$  مقاومت انتقال بار خوردگی در سطح میلگرد می‌باشد. در زمان  $t$ ، پاسخ پتانسیل الکتروشیمیایی گذرا ( $V_t$ ) به اختلال جریان ( $I_{app}$ ) مطابق شکل ۴ به صورت زیر بدست می‌آید:

$$V_t = I_{app}R_{\Omega} + I_{app}R_{ct}[1 - \exp(-t/(R_{cc}C_{dl})] \quad (1)$$

برای اندازه گیری نرخ خوردگی بتن با این روش در مقایسه با روش‌های دیگر رایه دادند. همچنین پورسایی [۱۶] نیز از این روش جهت ارزیابی چگالی جریان خوردگی و ثابت استرن-گری استفاده نمود که نتایج نشان‌گر مزیت استفاده از این روش می‌باشد.

## ۲- مواد و روش تحقیق

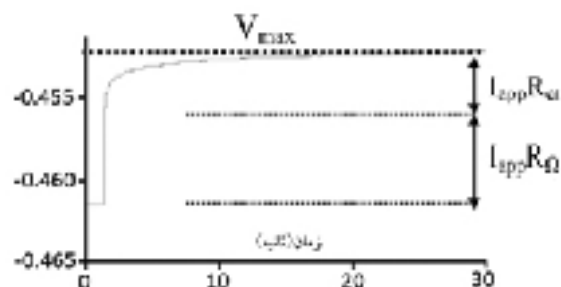
با توجه به شکل ۱ اندازه گیری‌های پالس گذرا گالوانوستاتیک و مقاومت پلاریزاسیون خطی LPR روی طول‌های کوتاه میلگرد در تیر بتني  $150 \times 150 \times 40$  میلی‌متر با مقاومت فشاری  $28$  روزه  $33$  مگاپاسکال و نسبت آب به سیمان  $0/6$  انجام شد. قطر میلگردها  $20$  میلی‌متر، طول آنها  $100$  میلی‌متر، ضخامت پوشش بتن آنها  $40$  میلی‌متر، مساحت سطح میلگردها برابر  $6/28$  سانتی‌متر مربع و دارای علایم مشخصه N1 و C1 می‌باشند. C1 نشان‌گر میلگرد در بتن معمولی است که در محیط تسربی شده ( محلول حاوی  $5$  درصد کلرید سدیم با اعمال ولتاژ  $6$  ولت) به مدت  $90$  روز نگهداری شده است، در حالیکه N1 بیان‌گر نمونه مشابه ولی بدون اعمال ولتاژ می‌باشد.



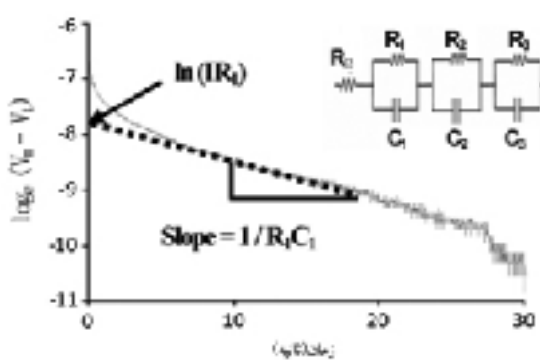
شکل ۱: جزئیات مشخصات تیر بتني (میلی‌متر).

**۱-۲- اندازه گیری پالس گذرا گالوانوستاتیک**  
مطابق شکل ۲ سیستم اندازه گیری سه الکترودی در این آزمایش استفاده شده است. جریان از الکترود کمکی به میلگرد وارد می‌شود که این الکترود با استفاده از یک اسفنج میرا به بتن متصل است و پتانسیل گذرا میلگرد با الکترود مرجع میانی (کلراید نقره / نقره) اندازه گیری می‌شود. در این

خوردگی بهتر است به صورت مجموعه‌ای از خازن- مقاومت موازی مدل شود. بخش خطی نمودار  $\text{Log}_e(V_{\max} - V_t)$  همراه با  $t$  را می‌توان به کرات در دوره‌های زمانی مختلف برای به دست آوردن مقادیر متناظر مقاومت و خازن استفاده کرد (شکل ۵).



شکل ۴: پاسخ پتانسیل گذرا برای C1.



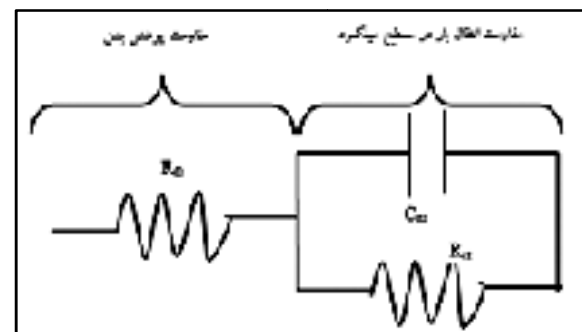
شکل ۵: نمودار  $\text{Log}_e(V_{\max} - V_t)$  با زمان برای C1

از این رو اجزای تفکیک شده را می‌توان با به دست آوردن شبیه هر قسمت، آنالیز و مقاومت و خازن را برای هر بخش تعیین نمود. با معلوم نمودن مقادیر مقاومت و خازن، ثابت زمانی این اجزا به دست می‌آید که حاصل  $R_{ct}$  و  $C_{dl}$  است. هر بخش این سیستم را می‌توان به یک فرایند متفاوت مرتبط نمود. بعضی از این اجزا را می‌توان به فرایند خوردگی مرتبط نمود، در حالی که بعضی دیگر را می‌توان به پدیده‌های دیگری مانند اثر پخش یونی بتن و یا خواص دی الکتریک محیط مرتبط دانست. مقادیر خازن و ثابت زمانی را می‌توان برای تضمیم گیری در مورد مقاومت‌هایی که به فرایند خوردگی میانی ارتباط دارند به کار برد. بنابراین جریان

که در آن،  $R_0$  مقاومت اهمی پوشش بتن،  $C_{dl}$  خازن دو لایه در سطح میلگرد و  $R_{ct}$  مقاومت انتقال بار خوردگی در سطح میلگرد است.



شکل ۲: دستگاه اندازه گیری سه الکتروودبرای میلگرد در بتن.



شکل ۳: مدار نمونه راندلس [۱۸].

بعد از زمان تعادل مناسب، پاسخ گذرا به پتانسیل پایدار ( $V_{\max}$ ) می‌رسد که با معادله زیر بیان می‌شود:

$$V_{\max} - V_t = I_{app} R_{ct} \exp[-t / (R_{cc} C_{dl})] \quad (2)$$

معادله ۲ را می‌توان با تبدیل لگاریتمی زیر به صورت معادله ۳ بیان نمود:

$$\text{Log}_e(V_{\max} - V_t) = \text{Ln}(I_{app} R_{ct}) - t / (R_{cc} C_{dl}) \quad (3)$$

نمودار  $\text{Log}_e(V_{\max} - V_t)$  با زمان  $t$  را می‌توان به صورت نموداری خطی با شبیه  $1/R_{ct} C_{dl}$  در نظر گرفت (شکل ۵) که به کمک آن می‌توان  $R_{ct}$  و  $C_{dl}$  را بدست آورد.

از آنجاکه فصل مشترک بتن و میلگرد در حال خوردگی بسیار پیچیده تر از مدل ساده راندلس (یک مقاومت موازی با یک خازن) است، بنابراین نتایج آزمایش حاصله از سیستم

شدن. مقاومت‌های پلاریزاسیون و آهنگ‌های خوردگی (i<sub>corr</sub>) برای میلگرد در سازه‌های بتنه در جدول ۱ ارائه شده‌اند [۲۱].

### ۳- نتایج

پاسخ پتانسیل گذرای الکتروشیمیایی به جریان اعمالی در شکل ۴ ترسیم شده است. افزایش آنی اولیه به خاطر مقاومت اهمی پوشش بتنه است که در ابتدا محاسبه و از داده‌های مقاومتی دیگر کم می‌شود. در معادله ۳ ملاحظه می‌شود که نمودار  $\text{Log}_e(V_{\max} - V_t)$  در برابر زمان، نموداری خطی با شیب  $1/R_{ct}C_{dl}$  به دست می‌دهد که محرکه را در  $\ln(I_{app}/R_{ct})$  به صورت شکل ۵ قطع می‌کند. تحلیل پتانسیل‌های گذرا در این مقاله بین دو تا چهار مجموعه مقاومت و خازن مجزا انجام می‌شود. نتایج پالس گذرای گالوانوستاتیک در جداول ۲ تا ۵ و نتایج LPR در جدول ۶ و مقایسه آهنگ خوردگی‌ها با این دو روش در جدول ۷ آمده است. به کمک مقدار i<sub>corr</sub> در جدول ۱، میلگرد C1 تیر در محیط تسریع شده را می‌توان به صورت میلگرد در حال خوردشدن فعال با آهنگ خوردگی بالا طبقه بندی نمود، اما میلگرد N1 را میلگرد غیرفعال بر اساس نتایج LPR و پالس گذرا گالوانوستاتیک نامید.

**جدول ۱: آهنگ‌های خوردگی برای میلگرد در تیر بتنه [۲۱]**

i <sub>corr</sub> (μA/cm <sup>2</sup> )	R <sub>ct</sub> (KΩcm <sup>2</sup> )	نرخ خوردگی
۱۰-۱۰۰	۰/۲۵-۲/۵	بسیار بالا
۱-۱۰	۲/۵-۲۵	بالا
۰/۱-۱	۲۵-۲۵۰	پایین
<۰/۱	>۲۵۰	غیرفعال

**۱-۳- تعیین ثابت‌های زمانی با فرایندهای خوردگی**  
تحلیل پتانسیل‌های گذرا، امکان شناسایی چندبخش با ثابت‌های زمانی مختلف را فراهم می‌کند. در بررسی این بخش‌ها، مقادیر مقاومت‌های تعیین شده را می‌توان با روشنی مشابه روش امپدانس (AC) به فرایند خوردگی نسبت داد [۲۲ و ۲۳].

خوردگی (i<sub>corr</sub>) را می‌توان با استفاده از معادله ۴ از مقاومت پلاریزاسیون (R<sub>ct</sub>) که مجموع هر کدام از مقاومت‌های مرتبط با فرایند خوردگی است حساب نمود:

$$i_{corr} = B / R_{ct} \quad (4)$$

که در آن B ثابت استرن-گری است که معمولاً برای خوردگی فعال برابر ۲۵ میلی ولت [۱۹] و برای خوردگی غیرفعال برابر ۵۰ میلی ولت [۲۰] فرض می‌شود.

### ۲-۲- اندازه گیری مقاومت پلاریزاسیون خطی

اندازه گیری‌های مقاومت پلاریزاسیون خطی LPR روی میلگردها با دستگاه سه الکتروودی (شکل ۱) با روش پتانسیوستاتیک و گالوانوستاتیک انجام شد. در روش پتانسیوستاتیک، میلگرد به صورت لحظه‌ای تا ۱۰ میلی ولت (ΔE) در جهت مشت پلاریزه می‌شود و این جریان می‌تواند برای دوره زمانی انتخابی یعنی ۹۰ ثانیه معادل شود. در پایان این دوره تعادل، مقاومت پلاریزاسیون (R<sub>p</sub>) با استفاده از معادله زیر حساب می‌شود:

$$R_p = \Delta E / \Delta I \quad (5)$$

از آنجا که مقاومت R<sub>Ω</sub> (مقاومت پوشش بتنه) در اندازه گیری‌ها وارد شده است لذا باید R<sub>p</sub> را اصلاح کرد. مقاومت پوشش بتنه با اندازه گیری AC ۳۰۰ هرتز قبل از اندازه گیری LPR تعیین شد. مقاومت انتقال بار R<sub>ct</sub> آهنگ جریان خوردگی i<sub>corr</sub> را کنترل می‌کند که به صورت زیر محاسبه می‌شود:

$$i_{corr} = B / (R_p - R_\Omega) = B / R_{ct} \quad (6)$$

به علاوه:

$$i_{corr} = i_{corr} / A \quad (7)$$

که در آن B ثابت استرن-گری، i<sub>corr</sub> چگالی جریان خوردگی و A مساحت سطح میلگرد است.

در روش گالوانوستاتیک اختلال جریان کوچک (ΔI<sub>app</sub>) اعمال و تغییرات حاصله در پتانسیل الکتروشیمیایی (ΔE) بعد از تعادل جدید اندازه گیری می‌شود (یعنی بعد از ۹۰ ثانیه). مقاومت انتقال بار (R<sub>ct</sub>) و آهنگ خوردگی (i<sub>corr</sub>) به همان شیوه با استفاده از معادلات ۵-۷ حساب

جدول ۲: نتایج برای میلگرد خورد شده فعال C1 در فواصل جانبی مختلف (پالس ۹۰ ثانیه و ۰/۰۱ میلی آمپر)

مقاومت (kΩcm <sup>2</sup> )	فاصله جانبی (میلی متر)				
	۰	۱۰۰	۲۰۰	۳۰۰	۴۰۰
R <sub>Ω</sub>	۲۳/۴	۴۰/۳	۵۶	۷۲/۸	۹۷/۵
R <sub>1</sub> (C1>1000 μF/cm <sup>2</sup> )	۹/۷	۱۰/۱	۱۳	۱۴/۸	۱۷
R <sub>2</sub> (100<C2>1000 μF/cm <sup>2</sup> )	۶/۸	۷/۲	۶/۱	۷/۱	۷/۴
R <sub>3</sub> (10<C3>100 μF/cm <sup>2</sup> )	۴/۸	۵/۲	۴/۴	۴/۵	۵/۴
R <sub>4</sub> (1<C4>10 μF/cm <sup>2</sup> )	۵/۲	۵/۲	۳/۵	۶/۱	۵/۶

جدول ۳: نتایج برای میلگرد خورد شده غیر فعال N1 در فواصل جانبی مختلف (پالس ۹۰ ثانیه و ۰/۰۱ میلی آمپر)

مقاومت (kΩcm <sup>2</sup> )	فاصله جانبی (میلی متر)				
	۰	۱۰۰	۲۰۰	۳۰۰	۴۰۰
R <sub>Ω</sub>	۲۹/۳	۴۴/۲	۴۹/۴	۵۷/۲	۷۰/۲
R <sub>1</sub> (50<C1>100 μF/cm <sup>2</sup> )	۱۲۰۶	۱۳۵۳	۱۲۸۹	۱۱۲۰	۱۱۸۷
R <sub>2</sub> (30<C2>50 μF/cm <sup>2</sup> )	۸۴/۵	۱۱۳	۷۸	۶۶/۳	۶۷/۶
R <sub>3</sub> (10<C3>30 μF/cm <sup>2</sup> )	۴۶/۸	۵۲	۳۱/۲	۳۹	۲۶
R <sub>4</sub> (1<C4>10 μF/cm <sup>2</sup> )	-	۱۱	۱۴/۳	۱۲/۴	۱۰/۴

جدول ۴: نتایج برای میلگرد خورد شده فعال C1 در زمان های اندازه گیری مختلف (پالس ۰/۰۱ میلی آمپر)

T (s)	R <sub>Ω</sub> (kΩcm <sup>2</sup> )	R <sub>1</sub> (kΩcm <sup>2</sup> )	C <sub>1</sub> (μF/cm <sup>2</sup> )	R <sub>2</sub> (kΩcm <sup>2</sup> )	C <sub>2</sub> (μF/cm <sup>2</sup> )	R <sub>3</sub> (kΩcm <sup>2</sup> )	C <sub>3</sub> (μF/cm <sup>2</sup> )	R <sub>4</sub> (kΩcm <sup>2</sup> )	C <sub>4</sub> (μF/cm <sup>2</sup> )	ΣR <sub>ct</sub> (kΩcm <sup>2</sup> )	i <sub>corr</sub> (μA/cm <sup>2</sup> )
۰	۱۶/۲	۶	۵۷۰	۵/۴	۷۷	۳/۱	۱۰	-	-	۱۴/۰	۱/۷۲
۱۰	۱۶/۲	۶/۹	۷۰۶	۵/۳	۷۱	۳/۶	۱۰	-	-	۱۰/۸	۱/۰۸
۳۰	۱۶/۲	۶/۹	۳۵۴۱	۴/۸	۶۰۶	۵/۴	۰۲	۳	۱۰	۱۳/۲	۱/۹
۶۰	۱۶/۲	۹/۲	۴۸۷۶	۴/۶	۸۸۲	۵/۴	۶۹	۳/۶	۱۰/۱	۱۳/۶	۱/۸۴
۹۰	۱۶/۲	۱۰/۲	۶۶۴۳	۰	۱۱۶۸	۶/۱	۶۸	۳/۶	۹/۹	۹/۷	۲/۰۷
۱۸۰	۱۶/۲	۱۹/۹	۷۷۰۲	۴/۹	۹۰۰	۵/۸	۶۵	۳/۰	۱۰	۱۴/۲	۱/۷۶

جدول ۵: نتایج برای میلگرد خورد شده غیر فعال N1 در زمان های اندازه گیری مختلف (پالس ۰/۰۱ میلی آمپر)

T (s)	R <sub>Ω</sub> (kΩcm <sup>2</sup> )	R <sub>1</sub> (kΩcm <sup>2</sup> )	C <sub>1</sub> (μF/cm <sup>2</sup> )	R <sub>2</sub> (kΩcm <sup>2</sup> )	C <sub>2</sub> (μF/cm <sup>2</sup> )	R <sub>3</sub> (kΩcm <sup>2</sup> )	C <sub>3</sub> (μF/cm <sup>2</sup> )	R <sub>4</sub> (kΩcm <sup>2</sup> )	C <sub>4</sub> (μF/cm <sup>2</sup> )	ΣR <sub>ct</sub> (kΩcm <sup>2</sup> )	i <sub>corr</sub> (μA/cm <sup>2</sup> )
۰	۳۸/۸	۳۰۶	۱۶	۷۴	۱۷	-	-	-	-	۳۸۰	۰/۰۶۶
۱۰	۳۸/۸	۴۸۶	۱۹/۰	۱۱۲	۲۳	-	-	-	-	۵۹۸	۰/۰۴۲
۳۰	۳۸/۸	۹۷۷	۲۷/۳	۱۹۴	۴۹	-	-	-	-	۱۱۷۱	۰/۰۲۱
۶۰	۳۸/۸	۱۳۸۶	۳۴	۲۱۴/۰	۷۳	-	-	-	-	۱۶۰۰	۰/۰۱۶
۹۰	۳۸/۸	۱۰۷۸	۳۶/۴	۱۸۴	۹۱	-	-	-	-	۱۷۶۲	۰/۰۱۴
۱۸۰	۳۸/۸	۱۸۰۹	۴۳	۱۰۴	۲۱۲	۹۰	۳۲/۰	۳۱	۹/۲	۲۰۳۴	۰/۰۱۲

که ممکن است مرتبط با فرایند خوردگی باشند. جدول ۴ تغییرات مقاومت‌ها و خازن‌ها با ثابت‌های زمانی مختلف را برای میلگرد فعال C1 در زمان‌های مختلف نمایش می‌دهد که در آن  $R_1$  با افزایش زمان اندازه گیری افزایش می‌یابد، اما مقاومت‌های  $R_2$ ،  $R_3$  و  $R_4$  تغییر شدیدی نمی‌کنند. به علاوه، مقدار ظرفیت خازن مرتبط با این مقاومت ( $R_1$ ) نیز به شدت با افزایش زمان اندازه گیری به ویژه بعد از ۳۰ ثانیه تغییر می‌کند. اما ظرفیت خازن‌های اندازه گیری شده در میلگرد غیرفعال نسبت به زمان تغییر نمی‌کنند (جدول ۵). همان‌طور که در نتایج فوق مشاهده می‌شود، مقاومت مؤلفه‌های مربوط به ظرفیت‌های بزرگ‌تر از  $1000\mu F/cm^2$  را می‌توان به مقاومت پخش یونی در بتن نسبت داد و باید در تعیین مقاومت  $R_{ct}$  از آنها صرف نظر نمود. جدول ۴ همچنین نشان می‌دهد افزایش زمان اندازه گیری اثر زیادی بر مؤلفه‌های مقاومتی نمی‌گذارد. این نشان می‌دهد زمان اندازه گیری ۵ ثانیه برای پایدارسازی کامل پاسخ، کافی است. این بدان علت است که فرایند خوردگی میلگردها با آهنگ خوردگی بالا را می‌توان با اجزایی که ثابت‌های زمانی نسبتاً کوتاهی دارند کنترل نمود. اما وضعیت متفاوت میلگرد غیرفعال در جدول ۵ نشان می‌دهد فرایند خوردگی میلگرد غیرفعال با اجزای مرتبط با ثابت‌های زمانی طولانی تر کنترل می‌شود. این جدول همچنین نشان می‌دهد زمان اندازه گیری ۹۰ ثانیه برای اندازه گیری ثابت زمانی در خوردگی میلگرد غیرفعال مورد نیاز است. اما در عمل زمان اندازه گیری ۳۰ ثانیه، تقریبی نزدیک هم برای میلگرد خورده شده فعال و غیرفعال است.

اما نکته مهم این است که ظرفیت‌های بیش از  $1000\mu F/cm^2$  دارای ثابت‌های زمانی ۳۰ ثانیه یا کمتر برای میلگردهای فعال هستند. از این رو این اجزا را می‌توان در ارزیابی و تعیین آهنگ‌های خوردگی به دست آمده از روش LPR داخل نمود که غالباً از مدت تعادل ۳۰ ثانیه استفاده می‌کنند.

اما انتخاب مطمئن اجزای مقاومتی مناسب (در فرایند خوردگی) برای استفاده در تعیین مقاومت پلاریزاسیون ( $R_{ct}$ ) دشوار است، زیرا مقادیر ظرفیت را می‌توان توسط چند عامل تغییر داد که از جمله آنها می‌توان به زمان اندازه گیری اشاره نمود.

اندازه گیری پالس گذراي گالوانوستاتیک در آزمایش‌ها بر روی میله‌های C1 (فولاد در حال خورده شدن با آهنگ خوردگی بالا) و N1 (فولاد غیرفعال) با الکترود مبنای و کمکی در فواصل جانبی متفاوت از میله در امتداد سطح تیر انجام شد. دلیل موجود آن است که بخشی از پاسخ به خاطر بخش میانی خوردگی بتن و میلگرد باید ثابت بماند، در حالی که بخش پاسخ ناشی از بتن در حالی که مجموعه الکترود مبنای و کمکی از میله دور می‌شود باید تغییر کند. بنابراین امکان مشخص کردن ارتباط بین اجزای مدار الکترونیکی معادل با فرایند خوردگی فراهم می‌شود. نتایج به صورت خلاصه در جداول ۲ و ۳ آورده شده است.

نتایج جدول ۲ برای میلگرد فولادی در حال خورده شدن (C1) راهنمای خوبی برای مشخص نمودن ارتباط فرایند خوردگی با مقاومت‌هایی است که از روش پالس گذراي گالوانوستاتیک به دست آمده‌اند. مقاومت پوشش فوکانی بتن ( $R_{ct}$ ) با افزایش فاصله جانبی از میلگرد افزایش می‌یابد، زیرا بین میلگرد و الکترود مبنای بتن زیادی وجود دارد. همچنین ملاحظه می‌شود که مقاومت  $R_1$  با افزایش فاصله جانبی از میلگرد افزایش می‌یابد و همه این موارد به خاطر ظرفیت‌های بزرگ‌تر از  $1000\mu F/cm^2$  است. اما مقاومت‌های  $R_2$ ،  $R_3$  و  $R_4$  با افزایش فاصله جانبی از میلگرد نسبتاً ثابت می‌مانند. بنابراین مقاومت  $R_1$  ارتباطی با خوردگی در فصل مشترک میلگرد و بتن ندارد و احتمالاً همان‌طور که نیوتن و همکارانش [۱۲] اشاره نموده‌اند، ناشی از اثرات پخش در بتن است.

جدول ۳ نتایج مختلف برای میلگرد غیرفعال N1 را نمایش می‌دهد. مقاومت پوشش بتن ( $R_{ct}$ ) با افزایش فاصله جانبی از میلگرد افزایش می‌یابد و نیز تمامی مقاومت‌های ( $R_1-R_4$ ) با فاصله جانبی از میلگرد نسبتاً ثابت می‌مانند و این نشان می‌دهد

بنابراین نتایج نشان می‌دهند در روش پالس گذرا امکان جداسازی اجزای مقاومتی فراهم شده است و مقاومت‌های غیر مرتبط با خوردگی کسر شده‌اند و آهنگ‌های خوردگی مطمئن‌تری در روش پالس گذرا برای میلگردها نسبت به روش LPR بدست می‌آید.

#### ۴- نتیجه گیری

در این مقاله با استفاده از سه روش پاسخ گذرا ی پالس گالوانواستاتیک، LPR گالوانواستاتیک و LPR پتانسیو استاتیک به بررسی خوردگی میلگرد در تیر بتنه پرداخته شد که نتایج به صورت زیر می‌باشد:

- ✓ تکنیک پاسخ گذرا ی پالس گالوانواستاتیک در این مقاله امکان شناخت دو تا چهار مجموعه مقاومتی و خازنی را با توجه به نقاط مختلف در نظر گرفته شده بر روی بتنه و نیز فرایند خوردگی که باعث تغییر در  $C_{de}$  (لایه روین ر روی میلگرد) و  $R_{ct}$  ( مقاومت انتقال بار خوردگی در سطح میلگرد) می‌شود، فراهم نمود.
- ✓ نتایج پالس گذرا ی گالوانواستاتیک در زمان اندازه گیری به ویژه برای میلگرد فعال نشان می‌دهد مقاومت اجزا با ظرفیت‌های بالاتر از  $1000\mu F/cm^2$  به احتمال زیاد به اثر پخش یونی بتنه مرتبط است و با خوردگی ارتباطی ندارد.

#### ۳-۲- مقایسه نرخ خوردگی تعیین شده با تکنیک LPR و پالس گذرا ی گالوانواستاتیک

اندازه گیری‌های LPR در میلگردها با استفاده از روش گالوانواستاتیک و پتانسیو استاتیک اجرا و نتایج در جدول ۶ آورده شده است. ملاحظه می‌شود نرخ خوردگی با روش LPR گالوانواستاتیک بیشتر از روش LPR پتانسیو استاتیک است.

جدول ۷ نرخ خوردگی‌های محاسبه شده با آزمایش‌های LPR و پالس گذرا ی گالوانواستاتیک را نمایش می‌دهد. برای مقایسه مستقیم میان این دو روش، نرخ خوردگی در پالس گذرا ی گالوانواستاتیک با جمع کردن مقاومت تمام بخش‌های جدادشده و یا کم کردن مقاومت‌هایی که به ظرفیت‌های جدادشده مربوط نباشند، می‌تواند هستند به دست آمد.

نرخ‌های خوردگی محاسبه شده با استفاده از روش LPR معمولاً کمتر از نرخ‌های محاسبه شده با روش پاسخ گذرا ی گالوانواستاتیک هستند. تفاوت در نرخ خوردگی این دو روش برای میلگردهای فولادی حدود سه برابر است که این مقدار در نرخ خوردگی‌های بالاتر مشخص نیست.

جدول ۷ همچنین نشان می‌دهد نرخ خوردگی محاسبه شده با روش پالس گذرا بسیار بیشتر است، زیرا اجزای مقاومتی مربوط به ظرفیت‌های بیش از  $1000\mu F/cm^2$  حذف شده‌اند.

جدول ۶: نتایج اندازه گیری LPR (پالس ۹۰ ثانیه)

LPR پتانسیو استاتیک		LPR گالوانو استاتیک		میلگرد
Rct(kΩcm <sup>2</sup> )	RΩ(kΩcm <sup>2</sup> )	Rct(kΩcm <sup>2</sup> )	RΩ(kΩcm <sup>2</sup> )	
۴۵/۷	۲۲/۳	۴۲/۷	۲۰/۴	C1
۴۰۶۲	۲۷	۳۲۵۰	۲۸	N1

جدول ۷: مقایسه نرخ خوردگی روش پالس گذرا گالوانو استاتیک و LPR (پالس ۹۰ ثانیه)

روش پالس گذرا گالوانو استاتیک				میلگرد
icorr	R ct(kΩcm <sup>2</sup> )	icorr	Rct(kΩcm <sup>2</sup> )	
۰/۵۴۷	۴۵/۷	۰/۵۸۵	۴۲/۷	۲/۵۷
۰/۰۰۶۱	۴۰۶۲	۰/۰۰۷۷	۳۲۵۰	۰/۰۱۴

✓ در مقایسه روش پالس گذرای گالوانوستاتیک با روش امپدانس که در آن اندازه گیری در حوزه فرکانس انجام شده و از جریان متناوب استفاده می شود، می توان گفت درصورتی که محیط الکتروولیت وجود داشته باشد روش امپدانس اگر چه مقاومت الکتروولیت را هم اندازه گرفته و در نتایج دخیل می نماید اما یک نظارت پیوسته و معقول بر روی سیستم امکان پذیر می نماید که به عنوان حسن آن مطرح است، اما با توجه به عدم امکان غوطه وری سازه های بتني (خصوصا در مقیاس بزرگ و در حال بهره برداری) و همچنین خطای ناشی از متناوب جریان، استفاده از این روش با محدودیت مواجه بوده و استفاده از روش پالس گذرای گالوانوستاتیک مناسب تر است؛ ضمن آنکه در روش پالس گذرای گالوانوستاتیک نیز امکان تعیین عناصر ظرفیتی و مقاومتی واکنش الکتروشیمیابی خوردگی به طور جداگانه همانند روش امپدانس وجود دارد.

✓ به علاوه، این اجزا با ظرفیت های بسیار بالا دارای ثابت های زمانی در بازه ۳۰ ثانیه و کمتر برای میلگرد فعال هستند. از این رو در تعیین آهنگ خوردگی میلگرد فعال زمان تعادل ۳۰ ثانیه را باید لحاظ نمود.

✓ در میلگرد غیر فعال، اثر زمان اندازه گیری روی تعیین نرخ خوردگی قابل توجه است، زیرا در این حالت مقاومت ها با ثابت زمانی طولانی تر، به فرایند خوردگی وابسته هستند. اما در عمل، زمان اندازه گیری ۳۰ ثانیه تقریبی نزدیک تر برای هردو میلگرد فعال و غیر فعال است.

✓ حذف اجزای مقاومتی بر اساس ظرفیت بالا سبب افزایش نرخ خوردگی به دست آمده با ضریب ۲ می شود.

✓ آهنگ های خوردگی محاسبه شده از داده های پالس گذرای گالوانوستاتیک معمولاً بیشتر از مقادیر به دست آمده با روش LPR هستند. این تفاوت ها دارای ضریب تقریبی ۳ هستند.

✓ به طور کلی نتایج به دست آمده نشان می دهد تکنیک پالس گذرای گالوانوستاتیک می تواند آهنگ خوردگی های مطمئن تری نسبت به روش LPR به دست دهد.

## مراجع

1. American Society for Testing and Materials, Standard Test Method for Half-Cell Potentials of Uncoated Reinforcing Steel in Concrete, ASTM C876-91, Philadelphia, 1991.
2. M. Stem and A.L. Geary, Electrochemical Polarization: I.A. theoretical analysis of the shape of polarization curves, Journal of Electrochemical Soe., vol. 104, No.1, 1957,Pp. 56-63.
3. M. Stem and E.D. Weisert, Experimental observations on the relations between polarization resistance and corrosion rate, Proc. American Society Testing, Materials 59, 1958, Pp. 1280.
4. W.J. Lorenz and F. Mansfeld, Determination of corrosion rates by electrochemical DC and AC methods, Corrosion Science, Vol. 21, No. 9, 1981, Pp. 647-672.
5. I. Epelboim, C. Gabrielli, M. Keddam and H. Takenouti, Alternating-current impedance measurements applied to corrosion studies and corrosion-rate determination, Electrochemical Corrosion Testing, ASTM STP 727, F. Mansfeld and U. Bertocci, Ed., 1981, Pp. 150-166.
6. C. Gabrielli, M. Keddam, H. Takenouti, V. Q. Kin and F. Bourelier, The relationship between the impedance of corroding electrode and its polarization resistance determined by a linear voltage sweep technique, Electrochimical Acta, Vol. 24 ,1979, Pp. 61-65.
7. D.D. McDonald and M.C.H. McKubre, Electrochemical Impedance Techniques in corrosion science, Electrochemical Corrosion Testing ASTM STP 727, F. Mansfeld and U. Bertocci Ed. ,1981, Pp. 110-149.
8. S. G. Millard, K. R. Gowers and R. P. Gill, Practical Field Measurement of Reinforcement Corrosion in Concrete Using Linear Polarization Methods, British Journal of Non-Destructive Testing, Vol.34, No.9, 1992, Pp. 444-452.

9. D. W. Law, , S. G. Millard and , J. H. Bungey, Use of Galvanostatic Pulse Measurements on Active Reinforcing Steel in Concrete to Assess Corrosion Rates, *British Corrosion Journal*, Vol.36, No.1, 2001, Pp. 75-80.
10. J. A. Gonzalez, J. M. Miranda and S. Feliu, Considerations on Reproducibility of Potential and Corrosion Rate Measurements in Reinforced Concrete, *Corrosion Science*, Vol.46, 2004, Pp. 2467-2485.
11. S. Sathiyanarayanan, P. Natarajan, K. Saravanan, S. Srinivasan and G. Venkatachari, Corrosion Monitoring of Steel in Concrete by Galvanostatic Pulse Technique, *Cement and Concrete Composites*, Vol.28, 2006, Pp. 630-637.
12. C. J. Newton and J. M. Sykes, A Galvanostatic Pulse Technique for Investigation of Steel Corrosion in Concrete, *Corrosion Science*, Vol.28, No.11, 1988, pp. 1051-1073.
13. GK. Glass, CL. Page, NR. Short and SW. Yu, An investigation of galvanostatic transient methods used to monitor the corrosion of rate of steel in concrete, *Corrosion Science*, Vol. 35 ,1993, Pp. 1585.
14. JA. Gonzalez, A. Cobo, MN. Gonzalez and S. Feliu, On-site determination of corrosion rate in reinforced concrete structures by use of galvanostatic pulse, *Corrosion Science*, Vol. 43, 2001, Pp. 611-625.
16. Lu. Cui and Peiyu. Yan, An algorithm of galvanostatic pulse method to determine the corrosion status of reinforcement in concrete, *Corrosion Science*, Vol. 42, 2000, Pp. 675-686.
16. A. Poursaee, Potentiostatic transient technique, a simple approach to estimate the corrosion current density and Stern–Geary constant of reinforcing steel in concrete, *Cement and Concrete Research*, Vol. 40, 2010, Pp. 1451–1458.
17. M. Stern and A. L. Geary, Electrochemical Polarisation: Theoretical Analysis of the Shape of Polarization Curves, *Journal of the Electrochemical Society*, Vol.104, No.1, 1957,Pp. 56-63.
18. J. E. B. Randles, Kinetics of Rapid Electrode Reactions, *Discussion of the Faraday Society*, Vol. 1, No. 1, 1947, Pp. 11-19.
19. J. P. Broomfield, Corrosion of Steel in Concrete Understanding, Investigation and repair, E & FN Spon, 1997, Pp. 201.
20. C. Andrade and C. Alonso, Corrosion Rate Monitoring in the Laboratory and On-Site, *Construction and Building Materials*, Vol. 10, No. 5, 1996, Pp.315-322.
21. J. P. Broomfield, Techniques to Assess the Corrosion Activity of Steel-reinforced Concrete Structures, *ASTM STP 1276*, eds. N. S. Berke, E. Escalante, C. K. Nmai, D. Whiting, West Conshohocken, 1996, Pp. 91-106.
22. K. R. Gower and S. G. Millard, Electrochemical Techniques for Corrosion Assessment of Reinforced Concrete Structures, *Proceeding of Institute Civil Engineering, Structures and Bridges*, Vol. 134, May 1999, Pp. 129-137.
23. Y. Schiegg, Online-monitoring to Detect Corrosion of Rebars in Reinforced Concrete, PhD Thesis, No. 14583, ETH Zurich, 2002.



# تشخیص ترک های تنشی سولفیدی (SSC) با استفاده از مدل سازی تکنیک آرایه فازی

مصطفی مردانی خرات<sup>\*</sup>، ابوالفضل متشرک<sup>۱</sup>، غلامرضا راشد<sup>۲</sup>

<sup>۱</sup> کارشناس ارشد مهندسی بازرگانی، دانشگاه صنعت نفت

<sup>۲</sup> استادیار، گروه مهندسی بازرگانی، دانشگاه صنعت نفت

نویسنده مسئول: \*

تاریخ دریافت: ۱۳۹۰/۱۱/۰۳ تاریخ پذیرش: ۱۳۹۱/۰۴/۲۲

## چکیده

اهمیت انرژی حاصل از نفت و گاز، سبب شده که همواره رفتار فولادهای مورد کاربرد در خطوط انتقال نفت و گاز، به ویژه فولادهای پر استحکام، مورد توجه کشورهای نفت خیز و صنعتی قرار گیرد. خطوط لوله به کارگیری شده در محیط های ترش، دچار انواع خوردگی، به خصوص تخریب های ناشی از تردی هیدروژنی می شوند. زمانی که سولفید در محیط سروپس دهی لوله موجود باشد، پدیده ترک خوردگی تنشی سولفیدی (SSC) که از انواع متداول تردی هیدروژنی است، می تواند رخ دهد. ابعاد ریز و اثرات مخرب این نوع ترک ها سبب شده که تشخیص ترک های خوردگی هیدروژنی از اهمیت خاصی برخوردار شود. یکی از روش های نوین در تشخیص این نوع ترک ها استفاده از تکنیک آرایه فازی اولتراسونیک در آزمایش های غیر مخرب می باشد. در این مقاله، آزمون اولتراسونیک آرایه فازی با استفاده از روش اجزاء محدود مدل سازی شده و چگونگی رفتار امواج اولتراسونیک در برخورد با عیوب صفحه ای مورد بررسی قرار گرفته است. سپس آزمون آرایه فازی بر روی بلوکی از جنس فولاد کربنی دارای عیب مصنوعی صفحه ای و نمونه ای از جوش جناغی یک طرفه (V شکل) دارای ترک تنشی سولفیدی، انجام شد. نتایج آزمایشگاهی آزمون آرایه فازی، با نتایج مدل سازی مطابقت داشت و نشان داد که مدل پیشنهاد شده، راهکاری مناسب برای تشخیص ترک تنشی سولفیدی می باشد.

**کلمات کلیدی:** خوردگی سولفیدی، آرایه فازی، روش اجزاء محدود.

# Detection of Sulfide Stress Cracks (SSC) with the Use of Modeling of Phased Array Technique

Mostafa Mardani Kharat \*<sup>1</sup>, Abolfazl Moteshakker<sup>1</sup>, Gholamreza Rashed<sup>2</sup>

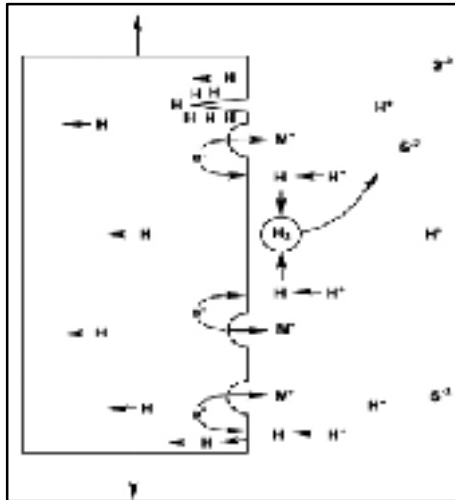
1. M. Sc. in Technical Inspection, University of Petroleum Industries  
2. Assistant professor, Technical Inspection Faculty, University of Petroleum Industries  
\* Corresponding Author: mardani.kharat@yahoo.com

Submission: January 22, 2012      Acceptance: July 12, 2012

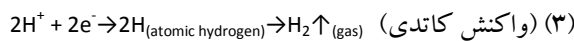
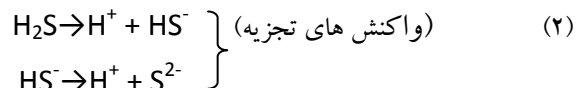
## Abstract

The importance energy from the oil and gas that has caused the behavior of the steels used in oil and gas pipelines, especially high-strength steels, has been considered by oil-rich and industrial countries. The deployment pipelines in sour environments are more prone to corrosion, particularly destruction caused by hydrogen brittleness. The phenomenon of sulfide stress cracking (SSC) can occur when sulfide is present in the service pipe. Small dimensions and the destructive effects of this type of crack have made that detection of the hydrogen corrosion cracks is especially important. A new method for Detection of these type cracks is use of phased array ultrasonic technique. The finite element method is used for modeling the phased array technique in a two-dimensional geometry. Ultrasonic waves are generated in samples with slit and the interactions of waves with this discontinuity are monitored. Phase array tests were carried out on carbon steel blocks with slits and a sample of the weld that have sulfide stress crack. To investigate reliability and efficacy of the proposed approach phased array numerical results are compared with the experimental results.

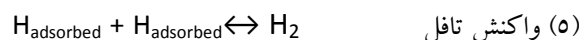
**Keywords:** Sulfide corrosion, Phased array, Finite element method.



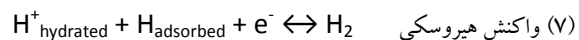
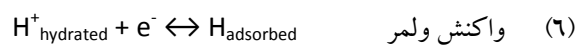
شکل ۱: شماتیک خوردگی سطح فولاد در محیط سولفیدی و ایجاد اتم هیدروژن [۲].



با این وجود، بسته به طبیعت فلز، دو مکانیزم مختلف برای احیای یون های هیدروژن وجود دارد [۱۰]:  
الف) مکانیزم ولمر<sup>۳</sup> - تافل<sup>۴</sup> (احیای الکتروشیمیایی و پس از آن ترکیب مجدد شیمیایی):



ب) مکانیزم ولمر- هیروسکی<sup>۵</sup> (احیای الکتروشیمیایی و پس از آن ترکیب مجدد الکترو شیمیایی):



ترک های هیدروژن توانند برای تشکیل مولکول های گازی هیدروژن با هم ترکیب شوند. با این وجود، ترکیباتی

## ۱- مقدمه

ترک خوردگی تنشی سولفیدی<sup>۱</sup> از مهم ترین مشکلات ناشی از هیدروژن در فولادهای خطوط لوله انتقال نفت و گاز، حین سرویس دهی در محیط های ترش حاوی سولفید هیدروژن ( $\text{H}_2\text{S}$ ) می باشد و سالیانه ده ها میلیون دلار برای تعویض و تعمیر این خطوط هزینه می شود [۲و۱]. گسترش صنعت نفت و گاز، روش های جدید استخراج نفت و نیاز به عملکرد خطوط لوله در شرایط فشار بالا و محیط ترش، تمایل به استفاده از فولادهایی با استحکام تسلیم بالاتر، قابلیت جوشکاری بهتر و چرمگی مناسب تر را افزایش داده است. این خواص با کنترل میزان ناخالصی ها، استفاده از عناصر آلیاژی مناسب، فرایندهای ترمومکانیکی ساخت لوله و استفاده از فرایند نورد کنترل شده به دست می آیند. فولادهای کم آلیاژ و پر استحکام<sup>۲</sup> به دلیل خواص مکانیکی مناسب، قابلیت جوشکاری و شکل پذیری، کاربرد وسیعی در صنایع نفت و گاز پیدا کرده اند. از دیگر مزایای مهم این فولادها می توان به وزن پایین، حذف عملیات پرهزینه مثل کوئنچ- تمپر و در نتیجه کاهش هزینه های ساخت اشاره کرد. این فولادها حاوی حدود ۰/۲ درصد کربن و کمتر از ۲ درصد عناصر آلیاژی می باشند. همچنین استحکام تسلیم آنها در محدوده ۵۰۰- ۲۷۵ Mpa در حدود ۶۰۵- ۴۵۰ Mpa است [۳و۱]. پدیده ترک خوردگی تنشی سولفیدی نوعی ترک خوردگی ترد است که در سطح مرطوب آلیاژهای حساس، در حضور  $\text{H}_2\text{S}$  رخ می دهد. فولادهای با استحکام بالاتر از ۵۵۰ MPa و سختی بیشتر از ۲۲ HRC بیشترین حساسیت را به این پدیده دارند [۶-۴].

## ۱-۱- مکانیزم عملکرد هیدروژن در محیط ترش

مطابق شکل ۱، در اثر خوردگی سطح لوله فولادی در محیط ترش، اتم های هیدروژن می توانند تولید شوند. هیدروژن اتمی، مطابق با واکنش های متداول ۱-۳، در محیط آبی حاوی  $\text{H}_2\text{S}$  تولید می شود [۷-۹].

<sup>3</sup> Volmer

<sup>4</sup> Tafel

<sup>5</sup> Heyrovsky

<sup>۱</sup> Sulfide stress cracking (SSC)

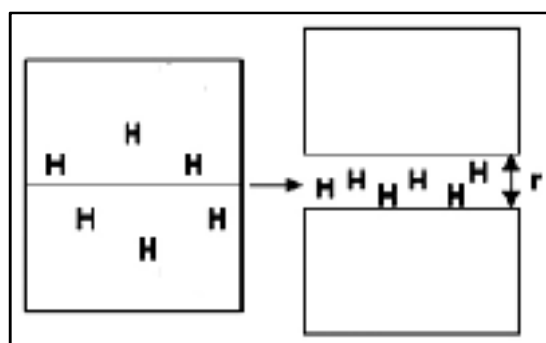
<sup>2</sup> High strength low alloy (HSLA)

که  $C$ ،  $x$  و  $t$  به ترتیب غلظت، فاصله نفوذ و زمان نفوذ است و  $D_{eff}$ ، ضریب نفوذ مؤثر و در بردارنده اثر موانع نفوذی می باشد [۱۰]:

$$\frac{\partial C}{\partial t} = D_{eff} \frac{\partial^2 C}{\partial x^2} \quad (8)$$

mekanizm های مختلفی برای اثر هیدروژن بر عملکرد و رفتار فلز در محیط های ترش بیان شده است که متأسفانه هیچ کدام به طور کامل نمی تواند این پدیده را توجیه کند. در ادامه دو مورد از معترضین و متداوی ترین مکانیزم ها برای توجیه اثر هیدروژن بر رفتار فلز در محیط ترش آورده شده است [۱۰]:

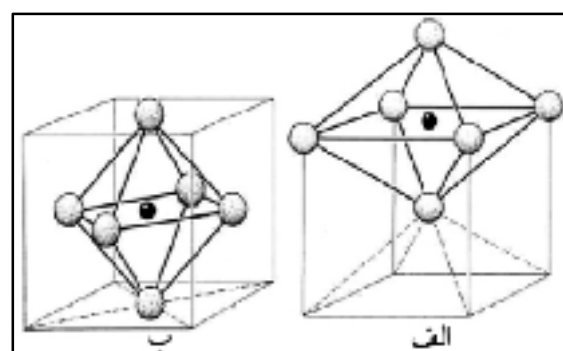
الف) تئوری تشدید ناپیوستگی (عدم چسبندگی) توسط هیدروژن (HEDE)<sup>۲</sup>: مطابق با این تئوری که توسط تریانو<sup>۳</sup> ارائه شده است، هیدروژن موجود در داخل قطعه، نیروهای چسبندگی اتم های کریستال در امتداد صفحات کریستالوگرافی یا به عبارتی انرژی تشکیل سطح کلیواژ (شکست ترد) را کاهش می دهد (شکل ۳). این تئوری می تواند برای توجیه شکست بین دانه ای، در جایی که غلظت زیادی از اتم های هیدروژن در مرز دانه ها تجمع کرده اند، به کار رود. با این وجود، رفتار پلاستیسیته مشاهده شده همراه با برخی شکست ها، توسط این تئوری توجیه نمی شود [۱۰ و ۱۵].



شکل ۳: شماتیک تئوری تشدید ناپیوستگی (عدم چسبندگی) توسط هیدروژن (HEDE) [۱۰]

ب) تئوری افزایش موضعی پلاستیسیته توسط هیدروژن (HELP)<sup>۴</sup>: این تئوری بیان می دارد که حضور هیدروژن در

مثل  $S^{2-}$ ،  $HS^-$  و  $H_2S$  مانع از ترکیب مجدد اتم های هیدروژن بر سطح فلز می شوند و نفوذ هیدروژن به داخل فلز را تسهیل می کنند. در مقابل وجود فیلم های اکسیدی بر سطح، موانعی برای جذب هیدروژن اتمی هستند [۱۳-۱۰]. بنابراین، مقداری از هیدروژن های اتمی به داخل فولاد نفوذ می کنند. اتم های هیدروژن نفوذ کرده در داخل فولاد، در مکان های مانند عیوب متالورژیکی و یا فصل مشترک بین آخال غیر فلزی و زمینه فولاد تجمع کرده و در آن محل گاز هیدروژن با فشار بالا تشکیل شده که سبب تمرکز تنش در آن مکان می شود. پس از آن، در صورتی که مقدار هیدروژن به مقدار بحرانی برسد، ترک می تواند ایجاد شود [۱۴]. این مکان های تجمع هیدروژن، عیوب متالورژیکی همچون آخال های غیرفلزی، رسوبات بزرگ و ریزاساختارهای سخت موضعی هستند [۱۱]. همچنین، اتم هیدروژن دارای حجم کوچکی است و می تواند به راحتی در ماده نفوذ کرده و مطابق با شکل ۲، مکان های بین نشین اتمی را اشغال کند. هیدروژن بین نشین قابل برگشت است و در دمای اتفاق می تواند به خارج از فلز نفوذ کند [۱۰].



شکل ۲: مکان های بین نشین اشغال شده توسط اتم هیدروژن؛ الف: ساختار کریستالی bcc، ب: ساختار کریستالی fcc [۱۰]

نیروی پیش برنده نفوذ اتم های هیدروژن در داخل فلز، شبیه غلظتی هیدروژن می باشد. حضور موانع نفوذی مانند عیوب متالورژیکی و آخال، نفوذ هیدروژن را به تأخیر می اندازد. پدیده نفوذ بر اساس قانون فیک<sup>۱</sup> از رابطه (۸) پیروی می کند

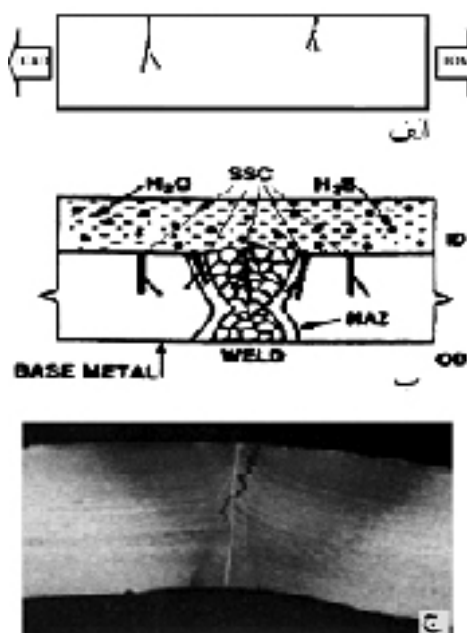
<sup>2</sup> Hydrogen enhanced decohesion

<sup>3</sup> Troiano

<sup>4</sup> Hydrogen enhanced localized plasticity

<sup>۱</sup> Fick

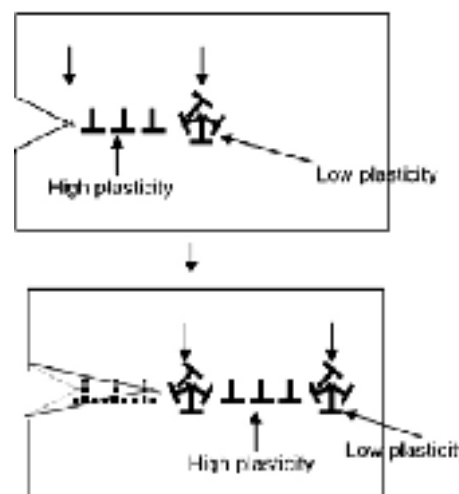
خط لوله همچون رطوبت، محصولات ترش و یا آب و خاک حاوی باکتری های احیا کننده سولفات می توانند سبب ترک خوردگی تنشی سولفیدی در خطوط لوله، به ویژه در نقاط حساس و تحت تنش مانند مناطق جوشی شوند که این پدیده در شکل ۵ به صورت شماتیک نشان داده شده است [۱۷].



شکل ۵: (الف) شماتیک ترک خوردگی تنشی سولفیدی [۱۸]،  
ب) شماتیک ترک خوردگی تنشی سولفیدی در یک اتصال  
جوشی، ج) نمایی واقعی از ترک تنشی سولفیدی در فلز  
جوش [۱۷].

متغیرهای محیطی که ورود هیدروژن به داخل فولاد را افزایش می دهند، مانند pH پایین و فشار جزئی بالای  $H_2S$ ، تمایل به ترک خوردن را افزایش می دهند، زیرا این دو پارامتر بر نفوذ اتم های هیدروژن در فولاد اثرگذار می باشند. جوشکاری بر سطوح آلوده و چرب فلز پایه، استفاده از الکترود جوشکاری آلوده به چربی یا مرطوب، قیود و طرح اتصال نامناسب که سبب ایجاد تنش در قطعه شده و نرخ سردشدن بالا که سبب ایجاد ساختارهای حساس شده، سبب ترک خوردگی ناشی از هیدروژن می شود. نوع ریزساختار نیز بر پدیده تردی هیدروژنی و ترک خوردگی تنشی سولفیدی تأثیرگذار است. مثلاً ساختار آستینیتی دارای حلالیت بالاتری برای هیدروژن نسبت به ساختار مارتنتیتی

محلول جامد، سبب کاهش بر هم کنش بین نابجایی ها، و بین نابجایی ها با دیگر مواد (اتم های کربن، مرزدانه) می شود، که این امر موجب افزایش حرک نابجایی ها شده و در نتیجه سبب ایجاد مناطق با تغییر شکل موضعی زیاد می شود. هنگام حضور هیدروژن، نابجایی ها توانایی نزدیک تر شدن (فسرده شدن) به یکدیگر و به دیگر مواد را پیدا می کنند که سبب ایجاد تجمع نابجایی فشرده و متراکم می شود (شکل ۴). بنابراین مناطق میکروسکوپی با تغییر شکل زیاد (جایی که H، حرک نابجایی ها را افزایش می دهد)، با مناطق با انعطاف پذیری کمتر (جایی که نابجایی ها بسیار متراکم هستند) احاطه شده اند. سپس تنش اعمالی بر این مناطق سخت که بخش کوچکی از مقطع عرضی هستند، متوجه می شود. زمانی که تنش کششی در این مناطق کوچک از استحکام نهایی بیشتر می شود، شکست ماده رخ می دهد. این تئوری را «تئوری افزایش تنش سیلان» نیز می گویند که توسط بیچم<sup>۱</sup> ارائه شده است [۱۰ و ۱۶].



شکل ۶: شماتیک تئوری افزایش موضعی پلاستیسیته توسط هیدروژن (HELP) [۱۰].

**۱-۲-۱- عوامل مؤثر بر ترک خوردگی تنشی سولفیدی**  
مطابق شکل ۵، مشاهده می شود که ترک خوردگی تنشی سولفیدی، سبب ایجاد ترک های منفرد و صاف (بین دانه ای و میان دانه ای) در سازه می شود [۱]. عوامل داخلی یا خارجی

به طور کلی، کنترل هر یک از عوامل مؤثر بر ترک خوردگی تنشی سولفیدی ذکر شده، می تواند در جلوگیری از این پدیده مخرب کارآمد باشد. ابعاد ریز و اثرات مخرب این نوع ترک ها سبب شده که تشخیص ترک های تنشی سولفیدی، پیش از وقوع حادثه در صنایع مختلف به ویژه نفت، گاز و پتروشیمی دارای اهمیت باشد. آزمون اولتراسونیک و رادیو گرافی از جمله روش های پر کاربرد در آزمایش های مخرب برای بازرگانی می باشند، اما به خاطر ویژگی های آزمون اولتراسونیک این آزمون عملکرد بهتری نسبت به رادیو گرافی در تشخیص عیوب صفحه ای دارد. امروزه آزمون غیر مخرب اولتراسونیک و تکنیک آرایه فازی به دلیل ویژگی هایی نظیر قابل اجرا بودن در شرایط مختلف، سرعت بالای انجام آزمون و همچنین توانایی ارائه نتایج تصویری مختلف، جایگاه ویژه ای در آزمایش های غیر مخرب، جهت تشخیص ترک پیدا کرده است.

## ۲- روش تحقیق

در این تحقیق، آزمون اولتراسونیک آرایه فازی<sup>۱</sup> با استفاده از روش اجزاء محدود<sup>۲</sup> مدل سازی شده و چگونگی رفتار امواج اولتراسونیک در برخورد با عیوب صفحه ای مورد بررسی قرار گرفت. در ادامه آزمون آرایه فازی بر روی بلوکی از جنس فولاد کربنی دارای عیوب صفحه ای مصنوعی و نمونه ای از جوش جناغی (V شکل) دارای عیوب ترک تنشی سولفیدی، انجام شده است و نتایج به دست آمده از روش آزمایشگاهی با روش شبیه سازی مورد مقایسه و بررسی قرار گرفت. ترانس迪وسرهای آرایه فازی از شبکه ای از المان های پیزوالکتریک مجزا با ساختار کامپوزیتی تشکیل می شوند. اساس عملکرد ترانسdiوسرهای آرایه فازی، کنترل مستقل فعالیت هر یک از المان های پیزوالکتریک شبکه، با تأخیر فازی متفاوت نسبت به سایر المان های موجود در شبکه، در ارسال و دریافت امواج اولتراسونیک است [۲۱]. عملکرد و فاز تحریک هر المان، نسبت به سایر المان های شبکه فازی،

است. بنابراین ساختار مارتزیتی حساسیت بیشتری برای ترک خوردگی تنشی سولفیدی دارد [۲۰ و ۱۹]. اثر تنش بر پدیده ترک خوردگی تنشی سولفیدی به این صورت است که با کاهش تنش اعمالی برای هر نوع ریزساختار، زمان شکست افزایش می یابد. فاکتور شدت تنش آستانه ( $K_{IH}$ ) مطابق با رابطه (۹) می باشد [۷]:

$$(9) \quad K_{IH} = 1 - \left( \frac{\sigma_{cr}(Pa)^{1/2}}{1 + 1.12 - 0.22 \left( \frac{T}{21.7} \right)^2 + 10.6 \left( \frac{T}{21.7} \right)^4 + 20.4 \left( \frac{T}{21.7} \right)^6} \right)$$

در رابطه (۹)،  $\sigma_{cr}$  و  $T$  به ترتیب عمق ترک، عرض نمونه و تنش اعمالی بحرانی می باشند.  $K_{IH}$  بالاتر، مقاومت به ترک خوردگی تنشی سولفیدی بهتری دارد. هیدروژن نیز می تواند تحت شیب تنشی، به سمت مکان های با تنش بالا نفوذ کند و نفوذ هیدروژن مستقیماً مرتبط با تنش اعمالی در نمونه ها باشد. تحت شرایط وجود تنش، غلظت هیدروژن بحرانی مطابق با رابطه (۱۰) می باشد [۶]:

$$(10) \quad C_H = C_0 \exp \left( \frac{C_H V_H}{R T} \right)$$

$C_0$ ،  $C_H$ ،  $V_H$ ،  $R$  و  $T$  به ترتیب غلظت بحرانی هیدروژن، غلظت متوسط هیدروژن، تنش هیدرواستاتیک، حجم مولی جزئی هیدروژن، ثابت گازها و دما می باشند. مطابق با رابطه (۱۰) زمانی که غلظت هیدروژن به مقدار بحرانی می رسد، ترک خوردگی تنشی سولفیدی رخ می دهد. در مکان های نظیر نوک ریشه ترک، حداقل تنش کششی سه محوری وجود دارد، که اغلب در آن مکان غلظت هیدروژن، به مقدار بحرانی می رسد. همچنین، نابجایی ها مکان های مناسبی برای تجمع اتم های هیدروژن هستند. عناصری همچون نیویوم، وانادیوم و تیتانیوم سبب ایجاد کربونیترید ها و قفل کردن نابجایی ها می شوند. این نوع مانع گذاری، سبب می شود که مقدار هیدروژن با تأخیر بیشتری به مقدار بحرانی برسد که این امر مقاومت به ترک خوردگی تنشی سولفیدی را افزایش می دهد [۶]. عملیات حرارتی پس از جوشکاری سبب می شود که فرایند نفوذ هیدروژن سریع تر انجام شود و هیدروژن از قطعه خارج شده و غلظت آن در قطعه پایین آید.

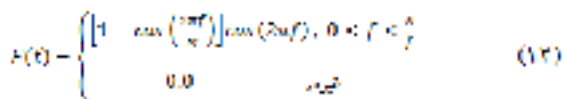
<sup>1</sup> Phased array

<sup>2</sup> Finite element method

عیوب موجود در قطعه بر روی امواج اولتراسونیک، در پدیده های پراش و بازتابش امواج بررسی شده است. برای المان بندی مسئله، از المان دو بعدی چهار گرهی کرنش صفحه ای CPE4R استفاده شده است که با توجه به طول موج امواج منتشر شده در قطعه ( $\lambda$ )، ابعاد المان ها به منظور پایداری نتایج مدل سازی و همچنین هم گرایی پاسخ ها، رابطه زیر را ارضا می نماید [۲۴]:

$$\frac{\lambda}{20} < h < \frac{\lambda}{8} \quad (11)$$

به طوری که در این رابطه  $h$ ، ابعاد المان های مورد استفاده و  $\lambda$  طول موج امواج منتشر شده در قطعه است که به صورت تابعی از فرکانس و سرعت امواج تولید شده تعریف می شود. مدل کردن ترانسdiyosرهای آرایه فازی شامل دو بخش مدل کردن صفحه تحریک ناشی از المان های پیزو کامپوزیتی ترانسdiyosرهای آرایه فازی کفشك<sup>۱</sup> و قوانین تأخیر مورد استفاده در آزمون آرایه فازی است. در حالت کلی، تحریک ناشی از ارتعاش صفحات پیزو الکتریک را می توان با استفاده از دو روش بارگذاری نیرویی و یا جابجایی مدل سازی نمود. در این تحقیق، مدل سازی تحریک ناشی از ترانسdiyosرهای آرایه فازی با استفاده از اعمال یک پالس نیرویی در دو سیکل و با فرکانس مرکزی ۵ MHz روی سطح قطعه انجام می شود [۲۵ و ۲۶].



$$(12)$$

در این معادله  $f$  فرکانس ترانسdiyosر و  $N$  تعداد سیکل های پالس اعمالی است.

در ترانسdiyosرهای آرایه فازی بخلاف ترانسdiyosرهای متداول اولتراسونیک که تابش امواج زاویه ای در آنها عمدتاً با استفاده از کفشك انجام می شود، روش زاویه ای را می توان بدون طراحی از کفشك، با اعمال قوانین تأخیر مشخص برای هریک از المان های ترانسdiyosر، طوری اعمال نمود که پالس های نیرویی با استفاده از اصل هویگنس<sup>۲</sup> بر اساس یک تأخیر زمانی یکسان بر هر یک از نقاط گرهی

توسط یک پردازش گر اصلی کنترل می شود. استفاده از یک پردازش گر برای تولید و دریافت امواج اولتراسونیک توسط یک ترانسdiyosر آرایه فازی، امکان برنامه ریزی و کنترل شرایط تولید و دریافت موج را برای هر المان ترانسdiyosر به صورت جداگانه فراهم می کند که این امر قابلیت های ویژه و منحصر به فردی نظری تولید امواج اولتراسونیک با زوایای مختلف، روش الکترونیکی، تمرکز عمقی و تمرکز عمقی دینامیکی را برای این ترانسdiyosرهای وجود می آورد [۲۲ و ۲۳]. استفاده از روش های عددی در مدل سازی شبیه سازی انتشار امواج اولتراسونیک تولید شده توسط ترانسdiyosرهای آرایه فازی، یکی از روش هایی است که امکان پیش بینی رفتار امواج، تفسیر نتایج به دست آمده و همچنین امکان طراحی بهینه آزمون را فراهم می نماید.

در این تحقیق، مدل سازی عددی انتشار امواج اولتراسونیک تولید شده توسط ترانسdiyosرهای آرایه فازی، با استفاده از روش المان محدود در محیط نرم افزار ABAQUS مدل سازی شده و چگونگی رفتار این امواج در برخورد با عیوب صفحه ای مورد مطالعه و بررسی قرار گرفت. سپس با انجام آزمون اولتراسونیک آرایه فازی بر روی بلوکی از جنس فولاد کربنی دارای عیب مصنوعی صفحه ای و نمونه ای از جوش جناغی یک طرفه (V شکل) دارای ترک تنشی سولفیدی به صورت آزمایشگاهی انجام شده و نتایج حاصل از مدل سازی عددی و آزمون آرایه فازی آزمایشگاهی با یکدیگر مقایسه شد. سپس چگونگی رفتار امواج اولتراسونیک تولید شده در آزمون آرایه فازی به منظور ارائه یک روش بهینه برای تشخیص ترک تنشی سولفیدی در آزمون های غیر مخبر مورد مطالعه قرار گرفت.

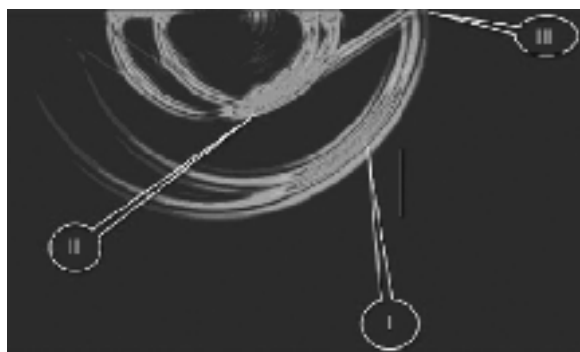
## ۱-۲- مدل سازی آزمون آرایه فازی با استفاده از روش المان محدود

در این بخش، به تشریح چگونگی مدل سازی انتشار امواج اولتراسونیک تولید شده توسط یک ترانسdiyosر آرایه فازی با استفاده از نرم افزار ABAQUS پرداخته شده و تأثیر متقابل

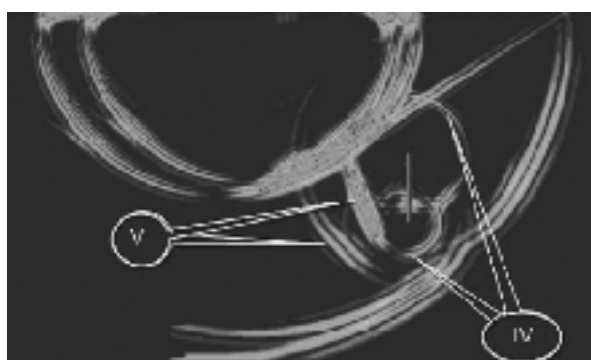
<sup>1</sup> Shoe

<sup>2</sup> Huyghen

داده شده است. همان گونه در شکل (۷) مشاهده می‌شود پس از برخورد امواج تابشی با زاویه‌های معین، دو دسته موج پراکنده‌گی (V) از دو انتهای شیار منتشر می‌شود. در این شکل همچنین امواج تولید شده پس از برخورد موج طولی با شیار که به دلیل پدیده تبدیل مود به صورت دو موج طولی و عرضی در قطعه منتشر می‌شوند، قابل مشاهده است.



شکل ۶: ایجاد امواج طولی (I) و امواج عرضی (II) و امواج سطحی (III) در مدل.



شکل ۷: امواج پراکنده‌گی پراش (IV) تولید شده از لبه‌های بالایی و پائینی شیار و امواج بازتابش ناشی از پدیده تبدیل مدل (V).

### ۳-۲- نتایج آزمایشگاهی آزمون اولتراسونیک آرایه فازی

به منظور بررسی نتایج عددی حاصل از تحلیل‌های المان محدود انجام شده در بخش قبل، از یک دستگاه اولتراسونیک آرایه فازی مطابق شکل (۸) که دارای ۶۴ کانال از شرکت M2M و یک ترانس迪وسر آرایه فازی ۵ MHz با پهنای المان ۱۰ mm، فاصله مرکز تا مرکز دو المان متواالی

مربوطه بر روی سطح قطعه اعمال شوند [۲۷] که این تاخیر زمانی با استفاده از معادله (۱۳) بدست می‌آید:

$$\Delta t = \frac{d \sin \theta}{c} \quad (13)$$

در این معادله  $\Delta t$  تاخیر زمانی بین دو المان متواالی،  $d$  فاصله میان المانها،  $\theta$  زاویه روبش مطلوب و  $c$  سرعت موج در قطعه مورد آزمون است.

### ۳- نتایج و بحث

در این بخش به بررسی و مطالعه نتایج مدل سازی عددی و آزمایشگاهی پرداخته شده است. تحلیل نتایج مدل، با استفاده از روش تحلیل صریح<sup>۱</sup> انجام شده و خروجی‌های مدل، بر اساس مقادیر جابجایی گرهی ارائه شده است. نتایج آزمایشگاهی با انجام آزمون آرایه فازی بر روی بلوكی از جنس فولاد کربنی دارای عیب مصنوعی صفحه‌ای و نمونه جوش جناغی یک طرفه (V شکل) دارای ترک تنفسی سولفیدی انجام شد.

### ۳-۱- نتایج عددی

در این مقاله به منظور مطالعه تأثیر تابش امواج بر یک عیب صفحه‌ای، فرایند مدلسازیون در دو بعد و بر روی یک صفحه با ابعاد  $300 \times 50$  mm در  $300 \times 50$  mm حاوی یک شیار به ارتفاع ۱۰ mm و ضخامت ۰/۷ mm در قسمت میانی صفحه، مدل سازی شده است. در این مدل، تحریک ترانسdiوسر و کفشك با استفاده از قانون اسنل<sup>۲</sup> [۲۸] به گونه‌ای اعمال شده است که امواج طولی (I) با زاویه  $45^\circ$  و امواج عرضی (II) با زاویه  $22/5^\circ$  در قطعه تولید گردد. همان طور که در شکل (۶) ملاحظه می‌شود علاوه بر امواج طولی و عرضی، امواج سطحی (III) نیز به وجود می‌آیند. امواج پراکنده‌گی پراش<sup>۳</sup> (IV) تولید شده از لبه‌های بالا و پائین شیار و امواج بازتابش ناشی از پدیده تبدیل حالت یا مده<sup>۴</sup> (V) امواج طولی و عرضی در این تحلیل، پس از برخورد امواج تابشی با شیار در شکل (V) نشان

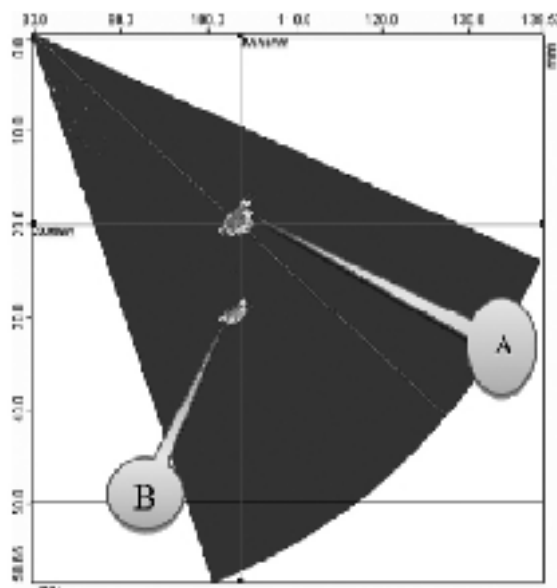
<sup>1</sup> Explicit

<sup>2</sup> Snell's law

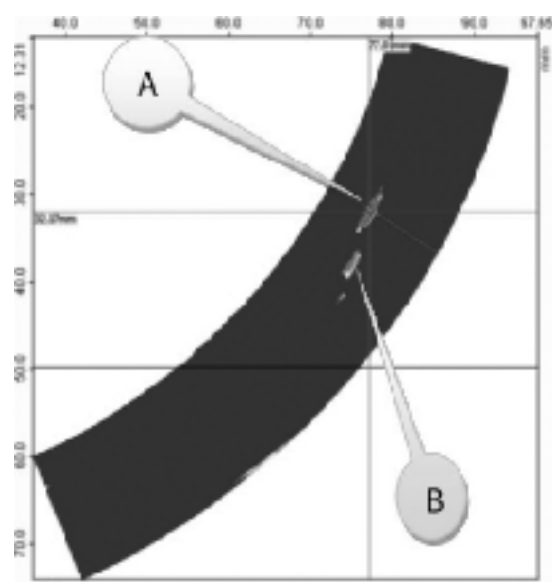
<sup>3</sup> Diffracted wave

<sup>4</sup> Mode conversion

حاصل از تحلیل المان محدود ارائه شده در شکل (۷) مطابقت می کند. آزمایش دیگر بر روی منطقه جوش دارای ترک تنشی سولفیدی، انجام شده است که جنس فلز پایه فولاد پر استحکام-کم آلیاژ (API 5L X70) و فرایند جوشکاری الکترود دستی SMAW<sup>۲</sup> می باشد.



شکل ۹: تصویر روش قطاعی بلوک دارای عیب صفحه ای.



شکل (۱۰): تصویر روش قطاعی از جوش دارای ترک.

۰/۶ mm ، فاصله بین المانها برابر ۰/۱ mm و طول فعال ۳۸/۳ mm استفاده می شود.

با استفاده از این تجهیزات، آزمون اولتراسونیک آرایه فازی بر روی بلوکی از جنس فولاد کربنی با مشخصات مشابه مدل طراحی در تحلیل فوق، که با ابعاد ۳۰۰×۵۰×۵۰ mm حاوی یک شیار به ارتفاع ۱۰ mm و ضخامت ۰/۷ mm در قسمت میانی بلوک انجام شده است. تصویر روش قطاعی<sup>۱</sup> بلوک دارای شیار در شکل (۹) نشان داده شده است.



شکل ۸: تصاویر دستگاه آرایه فازی، رایانه، پراب و کفشك.

همان گونه که مشاهده می شود در این تصویر نشانه های مربوط به امواج پراکنده (پراش) ناشی از لبه بالایی (A) و لبه پایینی شیار (B)، تقریباً به صورت هم فاز و فقط با اختلاف فاصله ای به دلیل تفاوت در فاصله طی شده توسط این امواج از لبه های شیار تا نقطه دریافت موج توسط ترانس迪وسر دیده می شود، به طوری که طول عمودی شیار را می توان با توجه به فاصله این دو نشانه اندازه گیری و محاسبه نمود. ملاحظه می شود که نتایج حاصل از این آزمایش با نتایج عددی

<sup>2</sup>. Shield metal arc welding

<sup>1</sup> Sectorial scan

(FEM) انتشار امواج اولتراسونیک تولید شده توسط ترنسدیوسرهای آرایه فازی و تاثیر متقابل این امواج در برخورد با عیب صفحه‌ای مدل سازی شده است. مقایسه نتایج حاصل از مدل سازی‌های عددی و نتایج حاصل از آزمون‌های اولتراسونیک آزمایشگاهی مربوطه بیان‌گر مطابقت نتایج عددی و آزمایشگاهی و صحت مدل سازی‌های انجام شده است. مقایسه نتایج عددی و آزمایشگاهی به دست آمده از بلوک دارای عیب مصنوعی و نمونه‌ای از جوش جناغی دارای ترک تنشی سولفیدی، نشان می‌دهد که در این قطعات، نشانه‌های مربوط به امواج پراکنشی (پراش) ناشی از اختلاف فاصله‌ای به دلیل تفاوت در فاصله طی شده توسط این امواج از لبه‌های شیار تا نقطه دریافت موج توسط ترنسدیوسر دیده می‌شود.

با توجه به نتایج عددی حاصل از تحلیل‌های المان محدود که از بررسی چگونگی انتشار و رفتار امواج اولتراسونیک بعد از برخورد با عیوب صفحه‌ای، به دست آمده است، با ایجاد زاویه و تمرکز مناسب باید در تصاویر روش قطاعی نشانه‌هایی از موج پراش یافته شود. در شکل (۱۰) تصویر روش قطاعی جوش دارای عیوب ترک تنشی سولفیدی مشاهده می‌شود. در این تصویر سیگنانل‌های پراش به وجود آمده از برخورد امواج اولتراسونیک با ترک مشاهده می‌شود. نشانه ایجاد موج پراش از نوک بالایی ترک (A) و نوک پایینی ترک (B) در این شکل مشاهده می‌شود.

#### ۴- نتیجه گیری

در این تحقیق، با توجه به حساس و خطرناک بودن ترک‌های هیدروژنی به معرفی یکی از روش‌های نوین در تشخیص این ترک‌ها پرداخته شده است. با استفاده از روش اجزاء محدود

#### مراجع

1. Ramirez E." Effect of Microstructure on The Sulphide Stress Cracking Susceptibility of a High Strength Pipeline Steel", Corrosion Science 50,(2008),PP.3534-3541.
2. NACE International, 'Sulfide Stress Cracking Resistant Metallic Materials for Oilfield Equipment', NACE International, Houston, TX, 2002.
3. F.J.Winsor," Welding Of Low Alloy Steel ", Welding Vol 6 ASM, 1995.
4. Mioara Elvira Stroe, " Hydrogen Embrittlement Of Ferrous Materials ", 2006 , Belgium
5. T.V.Bruno,B.D.Crag,J.H.McHaney," Welding StructureFor Sour Service" .
6. Ming-Chun Z." Effect Of Applied Stress and Microstructure On Sulfide Stress Cracking Resistance Of Pipeline Steels Subject to Hydrogen Sulfide ", materials Science and Engineering,(2008), A478, pp.43-47.
7. M.Adams, "Sulfide stress cracking and the commercial application of NACE MR0175-84", printed in the U.S.A./8-99, (1999).
8. Wan Keun Kim,Seong Ung Koh,Boo Young Yang,Kyoo Young Kim," Effect Of Environmental and Metallurgical Factors On Hydrogen Induced Crackig Of HSLA Steels, Corrosion Science,2008,50,pp.3336-3342 .
9. NACE committee, 'Review of Published Literature on Wet H2S Cracking of Steels through' 1989, 2003.
10. Mioara E. S." Hydrogen Embrittlement Of Ferrous Materials ", (2006), Belgium.
11. J.L. Gonzalez, R. Ramirez, J.M. Hallen, R.A. Guzman, 'Corrosion' 53 (1997) 935.
12. A. Kawashima, K. Hashimoto, S. Shimodaira, 'Corrosion' 32 (1976) 321.
13. Z.A. Lofa, F.L. Kam, Prot. 'Met'. 20 (1974) 12.
14. H.Y. Liou, R.I. Shieh, F.I. Wei, S.C. Wang, Corrosion 49 (1993) 389.
15. A.R.Troiano," Trans ASM" 52(1960),54 .

16. Beachem .C.D.,Metal."Trans" ,3.437(1972).
17. Bruno T.V." SSC Resistance of Pipeline Welds", Metallurgical consultants,(1988).
18. T.V.Bruno,B.D.Crag,J.H.McHaney," Welding StructureFor Sour Service" .
19. M. Kimura, Y. Miyata, Y. Yamane, T. Toyooka, Y. Nakano, F. Murase, 'Corrosion' 55 (1999) 756.
20. Y. Inohara, N. Ishikawa, S. Endo, in: 'Proceedings of the 13th International Offshore and Polar Engineering Conference', Honolulu Hawaii, May 25–30, 2003, p. 60.
21. R/D Tech Inc, 'Introduction to Phased Array Ultrasonic Technology Applications, first edition', 2004.
22. Waltham,' Advances in Phased Array Ultrasonic Technology Applications', Olympus NDT, 2007.
23. Vincent Lupien, "Principles of Phased Array Ultrasound for Nondestructive Testing", Materials Evaluation, pp 24-32, January, 2007.
24. R. J. Blake, "Numerical Modeling of Rayleigh Wave Scattering from Surface Features", PhD Dissertation, Department of Electronic and Electrical Engineering, University of London, London, 1988.
25. G. Baskaran, C. Lakshmana Rao and K Balasubramaniam, "Simulation of the TOFD Technique Using the Finite Element Method", 2007.
26. F. Honarvar and S. Khorasani, "Simulation of Time-of-Flight Diffraction (ToFD) Technique by Finite Element Method", September, 2010.
27. L. Azar, Y. Shi, S. C. Wooh, "Beam Focusing Behavior of Linear Phased Arrays", NDT & E International, 33, pp 189 – 198, 1999.
28. W. Spaulding and G. C. Wheeler, "ASNT Level II Study Guide Ultrasonic Testing Method", Second Edition, 2002.

## فرم اشتراک فصلنامه

فصلنامه علمی-پژوهشی علوم و مهندسی خوردگی ایران و با هدف انتشار نتایج جدیدترین تحقیقات و پژوهش‌های انجام‌شده در زمینه علم و مهندسی خوردگی فلزات منتشر می‌شود. علاقمندان به اشتراک فصلنامه می‌توانند مبلغ ۲۵۰/۰۰۰ ریال را برای اشتراک ۴ شماره (با پست سفارشی) به حساب جام بانک ملت به شماره ۶۶۶۸۸۷۳۴/۵۴ بنام انجمن خوردگی ایران واریز نموده و اصل فیش بانکی را به همراه فرم تکمیل‌شده زیر به دفتر فصلنامه ارسال نمایند. خواهشمند است هرگونه تغییر در نشانی پستی خود را به دفتر فصلنامه اطلاع دهید.

نشانی دفتر فصلنامه: تهران، خیابان انقلاب، خیابان شهید عباس موسوی (فرصت)، کوچه بهبهان، پلاک ۱۱، واحد ۳

نمبر: ۸۸۳۴۷۷۴۹

تلفن: ۸۸۳۴۴۲۸۷-۸ و ۸۸۳۴۷۳۲۴

پست الکترونیک: corrosionengineering@ica.ir

پایگاه اینترنتی: www.jcse.ica.ir

### فصلنامه علمی-پژوهشی علوم و مهندسی خوردگی فرم اشتراک فصلنامه



این قسمت توسط مقاضی تکمیل شود.	
کد اشتراک: تاریخ دریافت فرم: تعداد نسخ ارسالی: تاریخ شماره نخست: تاریخ شماره پایانی:	نام و نام خانوادگی: تحصیلات: شغل: محل کار: تاریخ تکمیل فرم: نشانی دقیق پستی:  تلفن ثابت: تلفن همراه: پست الکترونیک: <input type="checkbox"/> نوع درخواست: جدید <input type="checkbox"/> تمدید مدت اشتراک: امضاء

## دستورالعمل نگارش و ارسال مقالات

فصلنامه علمی-پژوهشی علوم و مهندسی خوردگی ایران و با هدف انتشار نتایج جدیدترین تحقیقات و پژوهش‌های انجام شده در کلیه زیرشاخه‌های علم و مهندسی خوردگی فلزات منتشر شده و در همین راستا، از کلیه اندیشمندان، صاحب‌نظران، پژوهشگران و دانشجویان گرامی برای ارسال نتایج مطالعات خود دعوت به عمل می‌آورد. بهمین منظور، از نویسنده‌گان محترم تقاضا دارد در تهیه و ارسال مقالات خود نکات زیر را مد نظر قرار دهنده:

### ۱- مقالات قابل پذیرش

- ✓ مقالات پژوهشی: حاوی نتایج بدست آمده از مطالعات و پژوهش‌های علمی و کاربردی
- ✓ مقالات مروری: شامل گردآوری نتایج غالب مطالعات قبلی در موضوعی مشخص که نویسنده بواسطه تخصص ویژه خود، گردآوری کاملی انجام داده و درخصوص موضوعات اظهارنظر می‌کند. در این نوع مقالات که توسط صاحب‌نظران نگاشته می‌شود، حداقل ۳۰ مرجع مورد استفاده قرارمی‌گیرد که حداقل ۱۰٪ آنها متعلق به خود نویسنده است.
- ✓ مقالات کوتاه: شامل یادداشت‌های فنی، گزارش‌های مختصر فنی و مقالات نقد کننده است که معمولاً در قالب ۲-۳ صفحه و با رعایت کلیه اصول مقاله‌نویسی، نگاشته می‌شود.

### ۲- قوانین چاپ

- ✓ مقاله ارسالی به این فصلنامه باید قبل از نشریه‌ای چاپ شده و یا در حال بررسی برای چاپ باشد. البته، مقالاتی که بصورت چکیده در همایش‌های دیگر پذیرفته شده باشند، در این فصلنامه قابل ارزیابی و چاپ هستند.
- ✓ تنها مقالات فارسی در این فصلنامه قابل چاپ هستند؛ هر چند، چکیده مقاله به زبان انگلیسی نیز باید ارائه شود.
- ✓ مسئولیت صحت مطالب چاپ شده به عهده نویسنده نویسنده گان بوده و لزوماً بینگر نظرات هیئت تحریریه فصلنامه نیست.
- ✓ در متن مقاله باید تا حد امکان از بکارگیری لغات بیگانه احتراز شده و به رعایت دستور زبان فارسی توجه کافی شود.
- ✓ ویراستاران فصلنامه در ویرایش ادبی مقالات دارای اختیار کامل بوده و لذا کسب مجوز از نویسنده گان الزام نخواهد بود.
- ✓ صدور تاییدیه چاپ مقاله در فصلنامه و ارسال آن برای نویسنده به متزله چاپ آن در فصلنامه بوده و نویسنده حق باز پس گیری مقاله خود را نخواهد داشت.
- ✓ پس از چاپ هر یک از مقالات ارسالی، به هر یک از نویسنده گان، دو نسخه از اصل فصلنامه اعطا خواهد شد.
- ✓ استفاده از مندرجات فصلنامه با ذکر مأخذ مجاز است.

### ۳- آماده‌سازی مقاله

- ✓ متن مقاله باید در محیط نرم افزار Microsoft Word 2003-2010 به صورت یک خط در میان (Double-spaced) بر یک روی کاغذ A4 تایپ شود. برای عنوان فارسی مقاله از قلم (Zar, Bold, 16)، برای عناوین نویسنده گان و مشخصات آنها به فارسی از قلم (Zar, Regular, 12)، برای چکیده فارسی از قلم (Zar, Regular, 13)، برای متن مقاله از قلم (Zar, Regular, 14)، برای تیترها از قلم (Zar, Bold, 14)، برای مراجع انگلیسی، چکیده انگلیسی و هر لغت انگلیسی که در متن مقاله ظاهر می‌شود از قلم (Calibri, Bold, 14)، برای عنوان انگلیسی از قلم (Calibri, Regular, 12) و برای عناوین نویسنده گان و مشخصات آنها به انگلیسی از قلم (Calibri, Regular, 10) استفاده شده و فاصله متن از لبه صفحه بر روی ۲،۵ سانتی‌متر تنظیم شود. متن کامل مقاله به همراه چکیده‌های انگلیسی و فارسی باید از ۱۵ صفحه تجاوز نماید.

- ✓ مقالات ارسالی باید دارای عنوان مقاله به فارسی و انگلیسی، چکیده مقاله به فارسی و انگلیسی، مقدمه، روش تحقیق، نتایج و بحث، نتیجه‌گیری و مراجع باشد. قراردادن بخش‌های تقدیر و ضمایم به اختیار نویسنده است.
- ✓ عنوان مقاله باید گویا، دقیق و رسا بوده و دربرگیرنده محتوى اصلی تحقیق باشد. نام و نام خانوادگی نویسنده /نویسنده‌گان، رتبه علمی و عنوان دانشگاهی، محل تحقیق، تاریخ ارسال و نشانی دقیق به همراه شماره تلفن، نامبر و پست الکترونیک باید در زیر عنوان مقاله ذکر شود. لازم است یکی از نویسنده‌گان به عنوان نویسنده مسئول با علامت (\*) مشخص شود تا مابقی مکاتبات موردنیاز با وی انجام شود. خلاصه مقاله باید حاوی ۱۵۰-۲۵۰ کلمه بوده شامل بخش‌های مقدمه و هدف، روش کار، نتایج و نتیجه‌گیری باشد. در پایان چکیده مقاله باید ۳-۸ واژه کلیدی ذکر شود. شکلها، جداول و نمودارها باید در محل مناسب خود در داخل متن تنظیم شده و دارای عنوان و زیرعنوان (برای شکلها) و بالانویس (برای جداول) کامل باشند. عکسها و شکل‌های ارسالی باید اصل، سیاه و سفید و با کیفیت بوده و برای مشخص کردن بخش‌های مختلف یک شکل حتماً از حروف فارسی استفاده شود. تاکید می‌شود که فصلنامه از دریافت مقالاتی با تصاویر و شکل‌های بی‌کیفیت و مبهم معدور است.
- ✓ برای بیان مراجع در انتهای مقاله از این الگوها استفاده شود. برای سایر موارد حسب مورد اطلاعات کافی داده شود:

**Paper:** L. Smith, Control of corrosion in oil and gas production tubing, British Corrosion Journal, Vol. 34, No. 4, 1996, Pp. 247-253.

**Book:** S. Kou, Welding metallurgy, John Wiley & Sons, 2<sup>nd</sup> Ed., 2003.

**Proceeding:** A. Klein, Proc. Conf. Corrosion 83, NACE, California, 1983, Pp. 257-266.

#### ۴- ارسال مقالات

نویسنده‌گان محترم برای ارسال مقاله خود لازم است به نشانی [www.isj.iup.ir](http://www.isj.iup.ir) (سامانه نشر مجلات علمی- پژوهشی کشور (سنم)) مراجعه کرده و پس از انتخاب نام فصلنامه "علوم و مهندسی خوردگی" از فهرست صفحه اول این پایگاه، نسبت به ورود به سامانه و ثبت نام در آن اقدام نمایند. پس از ثبت نام در سامانه و تایید و تکمیل ثبت نام از طریق مراجعه به پست الکترونیکی که نویسنده معرفی می‌کند، وارد صفحه خانگی خود شده و با انتخاب "نویسنده" از منوی سمت چپ، نقش خود را مشخص و سپس با استفاده از لینک "ارسال مقاله جدید" و پیگیری دقیق مراحل ارسال مقاله، نسبت به ارسال مقاله خود اقدام می‌نماید. نویسنده‌گان باید کلیه مراحل دریافت نامه‌های مربوطه، دریافت نظرات داوران مقاله، اصلاح و ارسال مقاله اصلاح شده و سایر امور مربوط به چاپ مقاله را از طریق همین سامانه پیگیری کنند. تاکید می‌شود که ارسال مقاله توسط نویسنده‌گان فقط از طریق همین سامانه مورد قبول است.

#### ۵- فرآیند ارزیابی

مقالات ارسالی توسط هیئت تحریریه و باهمکاری کمیته داوران بررسی و پس از تایید نهایی، طبق ضوابط فصلنامه که به ارزش علمی مقاله و یا شخصیت نویسنده‌گان بستگی ندارد، به نوبت چاپ خواهد شد. شایان ذکر است مقالات استخراج شده از رساله کارشناسی ارشد یا دکتری تخصصی در اولویت داوری قرار می‌گیرند.

#### ۶- اطلاعات تماس

نشانی دفتر فصلنامه: تهران، خیابان انقلاب، خیابان شهید عباس موسوی (فرصت)، کوچه بهبهان، پلاک ۱۱، واحد ۳

تلفن: ۸۸۳۴۷۷۴۹ و ۸۸۳۴۴۲۸۷-۸

نامبر: ۸۸۳۴۷۷۴۹

پست الکترونیک: [corrosionengineering@ica.ir](mailto:corrosionengineering@ica.ir)



<b>Titles &amp; Authors</b>	<b>Page</b>
<b>Investigating the Effect of Alloying Elements (Tin, Copper and Aluminum) on Corrosion Behavior of Metallurgy Powder Pb-Co<sub>3</sub>O<sub>4</sub> Anodes and Comparison with Pb-Ca-Sn Anodes of Sarcheshmeh Copper Complex of Iran</b> <i>Najmeh Lari, Maryam Ehteshamzade</i>	7
<b>New Methods for Detection and Enumeration of Sulfate Reducing Bacteria and Effective Physiologic Features in Detection of SRBs</b> <i>Roha-kasra Kermanshahi, Tahereh Ghashghaei</i>	23
<b>Localized Corrosion of Iron in Chloride Media Containing Oxygen and Nitrogen Molecules: Electrochemical Studies</b> <i>Mohsen Lashgari, Parisa Zeinalkhani</i>	35
<b>Effect of Sand Concentration on Erosion-Corrosion Synergism of AISI 420 Stainless Steel</b> <i>Mohammad Reza Sayyahi, Hamid Reza Ghasemi</i>	43
<b>Effect of Plasma Gas Composition on the Corrosion Resistance of Nitrided 304 Austenitic Stainless Steel</b> <i>Alireza Akbari, Samad Vakili</i>	51
<b>Studying the Possibility of Using Galvanostatic Pulse Transient Technique in Concrete Beam Bars Corrosion</b> <i>Ali Ghods, Muhammadreza Sohrabi, Mahmoud Miri</i>	63
<b>Detection of Sulfide Stress Cracks (SSC) with the Use of Modeling of Phased Array Technique</b> <i>Mostafa Mardani Kharat, Abolfazl Moteshakker, Gholamreza Rashed</i>	75





Iranian Corrosion Association

# Quarterly Journal of Corrosion Sciences and Engineering

Vol. 2, No. 1, August 2012, Serial No. 3, ISSN: 2251-6417

*Quarterly Journal of Corrosion Sciences and Engineering is published under the written consent from the commission for the evaluation of scientific journals.*

---

**License Holder:** Iranian Corrosion Association

**Managing Director:** Jaber Neshati, PhD

**Editor-in-Chief:** Mir Ghasem Hosseini, PhD

---

**Editorial Board (In Persian alphabetical order):**

Habib Ashassi Sorkhabi, Prof.,

*Faculty of Chemistry, University of Tabriz*

Mir Ghasem Hosseini, PhD,

*Associate Prof., Faculty of Chemistry, University of Tabriz*

Ebrahim Heshmat Dehkordi, PhD,

*Associate Prof., Iranian Research Institute for Nuclear Science & Technology*

Changiz Dehghanian, Prof.,

*Faculty of Metallurgy & Materials, University of Tehran*

Ahmad Saatchi, Prof.,

*Faculty of Materials Science & Eng., Isfahan University of Technology*

Rouha Kasra Kermanshahi, Prof.,

*Faculty of Microbiology, Al-zahra University*

Jaber Neshati, PhD,

*Assistant Prof., Research Institute of Petroleum Industry.*

**Consultants:**

Dr. A. A. Sarabi, Eng. S. Seyf, Eng. A. Fazli Nejad, Eng. M. Kasiriha, Eng. K.

Kuzeh Kanani, Eng. D. Masouri, Eng. M. Nafari

**Executive Supervisor, Editor:** Mehdi Mohammadi Sabet

**Cover Design:** Hojjat Abbasian

**Executive Staff:** Nahid Amouzegar, Habib Afshari, Farzaneh Akvan, Najmeh Sokhanvar,  
Majid Shah Mirzalou, Najmeh Azimzadeh, Bahareh Mansouri

**Address:** Unit 3, No. 11, Behbahan  
alley, Mousavi St., Ferdowsi Sq.,

Tehran-Iran,

**Zip Code:** 1581976415

**Tel.:** +98 21 88327324

+98 21 88344287

+98 21 88344288

**Fax:** +98 21 88347749

**Web:** [www.jcse.ica.ir](http://www.jcse.ica.ir)

**Email:**

[Corrosionengineering@ica.ir](mailto:Corrosionengineering@ica.ir)

**Price:** 2500 Rials

**Policies:**

Published by Iranian Corrosion Association (ICA), quarterly journal of Corrosion Sciences and Engineering appreciates submission of papers from novel research works. Authors are kindly requested not to Submit papers which are published or under review for publication elsewhere. Editorial staff keeps the right to edit the texts without prior consent. Views and opinions expressed in the journal are sole responsibilities of authors and do not necessarily reflect journal editorial board's viewpoints. Content of journal may be quoted elsewhere, only if properly referred to.